

XeF<sub>2</sub>

1963

XeF<sub>2</sub>

Melinda  
H. C. Berger

Xenon difluoride and the nature of the xenon-fluorine bond.  
P. A. Agron, G. M. Begun, Henri A. Levy, A. A. Mason, C. G. Jones, and D. F. Smith (Oak Ridge Natl. Lab., Oak Ridge, Tenn.). *Science* 139, 842-4 (1963). Properties of XeF<sub>2</sub> are summarized. Of three models considered for the Xe—F bond, that with essentially covalent bonds and ten electrons in the Xe valence shell is preferred. Similarly, 12 electrons are favored for XeF<sub>4</sub> and 14 for XeF<sub>6</sub>. The Xe fluorides may be the first known examples of bonding involving promoted *d* electrons.

B. B. Lane

C.A. 1963. 58. 10

9851c

1963

1 В6. Дифторид ксенона и природа связи ксенон — фтор. Agtron R. A., Begun G. M., Levy Непгі A., Mason A. A., Jones C. G., Smith D. F. Xenon difluoride and the nature of the xenon — fluorine bond. «Science», 1963, 139, № 3557, 842—844 (англ.)

Исследована р-ция Xe с  $F_2$ . Найдено, что сначала образуется  $XeF_2$  (I) со скоростью, пропорциональной парц. давлениям Xe и  $F_2$ , и лишь при р-ции I с  $F_2$  получается  $XeF_4$  (II). Фторид I — твердое в-во с давлением пара 3,8 мм рт. ст. при  $25^\circ$  и 318 мм рт. ст. при  $100^\circ$ , т. пл.  $140^\circ$ . I может быть переохлажден на  $50^\circ$ . В ИК-спектре пара I найдены полосы при  $555$  и  $213,2 \text{ см}^{-1}$ , отнесенные соответственно к  $\nu_3$  (асимм. вал. кол.) и  $\nu_2$  (деф. кол.) линейной молекулы. Дополнительная слабая полоса при  $1070 \text{ см}^{-1}$  является составной  $\nu_1 + \nu_3$ , откуда найдена частота  $\nu_1 515 \text{ см}^{-1}$ . Контуры полос подтверждают линейное симметричное строение. Из расстояния между P- и R-ветвями ( $16 \text{ см}^{-1}$ ) оценено расстояние Xe—F  $\sim 1,7 \text{\AA}$ . В спектре комб. расс. I найдены линии 108 (либрация),  $497$  и  $548 \text{ см}^{-1}$ , обусловленные примесью K. Из частот найдены силовые по-

X·1964.

и А

cell.ulfab

стационарные:  $k$  (вал. кол.) 2,85,  $k_{rr}$  0,11 и  $k_\delta/l^2$  (деф. кол.)

0,19. Рассмотрены возможные модели связей в I: 1) ионная  $\text{FXe}^{2+}\text{F}^-$ , 2) с двумя одноэлектронными связями и 3) ковалентная  $\text{F}-\text{Xe}-\text{F}$  с возбуждением электронов Xe на  $5d$ -орбиты. Ионная модель отвергается, так как ей должны отвечать гораздо более длинные связи. Сопоставление силовых постоянных с ионом  $\text{FCl}_2^-$ , где осуществляется связь 2-го типа (РЖХим, 1958, № 14, 45679) отвергает для I и эту модель, так что в I, по-видимому, имеются обычные ковалентные связи 3-го типа с участием  $pd$ -гибридных орбит Xe, причем 3 неподеленные пары находятся на  $sp^2$ -гибридных орbitах в плоскости, перпендикулярной линии связей. Аналогично, в II предполагается осуществление 4 ковалентных связей с гибридизацией  $sp^3d^2$ , причем  $s$ -характер связи больше, чем в I. Для  $\text{XeF}_6$  авторы считают более вероятной неоктаэдрическую структуру из-за наличия ИК-полосы при  $1225 \text{ см}^{-1}$  — первого обертона частоты  $612 \text{ см}^{-1}$ . Тогда как при наличии центра симметрии 1-й обертон запрещен. Такая структура с 6 ковалентными связями может осуществиться при гибридизации  $sp^3d^3$ .

М. Дяткина

1963

XeF<sub>2</sub>

specie

and aldehy.

14286

XENON DIFLUORIDE AND THE NATURE OF  
THE XENON- FLUORINE BOND. P. A. Agron (Oak Ridge  
National Lab., Tenn.), G. M. Begun, Henri A. Levy, A. A.  
Masón, C. G. Jones, and D. F. Smith. Science, 139: 842-4  
(Mar. 1, 1963).

Xenon reacts with fluorine to form XeF<sub>2</sub> which can be isolated before it reacts with fluorine to form XeF<sub>4</sub>. The linear configuration of XeF<sub>2</sub> with the 2.00-A bond length and the vibrational force constants support the assignment of 10 electrons to the valence shell of xenon. Similar arguments support the assignment of 12 and 14 valence electrons respectively to xenon in XeF<sub>4</sub> and XeF<sub>6</sub>. (auth)

NSA-1963-17-9

1963

12 Д100. Связывающие волновые функции во фторидах ксенона. Bergmann Richard. Bonding wavefunctions in the xenon fluorides. «J. Chem. Phys.», 1963, 38, № 12, 2913—2914 (англ.)

XeF<sub>2</sub>XeF<sub>4</sub>Справка

Рассматривается вопрос о природе связей во фторидах ксенона. Предложено использовать квадрупольную связь в качестве критерия правильного выбора связывающей волн. ф-ции в XeF<sub>2</sub> и XeF<sub>4</sub>. Рассмотрено приближение делокализованных MO, включающих центральные s-, p<sub>z</sub> и d<sub>zz</sub> орбиты, и приближение локализованных валентных связей, в которых за валентное состояние атома Xe принимается метастабильное состояние 5p<sup>5</sup>6s<sup>3</sup>P<sub>2</sub>. Атомы-лиганды, образуя с Xe сильные связи, компенсируют затрату энергии на возбуждение Xe. Показано, что в приближении локализованных валентных связей в молекуле XeF<sub>2</sub> дефект p-электронов и, следовательно, молекулярная константа квадрупольной связи для Xe<sup>131</sup> заметно больше, чем в случае делокализованных MO. Указано, что анализ плоской структуры XeF<sub>4</sub> приводит к аналогичным заключениям.

Е. Пшеничнов

об. 1963. 12 №

1963

У7 Б220. Волновые функции связи во фторидах ксенона. Bersohn Richard. Bonding wavefunctions in the xenon fluorides. «J. Chem. Phys.», 1963, 38, № 12, 2913—2914 (англ.)

Волновые

ф-узы.

XeF<sub>2</sub>

Значительное различие в силовых постоянных  $f_r$  (вал. кол.) и  $f_{rr}$  (деф. кол.) у  $\text{XeF}_2$  показывает, что к этой молекуле неприменима концепция делокализованных MO, развития для изоэлектронного иона  $\text{JCl}_2^-$ , где  $f_{rr}$  достигает  $1/3$  от  $f_r$ , и что связи в  $\text{XeF}_2$  значительно более локализованы. Для проверки этого вывода предлагается использовать данные по константе квадрупольного взаимодействия  $\text{Xe}^{131}$ . Для метастабильного состояния  $\text{Xe}^{131}$   $5p^5 6s^3 p_2 eqQ_{131}/h = 505$  мгц, так что в молекуле дырка в  $p$ -оболочке равна  $v/252,5$  ( $v$ —наблюдалася частота). Записан вид MO  $\text{XeF}_2$  в предположениях 1) делокализованных орбит и 2) локализованных электронных пар за счет возбуждения валентности Xe, и с этими функциями оценена величина дырки в  $p$ -оболочке. Величина дырки составляет  $i$  в модели 1 и  $1+i/2$  в модели 2, где  $i$ —степень ионности связи. Поскольку  $0 < i < 2$ , знание величины дырки может позволить выбрать модель. При величине дырки  $< 1$  справедлива модель 1. При  $0,7 < i < 1,3$

см. Герб.

величина дырки при модели 1 должна составить 0,7—1,3,  
а при модели 2 1,35—1,65, так что локализованные свя-  
зи должны приводить к заметно большей величине дыр-  
ки. Аналогичное рассмотрение может быть проведено  
для  $XeF_4$  и фторидов Кг.

М. Дяткина



5317 THE XENON-FLUORINE SYSTEM. Bernard Weinstock, E. Eugene Weaver, and Charles P. Knop (Ford Motor Co., Dearborn, Mich.). p.50-60 of "Noble-Gas Compounds." Chicago, Univ. of Chicago Press, 1963.

XeF<sub>b</sub>

In a method of preparation for XeF<sub>6</sub>, Xe and F were reacted at a high temperature and the products formed were rapidly cooled to a lower temperature. In the initial preparations the ratio of fluorine to Xe was varied from 6 to 40 and their combined starting pressure was 1000 psi. Reaction temperatures in the range 350–450°C were provided by an electrically heated nickel-gauze filament and the reactor wall kept either at -115 or at 80°C to provide the quenching. XeF<sub>6</sub> was produced in all of the experiments as well as XeF<sub>2</sub>, XeF<sub>4</sub>, and another xenon fluoride that was not immediately characterized. The presence of the compounds was qualitatively monitored by infrared spectroscopy. XeF<sub>6</sub> was identified with a strong absorption at 610 cm<sup>-1</sup>, XeF<sub>2</sub> with bands at 551 cm<sup>-1</sup> and 567 cm<sup>-1</sup>, and XeF<sub>4</sub> with bands at 582 and 592 cm<sup>-1</sup>. The spectrum of the un-

1965

X/24/34

NSA-1964.

18.4

Identified compound showed a broad absorption system with a characteristic maximum at  $520\text{ cm}^{-1}$ . Evidence strongly suggests that the compound at  $520\text{ cm}^{-1}$  is  $\text{XeF}_5$ . However, it is pointed out that while the evidence is strongly suggestive of this formula, it is still incomplete. (P.C.H.)

130° t

Xe F<sub>4</sub>



Xe F<sub>6</sub>

2434

1963

The Xe-F system. Bernard Weinstock, E. Eugene Weaver, and Charles P. Knop. Noble-Gas Compds. 1963, 50-60(Eng). Xe and F in ratios of 6-40 at a starting pressure of 1000 psi. were reacted at 350-450° and the products formed, rapidly quenched, and identified by ir spectra; XeF<sub>5</sub> (610), XeF<sub>2</sub> (551, 567), XeF<sub>4</sub> (582, 592), and 1 unidentified XeF<sub>7</sub> at max. 520 cm.<sup>-1</sup>. This was inconclusively suggested to be XeF<sub>5</sub>. The study of equil. consts. gave the ratio F/Xe varying from 5.367 to 5.916 for different F pressures. E.S.R. studies were also made to confirm XeF<sub>5</sub> which would have an odd no. of electrons, but no spin-resonance signal was observed. Quant. study of fractional distn. of a mixt. of XeF<sub>5</sub> and XeF<sub>6</sub> was also made. The subsequent expts. on refluorination of a Xe fluoride mixt., however, further invalidated the evidence for the existence of XeF<sub>5</sub>.

S. Prakash

C.A. 1966. 65-4

4990 b

1963

5317

THE XENON-FLUORINE SYSTEM. Bernard Weinstock, E. Eugene Weaver, and Charles P. Knop (Ford Motor Co., Dearborn, Mich.). p.50-60 of "Noble-Gas Compounds." Chicago, Univ. of Chicago Press, 1963.

In a method of preparation for  $\text{XeF}_6$ , Xe and F were reacted at a high temperature and the products formed were rapidly cooled to a lower temperature. In the initial preparations the ratio of fluorine to Xe was varied from 6 to 40 and their combined starting pressure was 1000 psi. Reaction temperatures in the range 350–450°C were provided by an electrically heated nickel-gauze filament and the reactor wall kept either at –115 or at 80°C to provide the quenching.  $\text{XeF}_6$  was produced in all of the experiments as well as  $\text{XeF}_2$ ,  $\text{XeF}_4$ , and another xenon fluoride that was not immediately characterized. The presence of the compounds was qualitatively monitored by infrared spectroscopy.  $\text{XeF}_6$  was identified with a strong absorption at 610  $\text{cm}^{-1}$ ,  $\text{XeF}_2$  with bands at 551  $\text{cm}^{-1}$  and 567  $\text{cm}^{-1}$ , and  $\text{XeF}_4$  with bands at 582 and 592  $\text{cm}^{-1}$ . The spectrum of the un-

X/24/39

NSA. 1964.18.4

identified compound showed a broad absorption system with a characteristic maximum at  $520 \text{ cm}^{-1}$ . Evidence strongly suggests that the compound at  $520 \text{ cm}^{-1}$  is  $\text{XeF}_5$ . However, it is pointed out that while the evidence is strongly suggestive of this formula, it is still incomplete. (P.C.H.).

per g

1963

X/ 994

XeF<sub>2</sub>XeF<sub>4</sub>XeF<sub>6</sub>XeOF<sub>4</sub>Clipp4 wes

5342) RÉSUMÉ ON VIBRATIONAL SPECTRA OF  
XENON COMPOUNDS. H. H. Claassen (Argonne National  
Lab., Ill.). p.304-5 of "Noble-Gas Compounds." Chicago,  
Univ. of Chicago Press, 1963.

Results of experiments on the infrared and Raman spec-  
tra of XeF<sub>2</sub>, XeF<sub>4</sub>, XeF<sub>6</sub>, and XeOF<sub>4</sub> are discussed. (P.C.H.)

NSA-1964-18-4

1963

XI 994

~~052009~~  
Resume on vibrational spectra of xenon compounds. H. H.  
Claassen (Argonne Natl. Lab., Lemont, Ill.). Noble-Gas  
Compds. 1963, 304-5(Eng). A brief review of the symmetry of  
XeF<sub>2</sub>, XeF<sub>4</sub>, XeF<sub>6</sub>, and XeOF<sub>4</sub>. A. L. McClellan

Xe

C.A. 1966 • 65.5

65161 - 65170

1963

9046 FORBIDDEN ELECTRONIC TRANSITIONS IN  
XeF<sub>2</sub> AND XeF<sub>4</sub>. Eugene S. Pysh, Joshua Jortner, and  
Stuart A. Rice (Univ. of Chicago). 64p. (CONF-117-37)

XeF<sub>2</sub>

XeF<sub>4</sub>

From American Chemical Society 145th National Meeting, New York, Sept. 1963.

Transition strengths were measured for the weak 2330 Å band in XeF<sub>2</sub> ( $f = 0.002$ ) and for the two weak bands in XeF<sub>4</sub> at 2280 Å ( $f = 0.009$ ) and 2580 Å ( $f = 0.003$ ). To investigate the origins of these weak transitions, the possibilities of vibronic and singlet-triplet transitions in XeF<sub>2</sub> and XeF<sub>4</sub> were examined. Using the Herzberg-Teller theory of vibronic transitions and a molecular orbital treatment of excited electronic states, estimated strengths of the relevant vibronic transitions were calculated to be  $f = 0.001$  for both XeF<sub>2</sub> and XeF<sub>4</sub>. The vibronic band in XeF<sub>2</sub> borrows intensity from the symmetry allowed  $^1A_{1g} \rightarrow ^1A_{2u}$  transition at 1580 Å ( $f = 0.45$ ), while in XeF<sub>4</sub> the major contribution to the vibronic band is from the symmetry allowed  $^1A_{1g} \rightarrow ^1E_u$  transition at 1325 Å ( $f = 0.8$ ). A temperature dependence of the intensity of the 2330 Å band in XeF<sub>2</sub> was observed and found to be less than that predicted by the

NSA-1964.18.6

Herzberg-Teller theory. The estimated strength of the singlet-triplet transition in  $\text{XeF}_2$  corresponding to the singlet-singlet transition at  $1580 \text{ \AA}$  is shown to be small ( $f \leq 10^{-4}$ ) in spite of a heavy atom effect; the small transition strength persists because of the lack of nearby excited states of the required symmetry. In  $\text{XeF}_4$  the triplet excited state  $^3\text{E}_u$  corresponding to the singlet-singlet transition  $^1\text{A}_{1g} \rightarrow ^1\text{E}_u$  at  $1840 \text{ \AA}$  ( $f = 0.22$ ) is permitted by group theoretical selection rules to mix with its own singlet state. Using an intermediate coupling scheme the estimated intensity of this singlet-singlet transition is calculated to be  $f = 0.007$ . The theoretical estimates of the symmetry and spin forbidden transition strengths are used for the assignment of the weak electronic transitions in the xenon fluorides. - (auth)



XeF<sub>2</sub>

(5)

Cheely.

y.g.

A far-ultraviolet spectroscopic study of xenon difluoride.  
E. Guy Wilson, Joshua Jortner, and Stuart A. Rice (Univ. of Chicago). *J. Am. Chem. Soc.* 85, 813-14(1963). The ultraviolet absorption spectrum of XeF<sub>2</sub> in the gas phase was studied down to 1100 Å. A weak band and an intense band with the accompanying series of sharp bands were found. No vibrational structure was observed. The strong absorption at 1580 Å. is assigned to the  $\sigma_g \rightarrow \sigma_u^+$  transition. The transition energy estd. from a semiempirical L.C.A.O. treatment agrees well with the observed value. The value of the oscillator strength calcd. from M.O. treatment also agrees favorably with expt. A singlet-triplet transition is expected to occur around 1800 Å. on the onset of the intense 1580-Å. band. The 2300-Å. band is due to a  $\pi_u \rightarrow \sigma_u^+$  transition which becomes vibronically allowed by coupling with the out-of-axis vibration. The set of sharp bands observed on the high-energy side of the 1580-cm.<sup>-1</sup> band is assigned to Rydberg states. The energy difference of 0.7 e.v. found between the 2 series of Rydberg stages agrees closely with the spin-orbit coupling of 0.75 e.v. of at. Xe. The 1st ionization potential is  $11.5 \pm 0.2$  e.v. All the spectral data on XeF<sub>2</sub> are consistent with the binding scheme proposed. C. N. R. Rao

1963

24/48

X1

C.A. 1963.58.13  
13295ef

1963

X1 2448

18037

A FAR-ULTRAVIOLET SPECTROSCOPIC  
STUDY OF XENON DIFLUORIDE. E. Guy Wilson, Joshua  
Jortner, and Stuart A. Rice (Univ. of Chicago). J. Am.  
Chem. Soc., 85: 813-14 (Mar. 20, 1963).

The absorption spectrum of  $\text{XeF}_2$  in the gas phase was studied in the uv region to 1100 Å. A weak band was found at 2300 Å, while strong absorption at 1580 Å was observed, followed by sharp bands at 1425, 1335, 1215, and 1145 Å. The results are interpreted in terms of the binding in  $\text{XeF}_2$ . The strong 1580 Å absorption is assigned to the first singlet-singlet allowed transition  $\sigma_g \rightarrow \sigma_u^+$ . The weak 2300 Å band probably arises from a singlet-singlet transition  $\pi_u \rightarrow \sigma_u^+$ . The sharp bands are assigned to Rydberg states, and the first ionization potential is calculated to be  $11.5 \pm 0.2$  ev. (D.L.C.)

NSA 1963 17-11

спироксипа (XeF<sub>2</sub>) XI 1783 1965

Hemmerich P.,

Chimia, 1963, 17, N9,

289-92

EOTL B. R.

(ap)

10

Гжо Барбера

1963

XeF<sub>2</sub>

12249

THE CRYSTAL AND MOLECULAR STRUCTURE  
OF XENON DIFLUORIDE BY NEUTRON DIFFRACTION.

Henri A. Levy and P. A. Agron (Oak Ridge National Lab.,  
Tenn.). J. Am. Chem. Soc., 85: 241-2 (Jan. 20, 1963).

A neutron diffraction study of XeF<sub>2</sub> at room temperature was carried out. The tetragonal body-centered lattice indicated by preliminary x-ray precession photographs was confirmed by neutron measurements on 67 non-extinguished equivalent pairs of reflections (hkl, khl) and at positions of 53 reflections required to be absent by body centering. The symmetric linear molecules were aligned on the tetrad axes with the Xe-F distance of 1.983 ( $\sigma = 0.002$ ) Å. (M.C.G.)

NSA-1963-14-8

1963

XeF<sub>2</sub>

The crystal and molecular structure of xenon difluoride by neutron diffraction. Henri A. Levy and P. A. Agron (Oak Ridge Natl. Lab., Oak Ridge, Tenn.). *J. Am. Chem. Soc.* 85, 241-2(1963). XeF<sub>2</sub> has a t.b.c. lattice with space group  $I\bar{4}/mm$ . The symmetric linear mols. are aligned on the tetrad axis with the Xe-F distance of 1.983 ( $\sigma = 0.002$ ) Å. The mean sepn. becomes 2.00 Å. ( $\sigma = 0.01$ ) when cor. for anisotropic thermal displacements. Each F atom has one F neighbor at 3.02 Å. and 4 at 3.08 Å. Eight nonbonded F neighbors co-ordinate each XeF<sub>2</sub> mol. at the vertexes of a sq. prism, 3.64 Å. from the Xe. Previously detd. cell dimensions were used in the calcn. of distances.

D. A. House

C.A. 1963-58-10  
9696c

Вер - 3858-1

1963

Нет

Литература

Справка

1963

118

11 Д72. О природе связывания в соединениях ксенона с фтором. Jortner Joshua, Rice Stuart A., Wilson E. Guy. Speculation concerning the nature of binding in xenon fluorine compounds. «J. Chem. Phys.», 1963, 38, № 9, 2302—2303 (англ.)

Рассмотрена природа связывания в соединениях ксенона с фтором в предположении, что связь обусловливается делокализованными  $\sigma$ -ф-циями. Произведены ориентировочные расчеты, на основе которых получены следующие выводы: а) энергия связи в линейной молекуле  $\text{XeF}_2$  при длине связи 2 Å составляет  $\sim 4$  эв на каждую связь; б) энергия первого разрешенного оптического перехода оценена в 8,2 эв; в) энергия связи  $\text{Xe}-\text{F}$  в радикале  $\text{XeF}$  меньше, чем энергия одной связи в  $\text{XeF}$ ; д) структура  $\text{XeF}$  с валентным углом 90° менее устойчива, чем линейная структура; е) с учетом  $\pi$ -связывания равновесная длина связи  $\text{Xe}-\text{F}$  близка к 1,85 Å (в  $\text{XeF}_2$ ); три последних вывода согласуются с имеющимися опытными данными. Указывается также, что имеет место существенная миграция заряда от  $\text{Xe}$  к  $\text{F}$ . Т. Ребане

4 Б30. О природе связи во фторидах ксенона.

Jortner Joshua, Rice Stuart A., Wilson E. Guy. Speculation concerning the nature of binding in xenon fluorine compounds. «J. Chem. Phys.», 1963, 38, № 9, 2302—2303 (англ.)

1963

XeF<sub>2</sub>

XeF<sub>4</sub>

Связь во фторидах ксенона описывается с помощью делокализованных молекулярных орбит, образованных комбинацией  $\sigma$ -орбит Xe и F. Три  $\sigma$ -МО линейной молекулы XeF<sub>2</sub> имеют вид

$$\Psi(a_{2u}^-) = (a_-/\sqrt{2})(p_a - p_b) + b_- p_{Xe}; \Psi(a_{1g}) =$$

$$= (1/\sqrt{2})(p_a + p_b); \Psi(a_{2u}^+) = (a_+/\sqrt{2})(p_a - p_b) + b_+ p_{Xe},$$

а основным состоянием является  $(a_{2u}^-)^2 (a_{1g})^2$ . Проведены расчеты энергий уровней при кулоновских интегралах, принятых равными потенциалам ионизации  $\alpha_{Xe} = -12,1$  эв;  $\alpha_F = -17,4$  эв, и обменных интегралах  $\beta = KS_{XeF}$ , где  $K = S_{XeF}(\alpha_{Xe} + \alpha_F)$ . Энергия связи XeF в XeF<sub>2</sub> равна при этом  $E_- - \alpha_{Xe}$  и при длине связи 2A оценивается в

линия



и мол.

наградки

Х-1964-Ч

сост.  
м/об.

4 эв. Первым разрешенным переходом является  $a_{1g} \rightarrow a_{2u}^+$  с оцененной энергией 8,2 эв. Энергия связи в радикале  $\text{XeF}$  равна  $2E_- + E_+ - 2\alpha_{\text{Xe}} - \alpha_F$ , т. е. меньше энергии одной связи в  $\text{XeF}_2$ . Через  $E_+$  и  $E_-$  обозначены энергии MO  $a_{2u}^+$  и  $a_{2u}^-$ . Угловая структура (с валентным углом  $90^\circ$ ) менее стабильна, чем линейная. При учете П-связей минимум энергии соответствует расстоянию  $\text{Xe}-\text{F}$  1,85А. В основном состоянии происходит значительный перенос заряда от Xe к F. Найдено, что к каждому атому переносится половина заряда электрона и перенос больше, чем в  $\text{XeF}_4$  (0,42 э). В р-рителях с большой диэлектрич. проницаемостью можно ожидать диссоциации  $\text{XeF}_2$  на  $\text{XeF}^+$  и  $\text{F}^-$ . Частота вал. кол. должна быть мала, как в ионных галогенидах, а теплоты сублимации  $\text{XeF}_2$  и  $\text{XeF}_4$  должны быть велики из-за сильного ионного межмолекулярного взаимодействия.

М. Дяткина

1963

Theoretical and experimental studies of the electronic structure of the xenon fluorides. Joshua Jortner, E. Guy Wilson, and Stuart A. Rice (Univ. of Chicago). *Noble-Gas Compds.* 1963, 358-88(Eng). A semi-empirical M.O. model for  $\text{XeF}_2$  and  $\text{XeF}_4$  is described, by taking into account the long-range attractive forces between Xe and F. The ground-state configuration for  $\text{XeF}_2$  and  $\text{XeF}_4$  are  $(a_{2u}^-)^2(e_{1u})^4(e_{1g})^4(a_{1g})^2(e_{1u})^4$  and  $(e_u)^4(a_{1g})(^2b_{2g})^2-(a_{2u})^2(b_{2u})^2(e_g)^4(e_u)^4(a_{2g})^2(b_{1g})^2(a_{2u})^2$ , resp. Far-uv spectra (1100-2500 Å.) for  $\text{XeF}_2$  and  $\text{XeF}_4$  were detd. and the  $\lambda_{\max.}$  (Å.) and  $\epsilon_{\max.}$  ( $1./\text{mole/cm.}^2$ ) are 2300, 86; 1580,  $1.12 \times 10^4$ ; 1425,  $0.4 \times 10^4$ ; 1335,  $0.4 \times 10^4$ ; 1215,  $0.4 \times 10^4$ ; and 1145,  $0.6 \times 10^4$ , resp., for  $\text{XeF}_2$ , and 2265, 440; 1840,  $4.75 \times 10^3$ ; and 1325,  $1.5 \times 10^4$ , resp., for  $\text{XeF}_4$ . The spectroscopic data are interpreted in terms of various electronic transitions; for  $\text{XeF}_2$  and  $\text{XeF}_4$ , the calcd. transition energies agree with exptl. values. The heats of sublimation calcd. from plots of  $\log I_0/I$  vs.  $T^{-1}$  are  $12.3 \pm 0.2 \text{ kcal./mole}$  for  $\text{XeF}_2$  and  $15.3 \pm 0.2 \text{ kcal./mole}$  for  $\text{XeF}_4$ . The large heats of sublimation and stability of Xe fluorides are due to their semiionic structure in the ground state, resulting from the charge transfer from Xe to F. J. D. Francis

C.A. 1966. 65:5

6525-C

**28854** SPECULATION CONCERNING THE NATURE  
OF BINDING IN XENON FLUORINE COMPOUNDS. Joshua  
Jortner, Stuart A. Rice, and E. Guy Wilson (Univ. of Chi-  
cago). J. Chem. Phys., 38: 2302-3(May 1, 1963).

*XeF<sub>2</sub>*

A description is proposed for the bonding in  $\text{XeF}_2$  in terms of delocalized molecular orbitals formed by combination of  $p\sigma$ -type Xe and F orbitals. The energy levels and charge distribution were evaluated, and it is concluded that (1) The bond energy per  $\text{XeF}$  bond in linear  $\text{XeF}_2$  is on the order of 4 ev for an assumed bond length of 2 Å. (2) The first allowed optical transition is  $\psi(\text{a}_{1g}) \rightarrow \psi(\text{a}_{2u}^+)$ , with a transition energy of 8.2 ev. (3) The bond energy in the  $\text{XeF}$  radical is less than the bond energy per bond in  $\text{XeF}_2$ . (4) The bent  $\text{XeF}_2$  structure is less stable than the linear structure. (5) When the effects of  $\pi$  binding are introduced, the binding energy in  $\text{XeF}_2$  is at a maximum at  $R_{\text{Xe-F}} = 1.85$  Å. Conclusions (3), (4), and (5) are consistent with

1983

B97-3858-1

NSA-1983-17-17

Cool  
rejed.

the experimental data. It is also concluded that the migration of negative charge from Xe to F is substantial (0.5 charge unit per F atom), and indeed the behavior of  $\text{XeF}_2$  is similar to that of ionic compounds. (D.L.C.)

1963

*XeF<sub>2</sub>*  
*XeF<sub>4</sub>*  
*XeF<sub>5</sub>*  
*Энергия связи и геометрия*  
*раствор*  
*РН*

23 Б36. Симметрия молекул  $\text{XeF}_2$  и  $\text{XeF}_4$ . Lohr L. L., Jr., Lipscomb William N. Molecular symmetry of  $\text{XeF}_2$  and  $\text{XeF}_4$ . «J. Amer. Chem. Soc.», 1963, 85, № 2, 240—241 (англ.)

В рамках простого метода МО ЛКАО исследуются конфигурации  $D_{\infty h}$  и  $C_{2v}$  молекулы  $\text{XeF}_2$  и конфигурации  $D_{4h}$ ,  $C_{4v}$ ,  $C_{2v}$  и  $T_d$  молекулы  $\text{XeF}_4$ . Использован базисный набор, состоящий из 9 слейгеровских  $s$ -,  $p$ -,  $d$ -АО атома Xe и 4  $s$ -,  $p$ -АО атома F. Недиагональные элементы матрицы одноэлектронного гамильтонiana  $H$  рассчитывались с помощью соотношения  $H_{ik} = -2(H_{ii}H_{kk})^{1/2}S_{ik}$ , где  $S_{ik}$  — элементы матрицы перекрывания. Энергия связи молекулы  $\text{XeF}_n$  определялась по ф-ле  $(1/n)\sum_j(m_i H_{ii} - E)$ , где  $m_i$  — числа заполнения  $i$ -й АО свободного атома  $j$  ( $j = \text{Xe}, \text{F}$ ) в основном состоянии. Найдено, что наибольшая энергия связи соответствует конфигурациям  $D_{\infty h}$   $\text{XeF}_2$  (3,3 эв) и  $D_{4h}$   $\text{XeF}_4$  (3,4 эв). Межатомные расстояния, соответствующие миним. полной энергии  $E$  (в обоих случаях 2,4 Å), оказываются значительно большими, нежели эксперим. расстояния J — F в изоэлектронной

сост. краб.

жн. 1963. 23

молекуле  $\text{JF}_4^-$ . Это расхождение приписывается переоценке интегралов взаимодействия с участием  $5\ s$ - (или возможно  $5\ p$ -) орбит Xe. Аналогичный расчет для  $\text{XeF}_5$ , в котором не учитывались взаимодействия с участием  $5\ s$ -AO, приводит к энергии связи 4,0 эв и межатомному расстоянию 2,1 Å. В. Быховский

ФР  
ложн.

$\text{XeF}_2$

XI 1950

1963

$\text{XeF}_4$

$\text{XeF}_2$   $\approx 2.9 \text{ \AA}$

Molecular symmetry of  $\text{XeF}_2$  and  $\text{XeF}_4$ . L. L. Lohr, Jr., and William N. Lipscomb (Harvard Univ.). *J. Am. Chem. Soc.* 85, 240-1 (1963). The mol. structures of the title compds. were considered in terms of L.C.A.O. M. O. theory.  $D_{\infty h}$  symmetry is favored for  $\text{XeF}_2$  and  $D_{4h}$  for  $\text{XeF}_4$ . Calcd. bond energies for these and other symmetries are tabulated. The bond energy for sq.-planar  $\text{XeF}_4$  is a max. for a Xe-F distance of 2.4 Å.

D. A. House

C. A. 1963-58-10.

96966

1963

XeF<sub>2</sub>, XeF<sub>4</sub>

Copy by J. G.

Lb. exp. facsimile

XI 1950

12248

MOLECULAR SYMMETRY OF XeF<sub>2</sub> AND XeF<sub>4</sub>.

L. L. Lohr, Jr. and William N. Lipscomb (Harvard Univ., Cambridge, Mass.). J. Am. Chem. Soc., 85: 240-1 (Jan. 20, 1963).

The molecular structures of XeF<sub>2</sub> and XeF<sub>4</sub> were investigated in terms of a programmed semi-empirical LCAO molecular orbital theory. Sixteen electron pairs and 17 molecular orbitals were considered for XeF<sub>2</sub>, with 23 electron pairs and 25 molecular orbitals for XeF<sub>4</sub>. Results are presented in tabular form. (auth)

2 m5.

NRA-1963-17-8

11 Д73. Теория фторидов инертных газов. Nes-  
bet R. K. Theory of inert-gas fluorides. «J. Chem. Phys.»,  
1963, 38, № 7, 1783—1784 (англ.)

1963

Обсуждается природа связывания в XeF<sub>2</sub> и XeF<sub>4</sub> с  
точки зрения теории «сверхобмена», развитой для анти-  
ферромагн. окисей типа MnO (РЖФиз, 1961, ЗЕ652).  
Произведен оценочный расчет энергий связи в линейных  
двухатомных дифторидах инертных газов с использо-  
ванием ряда эмпирич. характеристик (атомных радиусов,  
потенциалов ионизации и электронного сродства). По-  
казано, что энергия связи монотонно растет с увели-  
чением атомного номера инертного газа от Ne до Rn.  
При разумных значениях параметров теории положит.  
энергии связи соответствуют только дифторидам Xe и  
Rn. Дифторид Rn должен быть более стабильным, чем  
дифторид Xe; дифториды остальных инертных газов не  
могут существовать. Из метода расчета видно, что в  
энергию связи фторидов инертных газов вносит отрицат.  
вклад энергия связи молекулы галогена. Поскольку  
энергия связи в F<sub>2</sub> необычно мала, то это способствует  
стабильности фторидов инертных газов. Существование  
других галоидных соединений инертных газов автор счи-  
тает мало вероятным.

Т. Ребане

XeF<sub>2</sub>

XeF<sub>4</sub>

Тип связи

X1-2/6/1

ф. 1963. 11/8

Мефрич  
сторонний.

Одные  
вопросы.

XeF<sub>2</sub>

Bip

J 9 Б12. Теория фторидов инертных газов. Nesbet R. K. Theory of inert-gas fluorides. «J. Chem. Phys.», 1963, 38, № 7, 1783—1784 (англ.)

Автор предполагает, что связь во фторидах инертных газов сходна с механизмом косвенного обмена в антиферромагнитных окислах типа MnO. Рассматриваются локализованные ортонормированные MO, асимптотически переходящие в AO разъединенных атомов. У линейного XeF<sub>2</sub> *a*- и *a'*-2*p*-AO F и F' заняты одним электроном и *b-p*-AO Xe занята парой электронов. Энергия связи XeF<sub>2</sub> равна  $2(ba | ba')^2[(1/\Delta_D) + (2/\Delta_E)] - D(F_2)$  (при  $\Delta_D > 0$ ) или  $2(ba | ba')^2[-1/\Delta_D] - \Delta_D - D(F_2)$  (при  $\Delta_D < 0$ ), где  $\Delta_D = I_1 + I_2 - 2A - 50,40/d$ , а  $\Delta_E = I_F - A - 7,20/d$ ;  $\Delta_D$  — разность энергий конфигураций  $a^2a'^2$  и  $ab^2a'$  в электростатич. модели точечных зарядов, а  $\Delta_E$  — разность энергий конфигураций  $a^2b^2$  (или  $b^2, a'^2$ ) и  $ab^2a'$ ;  $I_1$  и  $I_2$  — первый и второй потенциалы ионизации Xe;  $A = 3,50$  эв — сродство F к электрону,  $I_F = 17,42$  эв,  $D(F_2) = 1,68$  эв,  $d$  — расстояние Xe — F,  $(ba | ba')$  — электростатич. энергия взаимодействия зарядового распределения  $ba$ .

сост. к/аб.

Х-1964-9

с зарядовым распределением  $ba'$ . Конфигурация  $ab^2a'$  с локализованными МО лежит ниже конфигурации основного состояния в методе МО  $(a + a')^2b^2$ , так что применим предельный случай слабого взаимодействия. Поскольку  $b$  является  $p$ -орбитой,  $(ba | ba')$  максимально для линейной конфигурации, что согласуется с найденной структурой  $XeF_2$ . С помощью приведенной ф-лы вычислены энергия связи в дифторидах от Ne до Rn. У Xe и Rn энергия связи  $> 0$ , причем последний дифторид должен быть более стабильным, а фториды более легких инертных газов не должны быть устойчивы. Существенную роль в стабильности дифторидов играет очень малая энергия связи в молекуле  $F_2$ , так что другие галогениды не должны быть стабильными.

М. Дяткина

476  
сп

1963

 $XeF_4$  $XeF_2$ 

Структура

10 Д78. О вероятной структуре  $XeF_4$  и  $XeF_2$ . R und Je R. E. On the probable structure of  $XeF_4$  and  $XeF_2$ . «J. Amer. Chem. Soc.», 1963, 85, № 1, 112—113 (англ.)

На основании исследований наиболее вероятных МО, построенных в виде ЛКАО, предсказана структура  $XeF_2$  и  $XeF_4$ . Показано, что  $XeF_2$  — линейная симметричная молекула, а  $XeF_4$  имеет форму плоского квадрата, причем атомы F расположены в вершинах углов, а атом Xe — в центре квадрата.

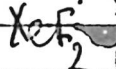
E. Пшеничнов

Бп - 3857-1

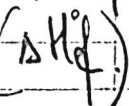
Бп

1963.109

1963



~~sp<sub>3</sub>d<sub>2</sub>~~



Probable structure of  $\text{XeF}_4$  and  $\text{XeF}_2$ . R. E. Rundle (Iowa State Univ., Ames). *J. Am. Chem. Soc.* 85, 112-13 (1963). Delocalized bonds that involve only *p*-orbitals of the valence shells of Xe and F probably account for the structure of the Xe fluorides. In  $\text{XeF}_2$ , the 4 valence electrons occupy a bonding 3-center mol. orbital (*MO*) that has some ionic character, and a nonbonding *MO* that places the electrons on F only. This linear, 3-center, 4-electron bond requires that the terminal atoms be more electroneg. than the central atom and that the bonds be longer than electron-pair bonds between the same elements, since there is only one bonding pair for the 2 bonds. Use of the other 5*p*-orbitals of Xe allows for similar F-Xe-F bonds in  $\text{XeF}_4$ ,  $\text{XeF}_6$ , the oxyfluorides of Xe, and in  $\text{XePtF}_6$ .  $\Delta G^\circ$  and  $\Delta H^\circ$  for the formation of  $\text{XeF}_4$  are estd. to be 100 kcal./mole more pos. than for  $\text{IF}_6$ . The Xe-F distance should be about 1.96 Å.

Thomas B. Hoover

11

3857

BQ

C.A. 1963-58-9

84166

1963

XeF<sub>2</sub>, XeF<sub>4</sub>

Oxyfluorides

(12246) ON THE PROBABLE STRUCTURE OF XeF<sub>4</sub>  
AND XeF<sub>2</sub>. R. E. Rundle (Iowa State Univ., Ames). J.  
Am. Chem. Soc., 85: 112-13 (Jan. 5, 1963). (IS-580)

It is believed that the molecular structures of XeF<sub>4</sub> and  
XeF<sub>2</sub> may be predicted; reasons for this are given. Details  
of the proposed structure are illustrated and discussed.  
From the proposal it is expected that oxyfluorides of Xe  
will contain pairs of linear F-Xe-F 3c-4e bonds. (P.C.H.)

MSA-1963-17-8

11  
-38571  
B40

XeF<sub>4</sub>

XeF<sub>2</sub>

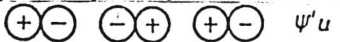


2 иб

x · 1965 · 5

• 5 Б49. О возможном строении XeF<sub>4</sub> и XeF<sub>2</sub>. Rund-  
le R. E. On the probable structure of XeF<sub>4</sub> and XeF<sub>2</sub>.  
«J. Amer. Chem. Soc.», 1963, 85, № 1, 112—113 (англ.)

На основании сопоставления с электронными аналогами JCl<sub>4</sub><sup>-</sup> и JCl<sub>2</sub><sup>-</sup>, автор полагает, что XeF<sub>4</sub> и XeF<sub>2</sub> имеют плоское квадратное и линейное строение. Использование для связей внешних *s*- и *d*-орбит представляется маловероятным из-за большой энергии возбуждения атомов инертных газов. Выдвигается идея об образовании делокализованных связей за счет *p*-орбит с возникновением в XeF<sub>2</sub> связывающей трехцентровой орбиты, несвязывающей орбиты, локализованной у атомов F, и разрыхляющей трехцентровой орбиты, изображенных на рис. Четыре электрона размещаются на двух пер-



F

Xe

F

1963

Бр - 3857-7

вых орбитах. В связывающей орбите происходит частичное оттягивание электронов от Xe к атомам F, так что крайние атомы должны быть более электроотрицательными, чем средний. Поскольку только два электрона осуществляют связь между тремя атомами, расстояния Xe—F велики. В  $\text{XeF}_4$  имеются два набора таких связей, в  $\text{XeF}_6$  — три. По мнению автора, связи такого же типа образуются в таких молекулах, как  $\text{PX}_5$ ,  $\text{SX}_4$ ,  $\text{SF}_6$ ,  $\text{ClF}_3$ , где взаимодействие с дополнительными атомами (по сравнению с  $\text{PX}_3$ ,  $\text{SX}_2$ , Cl—F) происходит без возбуждения электронов неподеленных пар на свободные s- и d-орбиты. Оценки электроотрицательностей инертных газов по ф-ле Малликена приводят к низким значениям (для Xe  $\sim 2,25$ ), гораздо меньшим, чем для F. Автор оценивает значения  $\Delta F$  и  $\Delta H$  для образования  $\text{XeF}_4$ , полагая, что эти величины должны составлять  $\sim \frac{2}{3}$  от соответствующих значений для  $\text{JF}_5$  ( $-280,6$  и  $-202,6$  ккал/моль), и показывает, что  $\text{XeF}_4$  должен быть довольно стабильным соединением. Сопоставление с  $\text{BrF}_5$  указывает на возможную достаточную стабильность  $\text{KgF}_4$ .

М. Дяткина

XI 2283

1963

Sauderson R.T.

XeF<sub>2</sub>

(Univ. of Iowa, Iowa City)

Inorg. Chem. 2, 660-1 (1963)

r<sub>e</sub>

Covalent radius of Xenon

(an III, Xe f<sub>4</sub>)

CA-1963.59.5

4555ab

1963

XeF<sub>2</sub>, XeF<sub>4</sub>; XeF<sub>6</sub>

XeOF<sub>4</sub>

XeO<sub>3</sub>

18008 (TID-18276) INFRARED SPECTRA OF XENON COMPOUNDS. D. F. Smith (Oak Ridge Gaseous Diffusion Plant, Tenn.). [Mar. 25, 1963]. Contract [W-7405-eng-26] 9p.

A review of the characteristics of XeF<sub>2</sub>, XeF<sub>4</sub>, XeF<sub>6</sub>, XeOF<sub>4</sub>, and XeO<sub>3</sub> based on infrared spectra and other evidence is presented. (J.R.D.)

OS30P

Sum

NJA · 1963 · 17 · 11

1963

XeF<sub>2</sub>, XeF<sub>4</sub>

XeF<sub>6</sub>, XeOF<sub>4</sub>

XeO<sub>3</sub>

U.K.

19993

(TID-18460) INFORMATION ON BONDING IN  
XENON COMPOUNDS FROM INFRARED SPECTRA. D. F.  
Smith (Oak Ridge Gaseous Diffusion Plant, Tenn.). [1963].  
Contract [W-7405-eng-26]. 14p.

Infrared spectra were obtained for XeF<sub>2</sub>, XeF<sub>4</sub>, XeF<sub>6</sub>,  
XeOF<sub>4</sub>, and XeO<sub>3</sub>. Information on the chemical bonding of  
these compounds as derived from their spectra is pre-  
sented. (J.R.D.)

(5)

MSA-1963-14-12

1963

XeF<sub>2</sub>, XeF<sub>4</sub>

XeF<sub>6</sub>, XeOF<sub>4</sub>

XeO<sub>3</sub>

XeF<sub>2</sub> & XeF<sub>4</sub>

design in alk. anilip

Information on bonding in xenon compounds from infrared spectra. D. F. Smith. *Noble-Gas Compds.* 1963, 295-303 (Eng). A discussion of bonding in XeF<sub>2</sub>, XeF<sub>4</sub>, XeF<sub>6</sub>, XeOF<sub>4</sub>, and XeO<sub>3</sub>. Comparisons are made mainly with polyhalide ions. The compds. are not purely ionic or covalent.

A. L. McClellan

C.A. 1966. 65:5

6318a -

1963

# Фториды ксенона

 $XeF_2$  $XeF_4$  $XeOF_3$  $XeOF_4$  $XeF_6$ 

11 Д152. Газообразные фториды ксенона. Studier Martin H., Sloth Eric N. Gaseous fluorides of xenon. «J. Phys. Chem.», 1963, 67, № 4, 925—926 (англ.)

На время-пролетном масс-спектрометре исследовались масс-спектры, образующиеся при введении в напускную систему твердого образца тетрафторида ксенона. Масс-спектры образовывались в результате электронной бомбардировки паров. Ионы идентифицировались по их массам и по изотопным отношениям. При комнатной т-ре образца обнаружены ионы  $Xe^+$ ,  $XeF^+$ ,  $XeF_2^+$ ,  $XeF_3^+$  и  $XeF_4^+$ ;  $Xe^{++}$ ,  $XeF^{++}$ ,  $XeF_2^{++}$  и  $XeF_3^{++}$ ;  $XeO^+$ ,  $XeOF^+$ ,  $XeOF_2^+$ ,  $XeOF_3^+$  и  $XeOF_4^+$ . При т-ре, несколько более высокой, чем  $-80^\circ C$ , обнаружены только ионы  $XeF^+$  и  $XeF_2^+$ . Отмечается, что результаты могут быть интерпретированы, если предположить, что в газовой фазе присутствуют нейтральные частицы  $XeF_2$  и  $XeF_4$ ;  $XeF_2$  имеет большее равновесное парциальное давление, чем  $XeF_4$ . Зависимость отношения токов  $XeOF_4^+$  и  $XeOF_3^+$  от условий напуска указывает также на присутствие в газовой фазе нейтральных частиц  $XeOF_3$  и  $XeOF_4$ . Присутствие последних частиц может служить указанием на возможность существования  $XeF_6$ .

Е. Франкевич

оф-1963. 11/5

1963

Xe-co<sub>2</sub>us. $\text{XeF}_2, \text{XeF}_4$  $\text{XeF}_6$  $\text{Xe}_2\text{F}_3^+$ 

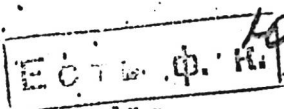
Mass-spectrometric studies of noble-gas compounds. Martin H. Studier and Eric N. Sloth (Argonne Natl. Lab., Lemont, Ill.). *Noble-Gas Compds.* 1963, 47-9(Eng). A modified Bendix time-of-flight mass spectrometer was used to study samples of  $\text{XeF}_2$ ,  $\text{XeF}_4$ ,  $\text{XeF}_6$ ,  $\text{XeOF}_4$ ,  $\text{XeO}_2\text{F}_2$ ,  $\text{Xe}_2\text{F}_3^+$ , and  $^{222}\text{Rn}$ . The ion of  $\text{XeF}_6$  was difficult to observe in the mass spectra. The formula of  $\text{XeOF}_4$  was deduced from its mass and the complexity of the fragmentation pattern caused by loss of O or F.  $\text{Xe}^+$ ,  $\text{XeF}^+$ ,  $\text{XeF}_2^+$ ,  $\text{XeF}_3^+$ , and  $\text{XeF}_4^+$  were observed in a  $\text{XeF}_4$  sample. Neg.-ion spectra of a  $\text{XeOF}_4$  sample prep'd. from  $\text{XeF}_6$  show  $\text{XeF}_4^-$  to be of greater intensity than  $\text{XeOF}_3^-$ , indicating a parent with 4 F atoms.  $\text{XeO}_2\text{F}_2$  was prep'd. by distg.  $\text{XeF}_6$  into a  $\text{H}_2\text{O}$ -contg. Ni weighing can, evacuating, heating, and distg. the products into the spectrometer.  $\text{XeO}_2\text{F}_2$  was shown to have an independent existence, appearing and persisting after warming above room temp. Its mass spectrum showed  $\text{XeO}^+$ ,  $\text{XeO}_2^+$ ,  $\text{XeO}_2\text{F}^+$ ,  $\text{XeF}^+$ ,  $\text{XeOF}^+$ ,  $\text{XeOF}_2^+$ ,  $\text{XeO}_2\text{F}_2^+$ , and  $\text{XeF}_2^+$ . No spectrum attributable to  $\text{XeO}_3$  was observed. At a pressure of  $5 \times 10^{-6}$  mm. Hg, the dinuclear species  $\text{Xe}_2\text{F}_2^+$ ,  $\text{Xe}_2\text{F}_2^+$ ,  $\text{Xe}_2\text{F}^+$ , and  $\text{Xe}_2^+$  were found in  $\text{XeF}_2$ , and  $\text{Xe}_2\text{F}_7^+$ ,  $\text{Xe}_2\text{F}_5^+$ , and  $\text{Xe}_2\text{F}_3^+$  were present in  $\text{XeF}_4$ .

I. G. Zewi

C.A. 1966: 65:5  
6483 cd.

$\Delta H_f$  (XeF<sub>4</sub>, XeF<sub>2</sub>)  $\bar{x} 12370$  1963  
Dep (Xe-F) (grün XeF<sub>4</sub> u XeF<sub>2</sub>)  
A.P. (XeF<sub>5</sub><sup>+</sup>, XeF<sub>4</sub><sup>+</sup>; XeF<sub>3</sub><sup>+</sup>; XeF<sub>2</sub><sup>+</sup>, XeF<sup>+</sup>,  
Xe<sup>+</sup>) Svec H.J., Flesch G.D.,  
Science, 1963, 142, N 3594, 954-55  
Thermodynamical properties of xenon  
difluoride and xenon tetrafluoride  
from mass-spectra Bayb. ECR.

PX65



1963

XeF<sub>2</sub>

Glycophane

Shoichiro Yamada

Rev. Phys. Chem. Japan, 33(1),  
39-40.

The molecular structures of  
compounds of rare-gas  
elements.

(e.g.  $\text{Xe}^{\text{II}}\text{TeO}_3$ )

C.A. 1964. 60.3

XeOF<sub>4</sub> (Tun.) XIT 2333  
XeF<sub>2</sub>, XeF<sub>4</sub>, XeF<sub>6</sub>, XeOF<sub>4</sub> (OH<sub>3</sub>) 1963

Smith D.F.

Noble-Gas Compds, 1963, 39-46

The use of infrared spectroscopy  
in the preparation and study  
of xenon compounds. Case 66

5 ⑦

Case 66

Ecto. N.

196

*XeF<sub>2</sub>**checked*

**12256**) XENON DIFLUORIDE. D. F. Smith (Oak Ridge Gaseous Diffusion Plant, Tenn.). J. Chem. Phys., 38: 270-1 (Jan. 1, 1963). (TID-16931)

The preparation, purification, and identification of xenon difluoride,  $\text{XeF}_2$ , is reported. It is a colorless solid with a vapor pressure comparable to that of  $\text{XeF}_4$ , about 3 mm at room temperature. It can be sublimed easily at room temperature to give weakly birefringent rhombohedrons, along with a few three- and six-sided crystal figures. The spectrum of  $\text{XeF}_2$  at 100°C with nearly saturated vapor pressure showed a band at  $1070 \text{ cm}^{-1}$ , with no discernible Q branch, and a P-R peak separation of  $15 \text{ cm}^{-1}$ . (P.C.H.)

54/6-1

Bip

NSA-1963

17.8

1963

XeF<sub>2</sub>

Smith D.F.

UK energy J. Chem. Phys., 1963, 38, 270.

Diagramming received

As UK energy  $Z_{Xe-F} = 1.7 \text{ \AA}$ 

$$\nu_s = 515 \text{ cm}^{-1}$$

$$f_2 = 2.85 \text{ angstrom}/\text{\AA}$$

$$f_{22} = 0.11 \text{ angstrom}/\text{\AA}$$

B.P. - 5416 - 1

1963

XeF<sub>2</sub>

5 В14. Получение фторида криптона методом матричного изолирования. Тигнер J. J., Риментель Герберт С. Krypton fluoride: preparation by the matrix isolation technique. «Science», 1963, 140, № 3570, 974—975 (англ.)

Сообщено о получении  $\text{KrF}_2$  фотолизом фтора, суспендированного в твердой смеси  $\text{Ag}$  и  $\text{Kr}$  при  $20^\circ\text{K}$ . В типичном эксперименте газообразную смесь с мол. отношением  $\text{F}_2:\text{Kr}:\text{Ag}=1:70:220$  медленно осаждали на окошко из  $\text{CsJ}$  при  $20^\circ\text{K}$ . После снятия ИК-спектра образец облучали при  $20^\circ\text{K}$  с фокусированным светом  $\text{Hg}$ -лампы среднего давления. После 3-часового облучения ИК-спектр показал поглощение при  $580$  и  $236 \text{ cm}^{-1}$ . После 8-часового облучения смеси  $\text{F}_2+\text{Ag}$  поглощение отсутствовало.  $\text{XeF}_2$  получался очень легко. Поглощение  $\text{KrF}_2$  в ИК-области можно отнести к асимметричному вал. кол. и деф. кол. линейной симметричной молекулы. Силовые константы ( $k_r-k_{rr}=2,59$ ,  $k_\delta/l^2=0,21 \text{ мдн}/\text{A}$ ) близки к найденным для  $\text{XeF}_2$ , что указывает на небольшое различие энергий связи  $\text{KrF}_2$  и  $\text{XeF}_2$ .

А. Н.

X-1964-5

to (XeF<sub>4</sub>, ArF<sub>4</sub>, KrF<sub>4</sub>, NeF<sub>4</sub>, XeCl,  
possibly KrCl<sub>4</sub>, XeF<sub>2</sub>, KrF<sub>2</sub>, XeCl<sub>2</sub>)

N 2429. 1963

Walters J. H. Gray A. B.,  
J. Amer. Chem. Soc., 1963, 85, N<sub>b</sub>,  
825-26

px 63

40

XI 2448

1963

XeF<sub>2</sub>

спектр

1 Д148. Спектроскопическое исследование двухфотонного ксенона в далекой УФ-области. Wilson E. Guy, Jortner Joshua, Rice Stuart A. An far-ultraviolet spectroscopic study of xenon difluoride. «J. Amer. Chem. Soc.», 1963, 85, № 6, 813—814 (англ.)

Исследован спектр поглощения газообразного XeF<sub>2</sub> в УФ-области до 1100 Å. Спектр состоит из слабой полосы у 2300 Å и серии сильных и узких полос, расположенных в более коротковолновой области. Колебательной структуры не обнаружено. Полоса 2300 Å отождествлена с переходом  $\pi_u \rightarrow \sigma_u^+$ . Серия узких полос является расщепленной серией типа Ридберга.

Ф. 1964. 18

crystalliza ( $XeO_3$ ,  $XeF_2$ ,  $XeF_4$ ,  $XeF_5^+$ ,  
 $XeF_6$ ) — XI 2456 1963

Yamada Shoichiro

Rev. Phys. Chem. Japán, 1963, 33,  
Nº, 39-40

The molecular structures of  
compounds of rare-gas elements

PX64 . 20

8 auf ecis

XeF<sub>2</sub>  
esfwerne  
(Xekipohkas  
cūjykt).

1964

17810 ELECTRONIC STRUCTURE OF XENON DI-  
FLUORIDE. J. Bilham and J. W. Linnett (Oxford Univ.).  
Nature, 201: 1323(Mar. 28, 1964).

The results of calculations relating to the electronic structure of XeF<sub>2</sub> are reported. The treatment is of the four electrons associated with a framework F<sup>+</sup>Xe<sup>2+</sup>F<sup>+</sup>. The wave functions of the molecule were constructed from the 2p<sub>z</sub> orbitals of the two fluorine atoms and the 5p<sub>z</sub> orbital on the xenon atom. The three atoms are in a straight line along the z-axis. It was assumed that other atomic orbitals can be neglected. (C.E.S.)

N.S.A. 1964 18 VIII

XeF<sub>4</sub> (J)

XI 2093

1964

XeF<sub>2</sub> (J)

Boudreaux B.Q.

J. Chem. Phys., 1964, 40, N1,  
246-47

Electronic structure and  
spectrum XeF<sub>4</sub>. A semiempirical  
MO ~~the~~ treatment.

20 Cefi

ЕСТЬ ОРИГИНАЛ

1964

Rc F<sub>2</sub>

Rc F<sub>4</sub>

Rc F<sub>6</sub>

Rc OF<sub>4</sub>

(ebv38)

Calculation of chemical shifts. II. The xenon fluorides.  
Cynthia Juan Jameson and H. S. Gutowsky (Univ. of Illinois,  
Urbana). *J. Chem. Phys.* 40(8), 2285-93(1964); cf. *CA* 60,  
10085g. Xe chem. shifts in  $\text{XeF}_2$ ,  $\text{XeF}_4$ ,  $\text{XeF}_6$ , and  $\text{XeOF}_4$  are  
calcd. by means of the general methods presented in part I.  
Comparisons with the exptl. chem. shifts show that the change  
in  $\sigma^{(2)}$ , the paramagnetic contribution, is the dominant term  
and that a localized description using *spd* hybrid Xe orbitals  
gives better agreement with expt. than a delocalized M.O. de-  
scription using no *d* hybridization. In addn., the indirect  
Xe-F and Xe-O coupling consts. observed in  $\text{XeF}_2$ ,  $\text{XeF}_4$ , and  
 $\text{XeOF}_4$  are more consistent with the localized models. The F  
chem. shifts are used to est. the ionicity of the Xe-F bonds.  
Also, a comparison of the anisotropy predicted for the F shift in  
 $\text{XeF}_4$  with an exptl. value shows that the F shifts result almost  
entirely from differences in  $\sigma^{(2)}$ .

RCJQ

C. J. 1964 to VII 1976.C



1964

ХI/1708

$\text{XeF}_2$

14 Б92. Длины связей во фториде двухвалентного ксенона. Gellings R. J. Bond lengths in xenon (II) fluoride. «Z. phys. Chem.» (BRD), 1964, 43, № 1-2, 123—125 (англ.)

Различие в длине связи  $\text{Xe—F}$  у твердого и газообразного  $\text{XeF}_2$  (2,00 и 1,7 Å соответственно) можно объяснить на основе простого электростатич. рассмотрения. Главной причиной увеличения расстояния  $\text{Xe—F}$  в твердом  $\text{XeF}_2$  является прямое электростатич. взаимодействие. Кроме того, имеется еще два вероятных, но меньших по значению вклада в этот эффект. Поляризация атомов F ведет к дополнительному притяжению в газообразной молекуле; увеличение координационного числа в твердом состоянии всегда приводит к увеличению межатомных расстояний, так как увеличивается отталкивание между атомами или ионами из-за большего перекрывания их электронных облаков. Те же причины приводят, по-видимому, к подобному различию в расстояниях  $\text{Xe—F}$  в  $\text{XeF}_4$  (1,953 в кристалле, 1,85 Å в газе). Эффект здесь слабее из-за менее ионного характера связи и более высокой координации в самой изолированной молекуле.

Е. Ручкин

Х. 1965.14

XeF<sub>2</sub>

Z Xe-F

XI 1708

1964

Bond lengths in xenon(II) fluoride. P. J. Gellings (Tech. Hochschule, Enschede, Neth.). Z. Physik. Chem. (Frankfurt) 43(1/2), 123-5(1964)(Eng). An explanation based on electrostatic considerations is presented for the discrepancy between the Xe-F bond lengths in solid and in gaseous XeF<sub>2</sub> mols., viz. 2.00 and 1.7 Å., resp.

Friedrich Epstein

C.A. 1965 62 - 8  
8461

1964

XeF<sub>2</sub>  
XeF<sub>4</sub>

✓ ЗД60. Химия инертных газов. Нутап Негбергт H. The chemistry of the noble gases. «J. Chem. Educ.», 1964, 41, № 4, 174—182 (англ.)

Обзор. Подробно рассмотрены строение и свойства всех известных в настоящее время химич. соединений инертных газов (практически соединений ксенона). Проанализированы колебательные спектры простейших молекул типа XeF<sub>2</sub> и XeF<sub>4</sub>, рентгенографич. данные, спектры ЯМР, физико-химич. свойства (давление паров, растворимость, химич. реакции и т. д.). Подробно обсуждается природа связей в галогенидах и оксигалогенидах ксенона. Собраны эксперим. данные, касающиеся нарушения октаэдрич. симметрии в гексафториде ксенона.

B. Быховский

Б/у

ф. 1965. 38

Б

БР-ХI-1862

1964

хеf<sub>2</sub>

спектр

2 Б63. Попытка интерпретации ультрафиолетового спектра дифторида ксенона. Israéli Yigal Julius. Tentative d'interprétation du spectre ultraviolet du difluogure de xénon. «Bull. Soc. chim. France», 1964, № 3, 649 (франц.)

Наблюденные полосы в УФ-спектре дифторида ксенона отнесены к переходам (в А): 1145  $a_{1g} \rightarrow a_{2u}^+$ , 1215  $a_{2u} \rightarrow a_{2u}^+$ , 1335  $e_{1u} \rightarrow a_{2u}^+$ , 1425  $e_{1u}^+ \rightarrow a_{2u}^+$ , 1580  $e_{1g} \rightarrow a_{2u}^+$ . Характер полосы 2300 А не выяснен.

Б. Рассадин

ж: 1965. 2

Хеф.

ВР - ХI - 1862

1964

2. Д64. Попытка интерпретации ультрафиолетового спектра дифторида ксенона. Israéli Yigal Julius. Tentative d'interprétation du sprectre ultraviolet du diffluogène de xénon. «Bull. Soc. chim. France», 1964, № 3, 649 (франц.)

Наблюдение полосы в УФ-спектре дифторида ксенона соответствуют переходам:  $1145\text{ \AA } a_{1g} \rightarrow a_{2u}^+$ ,  $1215\text{ \AA } a_{2u} \rightarrow a_{2u}^+$ ,  $1335\text{ \AA } e_{1u} \rightarrow a_{2u}^+$ ,  $1425\text{ \AA } e_{1u}^+ \rightarrow a_{2u}^+$ ,  $1580\text{ \AA } e_{1g} \rightarrow a_{2u}^+$ . Характер полосы  $2300\text{ \AA }$  не выяснен.

Ф. 1965.28

1964

XeF<sub>2</sub>  
XeF<sub>4</sub>  
XeF<sub>6</sub>  
Chas  
Jew

Bonding in xenon hexafluoride. Joyce J. Kaufman (Res. Inst. of Advanc. Sci. Div. Martin Co., Baltimore, Md.). *J. Chem. Educ.* 41(4), 183-4(1964). A review of the schools of thought concerning the theory of the bonding in XeF<sub>2</sub> and XeF<sub>4</sub> is given. In addn. to the pentagonal bipyramidal or distorted octahedral structures formerly postulated for XeF<sub>6</sub> and based on Xe 5d orbital participation, a structural possibility is proposed involving only partial 5d hybridization and leading to an octahedral XeF<sub>6</sub> structure. The Xe atom is in  $sp^3d^2$  ( $sp^3d_z^2, d_{x^2-y^2}$ ) hybridization which would place the F atoms sym. around the Xe at the vertices of an octahedron, while the extra lone pair of electrons remains on the Xe in an unhybridized d<sub>z</sub> orbital.

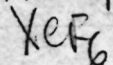
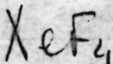
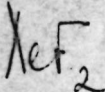
Sister Mary John (Hoye)

C.A. 1964 Co 113 151649 b.



**39208**) BONDING IN XENON HEXAFLUORIDE. Joyce J.  
Kaufman (RIAS Div., Martin Co., Baltimore). J. Chem.  
Educ., 41: 183-4 (Apr. 1964).

1964



large p d by  
4

epoxy type

NSA-1964

18 · 22

The theory of bonding in the lower members of compounds of Xe and F,  $\text{XeF}_2$  and  $\text{XeF}_4$ , is discussed. The distinguishing difference is that one group favors Xe 5d orbital hybridization with its 5s and 5p orbitals; the other favors bonds involving primarily only the Xe 5p orbitals. Both hybridization or nonhybridization of Xe and 5s and 5d orbitals with Xe 5p orbitals appear to predict correctly a linear structure for  $\text{XeF}_2$  and a square planar structure for  $\text{XeF}_4$ . The inclusion of Xe 5d orbital hybridization would seem to indicate for  $\text{XeF}_6$  two possible structures, a pentagonal pyramid or an irregular octahedron (both based on fragments of a pentagonal bipyramidal in which one vertex is unoccupied). These structures would arise from consideration of the most stable arrangement of seven electron pairs (whether bonded or nonbonded) around a central atom in  $\text{sp}^3\text{d}^3$  ( $\text{sp}^3\text{d}_2\text{d}_1$ ) hybridization. However, there is a structural possibility for  $\text{XeF}_6$ , alternative to these two forms, involving only partial Xe 5d orbital hybridization

which could lead to an octahedral  $\text{XeF}_6$  structure in the following manner. The Xe atom is in  $\text{sp}^3\text{d}^2$  ( $\text{sp}^3\text{d}_z^2\text{d}_{x^2-y^2}$ ) hybridization which would place the F atoms symmetrically around the Xe at the vertices of an octahedron, while the extra lone-pair of electrons remains on the Xe in an unhybridized  $\text{d}_z$  orbital. It is pointed out that when invoking the separated electron pair valence bond method that, under certain special conditions, it is possible to have nonparticipation in valence shell hybridization of d orbitals which contain one or a pair of essentially nonbonding electrons. The other theoretical assumption using only the Xe 5p orbitals would lead to an octahedral structure for  $\text{XeF}_6$ . It is concluded that while a  $\text{XeF}_6$  structure based on a pentagonal bipyramidal or distorted octahedral fragment would be conclusive evidence for Xe 5d orbital participation, an octahedral  $\text{XeF}_6$  structure should not be construed as conclusive evidence favoring either Xe 5d orbital participation or the lack of it. (BBB)

integ

1964

XeF

XeF<sub>2</sub>

Эмиссионные спектры

6 Б154. Эмиссионные спектры молекул XeF и XeF<sub>2</sub>. Кузнецова Л. А., Кузяков Ю. Я., Шпанинский В. А., Хуторецкий В. М. «Вестн. Моск. ун-та. Химия», 1964, № 3, 19—21

Исследован спектр испускания, возникающий при высокочастотном разряде через пары XeF<sub>2</sub>. Зарегистрировано 3 системы полос в области 3500, 2650 и 2350 Å. Интенсивная полоса у 3500 Å со сложной структурой, состоящей из широких линий, расположенных на фоне, обусловленном неразрешенной вращательной структурой, и менее интенсивная у 2650 Å с аналогичной структурой отнесены к свечению молекул XeF<sub>2</sub>, а диффузная полоса у 2350 Å — к молекуле XeF<sub>2</sub>. В структуре полосы 3500 Å выделены две серии полос с началом у 28 650 и 29 375 см<sup>-1</sup> соответственно и прогрессией колебательной частоты 927 см<sup>-1</sup>.

Р. Нурмухаметов

1/25/74

26.1965.6

1964

*XeF**XeF<sub>2</sub>*

2 Д161. Эмиссионные спектры молекул XeF и XeF<sub>2</sub>.  
Кузнецова Л. А., Кузяков Ю. Я., Шпанский В. А., Хуторецкий В. М. «Вестн. Моск. ун-та. Химия», 1964, № 3, 19—21

Исследован спектр испускания, возникающий при ВЧ-разряде через пары XeF<sub>2</sub>. Зарегистрировано три системы полос в области 3500, 2650 и 2350 Å. Интенсивная полоса у 3500 Å со сложной структурой, состоящей из широких линий, которые расположены на фоне, обусловленном неразрешенной вращательной структурой, и менее интенсивная у 2650 Å с аналогичной структурой отнесены к свечению молекул XeF, а диффузная полоса у 2350 Å — к молекуле XeF<sub>2</sub>. В структуре полосы 3500 Å выделены две серии полос с началом у 28 650 и 29 375 см<sup>-1</sup>, соответственно, и расстоянием между полосами 927 см<sup>-1</sup>.

Р. Нурмухаметов

25.2.67  
X/

99. 1965. 20

XeF

XeF<sub>2</sub>

Chebapp

XI.2527

1964

Emission spectra of XeF and XeF<sub>2</sub> molecules. L. A. Kuznetsova, Yu. Ya. Kuzyakov, V. A. Shpanskii, and V. M. Khutoretskii. *Vestn. Mosk. Univ., Ser. II, Khim.* 19(3), 19-21(1964). The spectrum of the high-frequency discharge through XeF<sub>2</sub> vapors was investigated. An intense band is observed in the spectrum, with long wavelength at 3536 Å. By starting from 3536 Å., a complex structure is observed toward the ultraviolet region which consists of broad lines situated over an unresolved rotational structure. At 2650 Å., a 2nd less intense band is observed and the region of 2350 Å., a diffuse band. The bands at 3536 and 2650 Å. are assigned to XeF; that at 2350 Å., to XeF<sub>2</sub>. A vibrational analysis of the most intense band (at 3536 Å.) was made by means of a diffraction grating with dispersion of 2 Å./mm. Two systems of bands were sep'd. A. Libackyj

C.A. 1964. 61. 8  
9060 dr.

1964

 $KeF_2$ 

Pysh E.S., Jortner J., Rice S.A.

 $KeF_4$ 

J. Chem. Phys., 1961, no. 2018 (N.Y.)

 $f$ Зависимость коэффициента ре-  
акции с  $KeF_2$  и  $KeF_4$ .Частота с  $KeF_2$  при  $2320\text{ A}$   $f = 0,002$ и с  $KeF_4$  при  $2280\text{ A}$   $f = 0,009$  и при  
 $2580\text{ A}$   $f = 0,003$ .

BH<sub>2</sub>, CH<sub>2</sub>, LiH<sub>2</sub>, NH<sub>2</sub>, PH<sub>2</sub>; A 1516, 4371  
H<sub>2</sub>O, H<sub>2</sub>S, CO<sub>2</sub>; CS<sub>2</sub>, NO<sub>2</sub>, SO<sub>2</sub>, ClO<sub>2</sub>, NF<sub>2</sub>  
XeF<sub>2</sub>, HCO; NH<sub>0</sub>, H<sub>2</sub>ice, H<sub>2</sub>LiBr, NH<sub>3</sub>,  
PF<sub>3</sub>, PCl<sub>3</sub>, HCOH, CO<sub>2</sub>Cl, COSCl,  
C<sub>2</sub>N<sub>2</sub>, C<sub>2</sub>H<sub>2</sub> (сингулярна и мол. нос.)

Walsh A. D.

Ann Rept. Progr. Chem. (Chem. Soc.  
London), 1964, 61, 8-26

60

CA166

C5 bear  
Cupr. elec.

Деf<sub>2</sub>

Дегкина Н.Е.

1965

Чаркин О.П.

"Ил. структур. химии"

1965, 6, № 174-176

Об энергии ванадиевых соединений  
в соединениях ионных газов  
и некоторые другие галогениды

(ав. III) (еf<sub>4</sub>)

1868

XeF<sub>2</sub>

2 Б93. Спектры излучения фторидов ксенона и криптона в ультрафиолетовой области. Krishnamachari S. L. N. G., Narasimham N. A., Singh Mahavir. Ultraviolet emission spectra of xenon and krypton fluorides. «Current Sci». (India), 1965, 34, № 3, 75—77 (англ.)

Исследованы спектры безэлектродного разряда в смеси  $\text{BF}_3$  и Xe. Обнаружены 12 интенсивные группы линий при 351,0 и 308,0 мкм и 2 относительно слабые — при 263,5 и 235,5 мкм. Такие же линии давала смесь LiF или NaF и Xe. Указано, что энергетич. разность между расположениями максимумов интенсивных групп линий совпадает с величиной расщепления дублета основного состояния ионизированного атома Xe. Исследования закономерностей расположения линий в указанных группах показа-

☒

X. 1967. 2

ли, что этот спектр, вероятно, является электронно-колебательным спектром молекулы  $XeF_2$ . В группе линий при 351,0 мк обнаружена также вращательная структура. На основе полученных результатов определены частоты некоторых колебаний, которые согласуются с данными исследования спектра молекулы  $XeF_2$ . В спектре излучения смеси LiF и Kr обнаружены группы линий при 248,5 и 222,0 мк. Высказано предположение, что этот спектр является электронно-колебательным спектром молекул  $KrF_2$ . Предложено объяснение структуры спектра, аналогичное предыдущему.

Ю. Закис

1965

 $\text{XeF}_2$  $\text{KrF}_2$ 

Ultraviolet emission spectra of xenon and krypton fluorides.  
S. L. N. G. Krishnamachari, N. A. Narasimham, and Mahavir Singh (At. Energy Estab., Bombay). *Current. Sci. (India)* 34 (3), 75-7(1965)(Eng). The emission spectra of Xe and Kr fluorides were obtained by exciting a mixt. of the inert gas and  $\text{BF}_3$  in an electrodeless discharge tube by means of a microwave generator ( $\nu = 2450 \text{ Mc./sec}$ ). Bands not belonging to the spectra of  $\text{BF}_3$ ,  $\text{BO}$ , or  $\text{BO}_2$  mols. were observed.  $\text{LiF}$  or  $\text{NaF}$  substituted for  $\text{BF}_3$  gave the same inert gas fluoride bands. Bands at 3510, 2635, 3080, and 2355 Å. were observed for the Xe compd. The latter 2 bands appeared to be due to  $\text{XeF}_2$ . Bands at 2485 and 2220 Å. were observed for the Kr compd. which correlated only loosely with  $\text{KrF}_2$ . B. E. Hankins

+1

C.A. 1965. 62. 13

15603c



*Xe F<sub>2</sub>*

1965

2 Д278. Спектры излучения фторидов ксенона и криптона в УФ-области. Krishnamachari S. L. N. G., Narasimham N. A., Singh Mahavir. Ultra-violet emission spectra of xenon and krypton fluorides. «Current Sci». (India), 1965, 34, № 3, 75—77 (англ.)

В спектрах безэлектродного разряда смеси  $\text{BF}_3$  и Xe обнаружены две интенсивные группы линий при 351,0 и 308,0 мкм и две относительно слабые — при 263,5 и 235,5 мкм. Аналогичен вид спектра для смеси LiF или NaF и Xe. Энергетич. разность между расположениями максимумов интенсивных групп линий совпадает с величиной расщепления дублета основного состояния ионизированного атома Xe. Сделан вывод, что этот спектр является электронно-колебательным спектром молекулы  $\text{XeF}_2$ . В группе линий при 351,0 мкм обнаружена также вращательная структура. Определены частоты некоторых колебаний, которые согласуются с данными по спектрам комб. рас. молекулы  $\text{XeF}_2$ . В спектре излучения смеси LiF и Kr обнаружены группы линий при 248,5

оф. 1967 · 22

8

и 222,0 мк. Предположено, что этот спектр является  
электронно-колебательным спектром молекул  $\text{KrF}_2$ .

Ю. Закис

1965

XeF<sub>2</sub>

Vi

2 Б93. Спектры излучения фторидов ксенона и криптона в ультрафиолетовой области. Krishnamachari S. L. N. G., Narasimham N. A., Singh Mavir. Ultra-violet emission spectra of xenon and krypton fluorides. «Current Sci». (India), 1965, 34, № 3, 75—77 (англ.)

Исследованы спектры безэлектродного разряда в смеси  $\text{BF}_3$  и Xe. Обнаружены 2 интенсивные группы линий при 351,0 и 308,0 мкм и 2 относительно слабые — при 263,5 и 235,5 мкм. Такие же линии давала смесь LiF или NaF и Xe. Указано, что энергетич. разность между расположениями максимумов интенсивных групп линий совпадает с величиной расщепления дублета основного состояния ионизированного атома Xe. Исследования закономерностей расположения линий в указанных группах показали, что этот спектр, вероятно, является электронно-коле-

Х. 1967. 2.

8

бателльным спектром молекулы  $\text{XeF}_2$ . В группе линий при 351,0 мк обнаружена также вращательная структура. На основе полученных результатов определены частоты некоторых колебаний, которые согласуются с данными исследования спектра молекулы  $\text{XeF}_2$ . В спектре излучения смеси LiF и Kr обнаружены группы линий при 248,5 и 222,0 мк. Высказано предположение, что этот спектр является электронно-колебательным спектром молекул  $\text{KrF}_2$ . Предложено объяснение структуры спектра, аналогичное предыдущему.

Ю. Закис

XeF<sub>2</sub> XI 901 Coulson C. A. 1966

J. Chem. Phys., 44 (2),  
468-9.

Force fields in KrF<sub>2</sub> and  
XeF<sub>2</sub>

(see <sup>84</sup>KrF<sub>2</sub>)

C.A. 1966. 64. 6

7527 sh

XeF<sub>2</sub>

Bp - M945T-IV

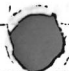
Nagarajan G.

1966

Acta phys. Austriaca,

21, N4, 355

Макроциркулярное когдажевое и  
периодическое о-вие  
рук-полк линейных струк. наст-л.



(C<sub>el.</sub>, C<sub>3</sub>) III

Chem. noes. ( $WO_3$ ,  $MoO_3$ ,  $VO_3$ ,  $BH_3$ ,  $CH_3$ ,  $CF_3$ ,  
 $AlF_3$ ,  $AlCl_3$ ,  $C_3$ ,  $Si_3$ ,  $XeF_2$ ) 1966

Nagarajan G., M 1200

Z. Naturforsch. a, 1966, 21, N3,  
244-51

(EP)

no 116 next to me

1966 f.m.

XeF<sub>2</sub>, XeF<sub>4</sub>, XeF<sub>6</sub> (Эксперименты)  
1966  
XI 1418 3  $\text{S}^{\text{O}} \xrightarrow{\Delta \text{H}_f} \text{XeF}_3 \xrightarrow{\Delta \text{S}_f} \text{XeF}_6$

Weinstock B., Weaver E. E., Knop Ch. P.,

Journ. Chem., 1966, 5(12), 2189-203.

The Xenon-fluoride system.

M (P)

CA, 1967, 66, N 4, 16146a  
E.G.T. E. H.

XeF<sub>6</sub>

XeF<sub>4</sub> (emulsion)

XeF<sub>2</sub>

11 XI 1422 1866

Willett R. D.

Theoret. Chem. Acta, 1866, 6, v2, 186-188/

A comment on the bonding in XeF<sub>6</sub>.

O

F

W

Brown, 1867, 18558

1967

*XeF<sub>2</sub>*

5 Б41. Теоретическое определение средних квадратичных амплитуд колебаний в  $\text{XeF}_2$  и  $\text{XeF}_4$ . Уегапоу Walter A. A theoretical evaluation of the root-mean-square amplitudes of vibration in  $\text{XeF}_2$  and  $\text{XeF}_4$ . «Molec. Phys.», 1967, 12, № 6, 529—532 (англ.)

Получены формулы, выражающие средние квадратичные амплитуды колебаний  $\Sigma$  в координатах симметрии молекул  $\text{XeF}_4$  и  $\text{XeF}_2$  через средние квадратичные амплитуды колебаний  $\sigma$  валентных и деформационных естественных колебательных координат. По этим формулам определены численные значения величин  $\Sigma$  и  $\sigma$  для 298°. Средние значения амплитуд колебаний расстояний Xe— $F_1$ ,  $F_1—F_2$ ,  $F_1—F_3$  в  $\text{XeF}_4$  равны 0,0465; 0,1101; 0,0633А. Измеренные значения первых двух величин равны 0,05 и 0,10А. Вычисленные соответствующие значения для  $\text{XeF}$  и F—F в  $\text{XeF}_2$  равны 0,0469 и 0,0638А. Сравнение этих данных указывает на сходство химических связей в обеих молекулах.

М. А. Ковнер

Х. 1968 · 5

19

XeF<sub>2</sub>

1967

102990y A theoretical evaluation of the root-mean-square amplitudes of vibration in XeF<sub>2</sub> and XeF<sub>4</sub>. Walter A. Yeranos (Northern Illinois Univ., DeKalb). *Mol. Phys.* 12(6), 529-32 (1967)(Eng); cf. *CA* 64: 1372b. The general formulation necessary for the calcn. of the root mean sq. vibration amplitudes of sq. planar mols. is presented within the framework of Morino's method (M., *et al.*, *CA* 48: 1741g). The root-mean-sq. vibration amplitudes of the Xe-F, the adjacent F...F, and the trans F...F interat. distances in XeF<sub>4</sub> were theoretically estd. to be 0.0465 (0.05), 0.1101 (0.10), and 0.0633 Å., resp., at 298°K. Agreement with available exptl. values (in parentheses) was good. The root-mean-sq. vibration amplitudes of the Xe-F and F...F interat. distances in XeF<sub>2</sub> were calcd. to be 0.0469 and 0.0638 Å., resp., at 298°K. The striking resemblance to those of XeF<sub>4</sub> strongly suggests similar bonding in the 2 mols. 12 references.

GRIN

+1

C.A. 1967. 67.22

24

XeF<sub>2</sub>; KrF<sub>2</sub>; ICl<sub>2</sub><sup>-</sup> (cúpyru.) 1968

~~Arqpeb C. Andreev~~ S., XI 3742

God. Viss. Khimiko-tehnol. Inst.,  
Sofia, 1968 (Pub. 1972), 15, N 5, 445-56  
6 (down.)

Combination treatment of the  
molecular symmetry of xenon  
difluoride, krypton difluoride  
and iodine di chloride ion.

10  
④

CA, 1973, 79, N 20, 118589h

80410.3048

Ph, Ch XII 1645

XeF<sub>2</sub>, XeF<sub>4</sub>, XeF<sub>6</sub>

(Составлено на русском языке)

J.F. 1968

Falconer W.E., Büchler Alfred, Stauffer  
James L., Klemperer William. Molecular  
structure of XeF<sub>6</sub> and IF<sub>7</sub>. "J. Chem.  
Phys.", 1968, 48, N 1, 312-318

10 (англ.)

689 698 503

4

ВИНИТИ

$\text{XeF}_2 (\gamma, \text{D}_{\text{p}})$

X1366

1968

80366m Ionization and dissociation of xenon difluoride induced by photon impact. Morrison, J. D.; Nicholson, A. J. C.; O'Donnell, T. A. (La Trobe Univ., Bundoora, Aust.). *J. Chem. Phys.* 1968, 49(2), 959-60 (Eng). The ionization and dissoci. energies of  $\text{XeF}_2$  were remeasured by a photon-impact method which was used to avoid decompr. on the heated filament and ion source. The 1st differential of the total ionization efficiency curve for  $\text{XeF}_2^+$  obtained by summing the contributions from  $\text{XeF}_2^+$  and  $\text{XeF}^+$  with correct amplitudes possess at least 2 max., indicating the presence of 2 electronic states, with vertical ionization energy at 12.32 and 12.86 ev.: there may be a third at 13.65 ev. The energy obtained for the highest occupied orbitals of  $\text{XeF}_2$  and their types are tabulated.

CJJN

C.A. 1968. 69. 20

1968

XeF<sub>2</sub>

D 4 Д206. Ионизация и диссоциация XeF<sub>2</sub> фотонами.  
Morrison J. D., Nicholson A. J. C., O'Don-  
 nell T. A. Ionization and dissociation of xenon difluo-  
 ride induced by photon impact. «J. Chem. Phys.», 1968,  
 49, № 2, 959—960 (англ.)

Ч  
д  
е

Для уточнения значений потенциалов ионизации и диссоциации XeF<sub>2</sub>, авторами проведены измерения методом фотонных столкновений. Источником излучения служил разряд в водороде (920 Å). Полученные значения потенциала ионизации (12,28 эв) и потенциала диссоциации на XeF<sup>+</sup> (12,86 эв) отличаются от полученных ранее. Данные эксперимента требуют дальнейших уточнений.

В. Я. Заславский

ф. 1969. 49

$\text{XeF}$ ;  $\underline{\text{XeF}_2}$ ;  $\text{XeF}_3^+$ ;  $\text{XeF}_5$ ,  $\text{XeF}_5^+$  (строение  
расчёт  
Андреев С. № 3449 ЭН. связи) 1969

Годичен. Висш. хим.-технол. ин-т  
— София, 1969 (1971), 16, № 1, 33-44  
(Болгарск.)

Газохроматографично изследование на ионизация  
 $\text{XeF}$ ,  $\text{XeF}_3$ ,  $\text{XeF}_3^+$ ,  $\text{XeF}_5$  и  $\text{XeF}_5^+$  в  
съединение на превръщане на ионизацияни  
и обработка с използване на  
надеждни стабилност на кино-  
бързите измервания.

Рънчев, 1973, 16520 10

X<sup>2</sup> (even. noem.) 1964  
Breens R.E., S. " XI - 80

Diss. Abstr. Int., 1969, B30, N°3, 1053-4

Theoretical investigation of the  
bond - bond interaction force  
constant in X<sup>2</sup> molecules. (same)

to  
(act. opmearal)

○ (150000d)  
CA 1970, 72, 102, 150002L

Xef  
2

1969

ЗД116. Упрощенный подход к вопросам стереохимии неорганических соединений в методе молекулярных орбит. Gavin R. M., Jr. Simplified molecular orbital approach to inorganic stereochemistry. «J. Chem. Educ.», 1969, 46, № 7, 413—422 (англ.)

Сделана попытка объяснить стереохимию соединений непереходных элементов, образующих с лигандами преимущественно  $\sigma$ -связи, на основании энергетич. поведения занятых МО при варьировании геометрич. параметров. МО рассчитываются методом типа Хюккеля (МТХ). Для молекул  $AB_2$  предсказана линейная конфигурация (ЛК) при наличии 4 и 10 ( $XeF_2$ ,  $KrF_2$ ,  $JCl_2^-$ ,  $J_3^-$ ) валентных электронов у A. Однако, для  $H_2O$  в зависимости от выбора значения потенциала ионизации в валентном состоянии получается как угловая конфигурация, так и ЛК. Показано, что среди T-образных конфигураций  $ClF_3$  более устойчивой должна быть конфигурация с углом  $FClF$ , меньшим  $90^\circ$ . Для соединений  $A\bar{X}_5$  с

стереохимич.  
конфигур.)

09.1970. 39

78

10

одной неподеленной парой ( $\text{XeF}_5^+$ ,  $\text{JF}_5$ ) в качестве более энергетически выгодной получена квадратная пирамида с некоторым искажением основания в сторону аксиального заместителя. Для  $\text{XeF}_6$  и  $\text{JF}_6$  в качестве наиболее стабильной предсказана конфигурация с симметрией  $C_{3v}$ . Указана ограниченность подхода, обусловленная применением МТХ для расчетаМО, но на основании качественного соответствия более строгим расчетам и эксперим. фактам сделан вывод о возможности использования такой модели для предварительных суждений о стереохимии.

А. П. Клягина

XeF<sub>2</sub>

XI 341

1969

410186t Chemistry of inert gas compounds. VIII. The ir spectra of xenon fluoride ( $\text{XeF}_2$ ) in different solvents. Meinert, Hasso; Kauschka, Guenther (Humboldt-Univ. Berlin, Berlin, Ger.). *Z. Chem.* 1969, 9(3), 114-15 (Ger). The ir spectrum of  $\text{XeF}_2$  in  $\text{MeNO}_2$ ,  $\text{CCl}_4$ , dioxane, tetrahydrofuran (THF), dimethylformamide (DMF),  $\text{Me}_2\text{SO}$ , pyridine,  $\text{Me}_3\text{PO}_4$ ,  $(\text{Me}_2\text{N})_2\text{PO}$ , and  $\text{ClP}(\text{O})\text{Ph}_2$  were recorded.  $\text{XeF}_2$  dissolves in the phosphororg. solvents at room temp. without reaction. However,  $\text{XeF}_2$  reacts with pyridine, THF, and  $\text{Me}_2\text{SO}$  at room temp. and decomp. in DMF. In  $\text{XeF}_2$  solns. of  $\text{MeNO}_2$ , dioxane, and  $\text{CCl}_4$ , an asym. band was observed. With increasing donor strength of these solvents and with increasing solvation of  $\text{XeF}_2$ , the Xe-F bond is weakened and the ir frequency is shifted to lower wave nos.

CJJG

C.A. 1969

70.24

Ref  
8

X/386

1969

1 Д122. 5d-Орбитали ксенона в атомных валентных состояниях и в молекулах  $\text{XeF}_2$  и  $\text{XeCl}_2$ . Mit chell K. A. R. 5d orbitals of xenon in atomic valence states and in the molecules  $\text{XeF}_2$  and  $\text{XeCl}_2$ . «J. Chem. Soc.», 1969, A, № 11, 1637—1644 (англ.)

Оптимизируются энергии для возбужденных конфигураций и валентных состояний ксенона путем варьирования 5s-, 5p- и 5d-атомных волн. ф-ций. Энергии валентных состояний, полученных с помощью тригональных бипирамидальных конфигураций, по наиболее благоприятным оценкам, составляют соответственно 9,35 и 46 эв над основным состоянием. Проведены также не-

научен  
81

09. 10. 20.

10



(+1)



которые модельные вычисления для молекул  $\text{XeF}_2$  и  $\text{XeCl}_2$  с помощью метода валентной связи Леннарда—Джонса и др. Показано, что для молекулы  $\text{XeF}_2$  стабилизация  $5d$ -орбиталей молекулярным окружением может быть достаточно велика.  $5d$ -орбитали ксенона стабилизованы и в  $\text{XeCl}_2$ , но в меньшей степени, чем в  $\text{XeF}_2$ . Полагают также, что  $5d$ - и  $6s$ -орбитали ксенона существенны для связи в молекулах  $\text{XeF}_4$  и  $\text{XeF}_6$ . В. С. Л.

1969

X1356

De F<sub>2</sub>Kb. week  
picrate

53718n 5d Orbitals of xenon in atomic valence states and in the molecules xenon difluoride and xenon dichloride. Mitchell, K. A. R. (Univ. of British Columbia, Vancouver, Can.). *J. Chem. Soc. A* 1969, (11), 1637-44 (Eng). Energies for excited configurations and valence states of Xe are optimized by varying 5s, 5p, and 5d at. orbital exponents. These calcns. show that 5d orbitals are diffuse in  $d^1$  configurations, but are contracted with further promotion to the d levels. It is confirmed that promotion energies to 5d states may be large. For valence states derived with trigonal bipyramidal, octahedral, and pentagonal bipyramidal hybridizations, the most favorable est. are, resp., 9, 35, and 46 ev. above the ground state. Addnl. some model calcns. have been made for  $\text{XeF}_2$  and  $\text{XeCl}_2$  by use of the extended valence bond method of Hurley, Lennard-Jones, and Pople. The calcns. for  $\text{XeF}_2$  suggest that the covalent bond

C.A. 1969

H. 12

+1

X

structure F-Xe-F, involving  $5d_{\sigma}$  interactions, is energetically more favorable than structures depending on ionic contributions, such as  $\text{F}-\text{Xe}^+\text{F}^-$  and  $\text{F}^-\text{Xe}^{2+}\text{F}^-$ . This confirms that the stabilization of  $5d_{\sigma}$  orbitals by mol. environments can be sufficiently large that the  $5d$  at. promotion energies are recovered during bond formation. Xe  $5d$  orbitals are stabilized in  $\text{XeCl}_2$ , but to a less extent than in  $\text{XeF}_2$ . It is expected that  $5d$  and  $6s$  orbital bonding is important for  $\text{XeF}_4$  and  $\text{XeF}_6$ .

RCGF

XI 439

1969

XeF<sub>2</sub>

10 Б255. Структура XeF<sub>2</sub> в газовой фазе. Riech-l  
man Sandor, Schreiber Felix. Gas-phase structu-  
re of XeF<sub>2</sub>. «J. Chem. Phys.», 1969, 51, № 6, 2355—2358  
(англ.)

Исследован ИК-спектр высокого разрешения газооб-  
разного ( $p=4$  мм. Hg) XeF<sub>2</sub> (99% Xe<sup>136</sup>) в области кол.  
 $\nu_3$  (544—574 см<sup>-1</sup>). Из анализа главной полосы  $\nu_3$  опре-  
делены молек. постоянные (все в см<sup>-1</sup>)  $\nu_0=560,101\pm$   
 $\pm 3 \cdot 10^{-3}$ ,  $B_0=0,11350\pm 8 \cdot 10^{-5}$ ,  $\alpha_3=3,30 \cdot 10^{-4}\pm 1,3 \cdot 10^{-6}$ ,  
 $D=3,9 \cdot 10^{-8}\pm 1,3 \cdot 10^{-8}$ . Из анализа горячей полосы  
 $2\nu_2+\nu_3\leftarrow 2\nu_2$  также определены молек. постоянные (все  
в см<sup>-1</sup>):  $\nu_0=558,664\pm 3 \cdot 10^{-3}$ ,  $B_{010}'=0,11334\pm 9 \cdot 10^{-5}$ ,  
 $\alpha_3=3,31 \cdot 10^{-4}\pm 1,6 \cdot 10^{-6}$ ,  $D=2,2 \cdot 10^{-8}\pm 1,7 \cdot 10^{-8}$ . Из рас-  
стояний между центрами полос  $\nu_3$  и  $\nu_3+\nu_2\leftarrow\nu_2$  определе-  
на постоянная  $X_{23}=-1,44$  см<sup>-1</sup>. Из постоянной  $B_0$  опре-  
делена длина связи  $r_{Xe-F}=1,9773\pm 0,0015$  Å.

А. Александров

ИК-спектр,  
м.н.,  
структур

Х. 1970. 10

XI 439

1969

XeF

2

(107145u) Gas-phase structure of xenon difluoride. Reichman, Sandor; Schreiner, Felix (Univ. of Minnesota, Minneapolis, Minn.). *J. Chem. Phys.* 1969, 51(6), 2355-8 (Eng). The  $\nu_3$  region of the spectrum of XeF<sub>2</sub> at 560 cm.<sup>-1</sup> was studied under high resoln. The anal. of the band gives  $\nu_0 = 560.101$ ,  $B_0 = 0.11350$ ,  $\alpha_3 = 3.31 \times 10^{-4}$ , and  $X_{23} = -1.44$  cm.<sup>-1</sup>. The Xe-F bond length obtained from  $B_0$  is 1.977,  $\pm 0.0015$  Å. RCJO

Vi

$B_0$

dy

C.A. 1969. H. 22

12 1969

S	F <sub>4</sub>	7 (составлено 07-07-69)	
V	F <sub>4</sub>		<u>VII - 3778</u> 6

M. n. (MoF<sub>4</sub>, WF<sub>4</sub>, UF<sub>4</sub>, PF<sub>4</sub>) 7  
 Тицировано 10.71., Тарасов А.Д.,  
 Кир. газ. кузова, 1969, № 4, 835-83

Однокомпонентный метод синтеза азотистых  
 полимеров на основе азота и борной кислоты  
 в водном растворе соли. Кислотные свойства  
 гидратированного ядерного фторида тетра-  
 водогидроксида ядерного фторида при температуре  
 20°C, 1969, № 22-114 10 CP

Sq (mol. no cm.) 12 14 1980  
Xef<sub>2</sub>-CO<sub>2</sub> (pmol cm<sup>-2</sup>) 1.1 XI-673

Briggs A.G., Kemp R.N., Batt A.,  
Molloway J.H.

Specrochim. Acta, 1970, A26, N° 2,

415-187asus)

Flash photolysis of xenon difluo-  
xide, carbon disulfide, and  
nitrogen trifluoride.

10

(D)

8 CAI 1970, 42, 126, 138298W

XeF<sub>2</sub>

(n)

XeJ2

1970

- 116452q High-resolution He I and He II photoelectron spectra of xenon difluoride. Brundle, Christopher R.; Robin, Melvin B.; Jones, Gordon Robert (Bell Teleph. Labs., Inc., Murray Hill, N.J.). *J. Chem. Phys.* 1970, 52(7), 3383-6 (Eng).
- The vertical ionization potentials (I.P.'s) of the 1st 8 ionizations in the XeF<sub>2</sub> mol. have been detd. and they compare favorably with the results of Gaussian-type orbital calcns. The 1st 2 ionic states of XeF<sub>2</sub> are the  $^2\Pi_{3/2}$  (12.42 eV) and  $^2\Pi_{1/2}$  (12.89 eV) spin-orbit components formed by ionization from the highest-filled  $\pi$ -orbital ( $5\pi_u$ ). As judged by the vibronic structure of the transitions, the 2 upper states are linear, with Xe-F distances very much like those of the ground state. The 5th (15.60 eV) and 6th (16.00 eV) I.P.'s similarly involve the ejection of an electron from the  $4\pi_u$  orbitals, and thus they are sep'd. by the action of spin-orbit coupling. Substitution of He II  $\alpha$ -excitation

C.A. 1970. J2.22

(40.82 eV) for the He I  $\alpha$  excitation (21.21 eV) results in both the addnl. ionization of electrons from the  $9\sigma_g$ , MO (22.5 eV), and a drastic change in the relative intensities of certain peaks in the lower I.P. region. Rydberg bands in the optical spectrum of XeF<sub>2</sub> can be correlated with those of the photoelectron spectrum, yielding assignments in essential agreement with those given by earlier workers. The work with the He II resonance line is described in some detail because a description of its use in photoelectron spectroscopy has not previously appeared in the literature.

RCJQ

XeF<sub>2</sub>

XI 7.2

1970

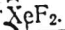
18 Б121. Фотоэлектронные спектры He I и He II высокого разрешения дифторксенона. Brundle C. R., Robin M. B., Jones G. R. High-resolution He I and He II photoelectron spectra of xenon difluoride. «J. Chem. Phys.», 1970, 52, № 7, 3383—3386 (англ.)

Определены первые восемь ионизац. потенциалов (ИП) молекулы XeF<sub>2</sub> и проведено их сравнение с результатами расчетов орбиталей в гауссовском приближении. Первые два ионные состояния, отнесенные к спин-орбитальзациям электронов с 9σ, молек. орбитали (22,5 эв) и за образуются при ионизации с высшей заполненной π-орбитали (5 π<sub>u</sub>). Из вибронной структуры переходов установлено, что след. более высокие переходы линейны относительно расстояния Xe—F и аналогичны основному

X. 1970. 18

состоянию. Пятый и шестой ИП (15,60 и 16,00 эв) возникают за счет удаления электрона с  $4\pi_u$ -орбитали, а расстояние между ними соответствует спин-орбитальному расщеплению. При замене возбуждения  $\text{He II}\alpha$  (40,82 эв) на  $\text{He I}\alpha$  (21,21 эв) наблюдались дополнительная ионизация электронов с  $9\sigma_s$  молек. орбитали (22,5 эв) и заметное изменение относит. интенсивностей в более низкой области ИП. Проведено сопоставление полученных данных с полосами серии Ридберга в оптич. спектре

О. Г. Гаркуша



$\text{XeF}_2$

XI 72

1970

ФЭ -  
спектр  
у

19 Д242. Фотоэлектронный спектр высокого разрешения дифторида ксенона, полученный с линиями HeI и HeII. Brundle C. R., Robin M. B., Jones G. R. High-resolution He I and He II photoelectron spectra of xenon difluoride. «J. Chem. Phys.», 1970, 52, № 7, 3383—3386 (англ.)

Исследован фотоэлектронный спектр молекулы  $\text{XeF}_2$ , полученный с линиями HeI (21,22 эв) и HeII (40,82 эв). Измерены вертикальные потенциалы ионизации 8 уровней  $\text{XeF}_2$ . Методом самосогласованных MO ЛКАО с

Ф. 1970. IX

гауссовским базисом выполнен расчет потенциалов ионизации  $\text{XeF}_2$ . Путем сопоставления результатов расчета и эксперимента дано отнесение наблюдаемых линий к уровням  $\text{XeF}_2$ . Первые 2 линии при 12,42 и 12,89 эв отнесены к подуровням  $^2\Pi_{3/2}$  и  $^2\Pi_{1/2}$  уровня  $5\Pi_u$ , расщепленного вследствие спин-орбитального взаимодействия. Последующие 2 линии при 13,65 и 14,35 эв отнесены к уровням  $10\sigma_g$  и  $3\pi_g$  соответственно, показано, что молекула  $\text{XeF}_2$  в этих состояниях имеет линейную конфигурацию. Линии при 15,60 и 16,00 эв отнесены к подуровням уровня  $4\pi_u$ .

При возбуждении спектра линией  $\text{HeII}$  появляется еще одна линия при 22,5 эв и сильно изменяются относительные интенсивности других линий. Результаты полностью согласуются с литературными данными по оптическому спектру  $\text{XeF}_2$ .

М. Р. Алиев

$XeF_2$   
 $XeF_2^+$

XI - 874

1970

5 Д245. Фотоэлектронный спектр молекулы  $XeF_2$ .  
Brehm Burkhard, Menzinger Michael, Zott Christian. The photo-electron spectrum of  $XeF_2$ . «Can. J. Chem.», 1970, 48, № 20, 3193—3196 (англ.).

Получен фотоэлектронный спектр молекулы  $XeF_2$  с разрешением 10 мэв при фотонионизации резонансной линией HeI 584 Å. Зарегистрированы шесть электронных состояний молекулярного иона  $XeF_2^+$  и определены адабатические и вертикальные потенциалы ионизации, а также относит. вероятности фотонионизации в эти состояния. Полученные результаты хорошо согласуются с теоретически предсказываемыми при использовании метода ЛКАО МО. Библ. 12.

В. Александров

ф. 1971.50

$XeF_2$

XI-874

1970

$XeF_2^+$

$E_i$

9 Б117. Фотоэлектронный спектр  $XeF_2$ . Врем  
 Burkhardt, Menzinger Michael, Zorn Christian. The photo-electron spectrum of  $XeF_2$ . «Can. J. Chem.», 1970, 48, № 20, 3193—3196 (англ.)

В области энергий 11—20 эв изучен фотоэлектронный спектр  $XeF_2$  при возбуждении резонансным излучением

He 584 А. Получена прямая информация об энергии шести низколежащих электронных состояний иона  $XeF_2^+$ . Полученные значения для адиабатич. и вертикальных ионизаци. потенциалов и относит. вероятностей ионизаций сопоставляются с теоретически предсказанными данными. Проведена классификация состояний, наблюдавшихся в спектре, на основе теории МО ЛКАО. О. Г. Гаркуша

X. 1971. 9

XeF<sub>2</sub><sup>+</sup>

XI-874

1970

N

XeF<sub>2</sub>

CHEKUP

8041n Photoelectron spectrum of XeF<sub>2</sub> [xenon difluoride].  
Brehm, Burkhard; Menzinger, Michael; Zorn, Christian (Phys.  
Inst., Univ. Freiburg, Freiburg/Br., Ger.). *Can. J. Chem.*  
1970, 48(20), 3193-6 (Eng). Six electronic states of XeF<sub>2</sub><sup>+</sup>  
have been found in the photoelectron spectrum of XeF<sub>2</sub>. The  
adiabatic ionization potentials, vertical ionization potentials,  
and relative ionization probabilities for these states are com-  
pared with theoretical predictions and an attempt is made to  
assign the states in terms of MO.

RCCM

C.S.1971.94.2

XI 130

1970

XeF<sub>2</sub>

18 Б29. Связь в XeF<sub>2</sub>. Catton R. C., Mithell K. A. R. The bonding in XeF<sub>2</sub>. «Chem. Commun.», 1970, № 7, 457—458 (англ.)

Произведен расчет молекулы XeF<sub>2</sub> методом валентных связей (ВС) с учетом 4 структур: 1) F—Xe—F, 2) F—Xe<sup>+</sup>F<sup>-</sup> и F—Xe<sup>+</sup>—F; 3) F—Xe<sup>2+</sup>F<sup>-</sup>, в к-рых связи образованы *pd* гибридными АО Xe и 4) структуры, в к-рой связи образованы только 5 *p<sub>z</sub>* АО Xe. Для АО использовались СТО с фиксированными экспонентами (кроме 5 *d<sub>z<sup>2</sup></sub>*—АО Xe). За начало отсчета энергий принят остов F<sup>+</sup>Xe<sup>4+</sup>F<sup>+</sup> для всех структур. Интегралы межэлектронного отталкивания упрощались по методу Малликена и связями  $\pi$ -типа пренебрегали. 2*p*  $\sigma$ -АО атомов F ортогонализовались к 5 *d<sub>z<sup>2</sup></sub>*—АО Xe и друг к другу. Вводился па-

расчет  
молекула

X. 1970. 18529

раметр, передающий ионный характер связей Хе—F, найденный путем минимизации энергии, равным 0,52. Оптимизированная экспонента  $5d_{z^2}$ -АО равна 2,07. Приведены энергии всех валентных структур и их вклады, составляющие соотв. 38,9%; 29,7%; 15,1% и 16,2%, что указывает на значит. роль структур с участием  $5d_{z^2}$ -АО Хе (1 и 2). Результирующая функция с учетом конфигурац. взаимодействия сравнительно близка к модели с локализованными связями, к-рая вносит 71% в полную функцию.

М. Дяткина

XeF<sub>2</sub>

Cotton R.C.

1970

Mitchell K.A.R.

Can. J. Chem. 1970,  
48(14), 2695-2701

X/18887



(Cu. ArF<sub>2</sub>)<sup>III</sup>

$XeF_2$

XI 2602

1971

2 Б20. Исследование ряда  $XeF_n$  ( $n=2,4,6$ ) методом амосогласованного поля. Basch Harold, Moskovitz J., W. Hollister C., Hankin D. Self-consistent-field study of the series  $XeF_n$ ,  $n=2,4,6$ . «J. Chem. Phys.», 1971, 55, № 4, 1922—1933 (англ.)

Проведен расчет МО  $XeF_2$ ,  $XeF_4$  и  $XeF_6$  полным методом МО ССП Рутана с базисом из ГФ: для  $Xe 1s$  линейная комбинация (ЛК) из 6ГФ, для  $2s$  и  $3s$  из 3 ГФ, для  $4s$  из 2 ГФ и для  $5s$  из 3 ГФ, для  $2p$  из 4 ГФ, для  $3p$  и  $4p$  из 3 ГФ, для  $5p$  из 3 ГФ, для  $3d$  из 4 ГФ, для  $4d$  из 3 ГФ; для  $F 1s$  из 5 ГФ, для  $2s$  из 3 ГФ и для  $2p$  из 4 ГФ, причем эти АО проверены путем расчета орбитальных и полных энергий атомов. Приведены орбитальные энергии всех исследованных систем и состав валентных МО. Без учета энергии корреляции все фториды Хе нестабильны в отношении диссоциации на ато-

X-1971-2

+2



мы. Проведен анализ заселенностей по Малликену. Эффективные заряды на атомах Xe оценены в +1,304; +2,455 и +3,458 для  $XeF_2$ ,  $XeF_4$  и  $XeF_6$  при сравнительно постоянном заряде на F (-0,652; -0,614 и -0,576). Приведены заселенности отдельных АО и заселенности перекрывания. Обсуждены причины расхождений между вычисленными эффективными зарядами и величинами, оцененными на основании физ.-хим. исследований (ЯМР, ЯГР, ЭПР и т. п.). Найденные заселенности перекрывания отрицательны, но убывают в рассмотренном ряду по абр. величине. При этом верхние заполненные МО являются разрыхляющими, а не несвязывающими, как полагали ранее. Результаты расчета использованы для детальной интерпретации фотоэлектронных и оптич. спектров фторидов ксенона. Приведены вычисленные значения нек-рых одноэлектронных св-в молекул: средних значений  $g^2$ , тензора диамагнитного экранирования ядер Xe и F, квадрупольного момента  $XeF_2$  и  $XeF_4$ , компонент градиента поля у ядер.

М. Дяткина

Xefix,  
Xefix  
Xefix

Berkowitz J.  
at all

19H

J. Phys. Chem. 19H, 45,  
NID, 1461-#1

J

II

(Coll. Xefix) I

$\text{XeF}_2$   
 $\text{XeFg}^+$

XI 2603

1971

2 Б21. Фотоэлектронные спектры, возбужденные линиями He I и He II и электронное строение  $\text{XeF}_2$ ,  $\text{XeF}_4$  и  $\text{XeF}_6$ . Grundle C. R., Jones G. R., Basch H. He I and He II photoelectron spectra and the electronic structures of  $\text{XeF}_2$ ,  $\text{XeF}_4$ , and  $\text{XeF}_6$ . «J. Chem. Phys.», 1971, 55, № 3, 1098—1104 (англ.)

Электр.  
СПД-ИИ

Получены фотоэлектронные спектры  $\text{XeF}_2$ ,  $\text{XeF}_4$  и  $\text{XeF}_6$  с высоким разрешением при использовании излучения He I и He II. Приведены найденные адиабатич. и вертикальные потенциалы ионизации (ПИ)  $\text{XeF}_4$  и  $\text{XeF}_6$  до 28 эв (данные для  $\text{XeF}_2$  см. J. Chem. Phys. 1970, 52, 3383). Опытные данные сопоставлены с вычисленными

+2

X. 1972. 2



орбитальными энергиями (см. пред. реф.), умноженными на 0,92 (фактор, к-рый по мнению авторов, исправляет приближения теоремы Купменса). При этом дано след. отнесение найденных вертикальных ПИ к ионизации с MO:  $\text{XeF}_4$  13,1 эв ( $10 a_{1g}$ ), 13,4 ( $5a_{1g}$ ), 14,5 ( $5b_{1g}$ ), 15,1 ( $1 a_{2g}$ ), 15,4 ( $7e_u$ ), 15,8 ( $1b_{2u}$ ), 16,0 ( $3e_g$ ), 16,3 ( $3b_{2g}$ ), 17,9 ( $4a_{2u}$ ), 18,4? ( $6e_u$ ), 19,8 ( $9a_{1g}$ );  $\text{XeF}_6$  12,5 эв ( $8a_{1g}$ ), 15,2 ( $5e_g$ ), 16,0 ( $1t_{1g}$ ), 16,5 ( $7t_{2u}$ ), 17,1 ( $1t_{2u}$ ), 17,7 ( $3t_{2g}$ ), 20,0 ( $6t_{1u}$ ), 21,0 ( $7a_{1g}$ ) (отнесение MO для симметрии  $O_h$ ). Указаны возможные недостоверности нек-рых из этих отнесений. Согласие расчетных данных с опытом намного лучше, чем для результатов расчетов с ломо-  
щью полуэмпирич. методов.

М. Дяткина

XeF<sub>2</sub>,  
XeF<sub>4</sub>, XeF<sub>6</sub>

XI 26.03

1971

2 Д457. Фотоэлектронные спектры [при возбуждении линиями] HeI и HeII и электронная структура XeF<sub>2</sub>, XeF<sub>4</sub> и XeF<sub>6</sub>. Grundle C. R., Jones G. R., Basch H. HeI and HeII photoelectron spectra and the electronic structures of XeF<sub>2</sub>, XeF<sub>4</sub> and XeF<sub>6</sub>. «J. Chem. Phys.», 1971, 55, № 3, 1098—1104 (англ.)

По фотоэлектронным спектрам высокого разрешения измерены ионизационные потенциалы XeF<sub>2</sub>, XeF<sub>4</sub> и XeF<sub>6</sub> в области до 28 эв. Полученные результаты использованы совместно с энергиями орбиталей, рассчитанными методом самосогласованных MO, для отождествления структуры электронных орбиталей этих молекул. Приведена диаграмма корреляции рассчитанных и наблюдаемых потенциалов ионизации фторидов ксенона. Совпадение между экспериментом и расчетами хорошее. Библ. 21.

И. Дворников

6. 1972. 22

XeF<sub>2</sub>

XI 1844

1971

27914h Raman spectra for xenon difluoride, xenon tetrafluoride, and xenon tetrafluoride oxide. Tsao, Peter; Cobb, Carlee C.; Claassen, Howard H. (Chem. Div., Argonne Natl. Lab., Argonne, Ill.). *J. Chem. Phys.* 1971, 54(12), 5247-53 (Eng). Raman spectra of the vapor phase have been obsd. for XeF<sub>2</sub>, XeF<sub>4</sub>, and XeOF<sub>4</sub>. These, together with published ir spectra, provide vapor values for all but one of the 19 vibrational frequencies of these 3 mols. Normal coordinates and force consts. are detd. in terms of the orbital valency force field model, including repulsions between lone-pair electrons and F atoms.

Cleel. no 9

Pellatt -  
Cleel. 9

Cal. 1941 254

XeF<sub>2</sub>;

XI 1844

1971

XeF<sub>4</sub>

23 Б226. Спектры комбинационного рассеяния в газовой фазе XeF<sub>2</sub>, XeF<sub>4</sub> и XeOF<sub>4</sub>, и расчет силовых постоянных. Tsao Peter, Cobb Carlee C., Claassen Howard H. Raman spectra for XeF<sub>2</sub>, XeF<sub>4</sub>, and XeOF<sub>4</sub> vapors, and force constant calculations. «J. Chem. Phys.», 1971, 54, № 12, 5247—5253 (англ.)

Используя в кач-ве источника возбуждения криптонийный лазер, получены спектры КР в газовой фазе XeF<sub>2</sub> (I), XeF<sub>4</sub> (II) и XeOF<sub>4</sub> (III) при  $F=1$  атм и т-рах 90—100°. Для молекул I—III проведено отнесение основных колебаний. Для молекулы II рассчитана стандартная энтропия газа (324 дж·град<sup>-1</sup>·моль). Выполнен расчет нормальных колебаний молекул I—III в приближении модели орбитального валентного силового поля



X. 1971. 23



Юри—Бредли, включающего взаимодействие между свободной парой электронов и атомами фтора и взаимодействие между атомами кислорода и фтора. Показано, что приближение, согласно к-рому силовые постоянные Юри—Бредли связаны между собой соотношением  $F = -10F'$ , являющимся хорошим приближением для учета взаимодействия между атомами фтора, не является справедливым в случае учета взаимодействия свободная пара электронов — атом фтора и атомы кислород — фтор. Для молекул II и III приведены относит. смещения от положения равновесия в декартовых координатах и кориолисовы  $\zeta$ -постоянные, рассчитанные для вырожденных колебаний.

А. П. Курбакова

1972

 $\text{XeF}_2$ 

18 Б23. Комбинированный метод определения симметрии молекул  $\text{XeF}_2$ ,  $\text{KrF}_2$  и  $\text{JCl}_2^-$ . Андреев Ст. Комбинировано разглаждане симетрията на  $\text{XeF}_2$ ,  $\text{KrF}_2$  и  $\text{JCl}_2^-$ . «Годиши. Висш. хим.-технол. ин-т — София», 1968(1972), 15, № 5, 145—156 (болг.; рез. рус., англ.)

Показано, что в рамках метода максим. перекрываания для геометрич. конфигураций молекул  $\text{XeF}_2$ ,  $\text{KrF}_2$  и  $\text{JCl}_2^-$ , принадлежащих к двум различным точечным группам симметрии  $D_{\infty h}$  и  $C_{2v}$  ( $90^\circ$ ), величины перекрывания оказываются эквивалентными. В этом случае для установления истинной геометрии полезно использовать комбинированный метод, согласно которому из двух возможных молек. конфигураций с одинаковыми значениями максим. суммарного перекрывания валентных орбит лигандов и гибридных орбит центрального атома наиболее вероятной считается та, которая удовлетворяет условию миним. отталкивания связывающих (валентных) и неподеленных электронных пар. Для рассмотрен-

+2

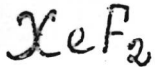
X

(+) структ  
обуз.

X.1973  
N 18

ных молекул, согласно комбинированному методу, более вероятной представляется конфигурация с симметрией  $D_{\infty h}$ .  
Ю. Удачин

1973



Empykt.

118589h Combination treatment of the molecular symmetry of xenon difluoride, krypton difluoride, and iodine dichloride ion. Andreev, S. (Bulg.). *God. Viss. Khimikotekhnol. Inst., Sofia* 1968 (Pub. 1972), 15(5), 145-56 (Bulg). The mol. symmetry in  $\text{XeF}_2$ ,  $\text{KrF}_2$  and  $\text{ICl}_2^-$  was treated by a method combining the Sidgwick-Powell approach (1940) and the max. overlap method (Volkov, et al., 1963); in such cases, the Sidgwick-Powell approach gave unreliable results. The calcns. indicated that roughly the same overlap was obtained by assuming  $D\infty h$  and  $C_{2v}(90^\circ)$  symmetries and that greater overlap was obtained in the case of  $C_{2v}(120^\circ)$  symmetry. T. Ordentlich

C.A. 1973, 79 n 20

+2



XI 3358

1973

$\text{XeF}_2$

$\text{XeF}_4$

спектр

(14 Б158.) Спектры фторидов ксенона  $\text{XeF}_2$  и  $\text{XeF}_4$  в дальней ультрафиолетовой области. Comes F. J., Haenel R., Nielsen U., Schwarz W. H. E. Spectra of the xenon fluorides  $\text{XeF}_2$  and  $\text{XeF}_4$  in the far uv region. «J. Chem. Phys.», 1973, 58, № 2, 516—529 (англ.).

В спектральной области 50—160 эв получены спектры поглощения  $\text{XeF}_2$  и  $\text{XeF}_4$  в газовой фазе и крист. состоянии ( $80^{\circ}\text{K}$ ). Спектры получены на установке с использованием 7,5 Гэв электронного синхротрона в кач-ве источника излучения, что позволило измерить форму линий поглощения в области 61—73 эв, предсказываемые полумприч. расчетами на основе однокентровой — одноэлектронной модели. На основании полученных результатов и сопоставления их с данными расчетов проведено отнесение наблюдавшихся линий к

X. 1973 N 14

переходам из  $4d$  и  $4p$  атомных орбиталей Xe на  $5p$ ,  $6d$ ,  $6p$  и  $7p$  уровня. Обнаружено, что спин-орбитальное расщепление молекулярного  $4d$  уровня немногим отличается от случая свободного атома. Впервые измерены расщепления внутренних уровней ксенона в поле лигантов, а также определены спин-орбитальные расщепления и расщепления в поле лигантов высших уровней. Установлено, что общая структура спектров  $\text{XeF}_2$  и  $\text{XeF}_4$  в газовой и тв. фазах практически идентична; что переход  $4d \rightarrow 5p$  в  $\text{XeF}_4$  соответствует динамич. эффекту Яна — Теллера и что в случае отвердевших газов линии поглощения, соотв-щие переходам Ридберга сильно размыты.

О. Г. Гаркуша

$\text{XeF}_2$   
 $\text{XeF}_4$

ХI 3358

1973

6 Д292. Спектры фторидов ксенона  $\text{XeF}_2$  и  $\text{XeF}_4$  в далекой УФ-области. Comes F. J., Haense T R., Nielsen U., Schwarz W. H. E. Spectra of the xenon fluorides  $\text{XeF}_2$  and  $\text{XeF}_4$  in the far uv region. «J. Chem. Phys.», 1973, 58, № 2, 516—529 (англ.)

( $\nu_i$ ) В области 50—160 эв исследованы спектры поглощения газообразных и твердых  $\text{XeF}_2$  и  $\text{XeF}_4$ . Линии поглощения в области 61—73 эв отнесены к переходам с  $4d$ - и  $4p$ -подоболочек Хе на уровне « $5p$ »,  $6s$ ,  $6p$ ,  $7p$ . Спин-орбитальное расщепление молекулярного уровня  $4d$  почти равно расщеплению для свободного атома. Наблюдалось расщепление уровней в поле лигандов. В переходе  $4d$ —« $5p$ » в  $\text{XeF}_4$  проявляется динамич. эффект Яна—Теллера. Линии поглощения ридберговских переходов сильно уширяются в спектрах твердых газов.

ф. 1973. № 6

1973

 $\text{XeF}_2$ 

13 Б98. Фотоэлектронные спектры  $\text{XeF}_2$  и  $\text{KrF}_2$  с возбуждением Не-II. De Cock R. L. Не II photoelectron spectra of  $\text{XeF}_2$  and  $\text{KrF}_2$ . «J. Chem. Phys.», 1973, 58, № 3, 1267—1268 (англ.)

Малоинтенсивные широкие полосы фотоэлектронного спектра  $\text{XeF}_2$  и  $\text{KrF}_2$  с энергией в районе 22 и 23 эв (РЖХим, 1970, 18Б121; 1972, 24Б149) ранее отнесены к МО  $9\sigma_g$  и  $7\sigma_g$   $\text{XeF}_2$  и соотв.  $\text{KrF}_2$ . Оценка потенциалов ионизации этих орбиталей по атомным орбитальным энергиям 5s-уровней и 4s-уровней Kr, связывающим и разрыхляющим вкладам 2p- и 2s-АО F, электростатич. Пт отрицательно заряженных атомов F показала, что энергия МО  $9\sigma_g$  в  $\text{XeF}_2$  и МО  $7\sigma_g$  в  $\text{KrF}_2$  равны соотв. ~27 и 30,5 эв. Сравнения Пт ионизации аналогичных

 $(\varepsilon_i)$ 

x. 1973. N 13

(+)

МО в ряде фторидов элементов 2- и 3-го периодов с энергиями соответствующих АО подтверждают проведенные оценки. Поэтому рассматриваемые полосы фотоэлектронного спектра интерпретируются как результат взаимодействия конфигурации, полученной при ионизации одного электрона, с конфигурацией, соответствующей многоэлектронному возбуждению.

Б. И. Нефедов

1973

XeF<sub>2</sub>

KrF<sub>2</sub>

7 Д321. Не II-фотоэлектронные спектры XeF<sub>2</sub> и KrF<sub>2</sub>. De Cock R. L. He II photoelectron spectra of XeF<sub>2</sub> and KrF<sub>2</sub>. «J. Chem. Phys.», 1973, 58, № 3, 1267—1258 (англ.)

С целью интерпретации Не II-фотоэлектронных спектров XeF<sub>2</sub> (I) и KrF<sub>2</sub> (II) вблизи 22 и 23 эв проведено рассмотрение факторов, влияющих на стабилизацию и дестабилизацию орбиталей Xe5 s и Kr4 s при образовании I и II. Показано, что преобладающими являются стабилизирующие факторы, смещающие молекулярные орбитали, которым ранее приписывались наблюдаемые спектры, за границы области их регистрации. Сделана попытка интерпретации наблюдаемых спектров на основе рассмотрения наблюдаемых электронных состояний XeF<sub>2</sub> с учетом конфигурационного взаимодействия.

П. Ш.

qd. 1973 № 7

$XeF_2$

Nakatseji Hiroshi

1973

реак.  
супрт.

"J. Amer. Chem. Soc"

1973, 95, N2, 354-61.

1) профиль масс-спектра бензоби.

2) взр. сопроводж.

(FeCl  $BFe_2$ ; III)

$XeF^+$ ,  $XeF_2$ ,  $XeF_4$ ,  $XeF_6$ , XI4327<sup>1974</sup>  
(кб. №ex. ракеты).

Чаркин О.Н., Рессондр А.Е., Зубов  
А.С., Касимовский Н.М.,

Ж. Структурн. Журнал, 1974, 15  
(3), 539-46

Ракетно-экспериментальных структур и  
соответствующих геометрий и испытательных  
условий методами

SCF LCAO MO.

(MO LCAO CCF)

C.A. 1974. 81 N18 44615w

10

(6)

*XeF<sub>2</sub>*

XI 4439

1974

22 Б36. Волновые функции для описания 4-электронной 3-центровой связи. Hargcourt Richard D., Hargcourt Alison. Wavefunctions for «4-electron, 3-centre» bonding units. «J. Chem. Soc. Faraday Trans.», 1974, Part 2, 70, № 4, 743—757 (англ.)

Проанализировано электронное строение электронно-избыточных систем путем модельного рассмотрения фрагмента, описываемого трехцентровой 4-электронной связью. Сопоставлены различные волновые функции, представляющие подобную связь (МО, ВС, неспаренных пространственных МО, функция повышенной валентности и т. д.). Проведены модельные расчеты XeF<sub>2</sub>, C<sub>3</sub>H<sub>5</sub><sup>-</sup>, NO<sub>2</sub><sup>-</sup>, HCO<sub>2</sub><sup>-</sup>. По резюме

*расчет*  
*Эл. строи.*

*х. 1974. № 3*

(+3)

☒

KrF<sub>2</sub>

Howard Wilmost J. 1974

(ii)

X45 - Y985

J. Am. Chem Soc 1974,  
96(26) 7864-8 (eng)

(an KrF<sub>2</sub>; III)

XeF<sub>2</sub>

ЗБ30. Релятивистские волновые функции молекул XeF<sub>2</sub>. Rosén A., Ellis D. E. Relativistic molecular wavefunctions: XeF<sub>2</sub>. «Chem. Phys. Lett.», 1974, 27, № 4, 595—599 (англ.)

Дискретный вариац. метод (ДВМ), развитый ранее для нерелятивистского гамильтониана Хартри — Фока — Слейтера (ХФС), расширен на случай гамильтониана Дирака со слейтеровским обменным потенциалом (ДС). Проведен расчет ДВМ линейной молекулы XeF<sub>2</sub> как с гамильтонианом ХФС, так и с ДС (значение обменного параметра  $\alpha$  выбрано равным 0,70). Миним. базис численных четырехкомпонентных волновых функций получен из атомных волновых функций ДС. Расчет выполнен без самосогласования, но уровни, вычисленные с применением концепции переходного состояния, согласуются с

(u, n, ε)

XI 43.02

эксперим. значениями вертикальных ПИ значитель-  
лучше (отклонение  $<2$  эв для всех валентных уровней),  
чем результаты неэмпирич. расчета методом МО ЛКАО  
ССП в гауссовом базисе. Оба расчета ДВМ дают близ-  
кие результаты — разница орбитальных энергий в боль-  
шинстве случаев не превышает 0,5 эв. Полученные в ре-  
лективистском расчете значения спин-орбитального рас-  
щепления составили 0,8 эв для уровня  $5\pi_u$  (эксперим.  
значение 0,5 эв, для  $5p$ -уровня свободного атома Xe —  
1,5 эв) и 0,15 эв (0,4 эв) для уровня  $4\pi_u$ . Энергии  
первых разрешенных переходов получены равными 7,4 и  
8,4 эв (эксперимент — 5,3 и 7,9 эв). Эти отклонения от  
эксперимента объясняются тем, что расчет проведен без  
самосогласования.

М. Гофман

хб.  
он

144  
XeF<sub>2</sub>  
V 1 Д139. Релятивистские молекулярные волновые  
функции: XeF<sub>2</sub>. Rosén A., Elllis D. E. Relativistic mo-  
lecular wavefunctions: XeF<sub>2</sub>. «Chem. Phys. Lett.», 1974,  
27, № 4, 595—599 (англ.)

Дискретным вариационным методом проведен расчет  
вертикальных значений вертикальных энергий ионизации молекулы XeF<sub>2</sub> при  $R(\text{Xe}-\text{F})=2,00 \text{ \AA}$ . Пробная волн.  
ф-ция представлялась в виде линейной комбинации ф-ций  $\chi_i(r)$  — симметризованных комбинаций 4-компонентных  
ф-ций, центрированных на каждом атоме. Вычисление  
молекулярных интегралов  $H_{ij} = \langle \chi_i | H | \chi_j \rangle$  с гамильтонианом Дирака  $H$  проведено численным интегрирова-  
нием, причем значения  $\chi_i(r)$  в узлах сетки получены  
интерполяцией табулированных атомных ф-ций. Потен-  
циал в  $H$  записан в приближении метода типа ССП Ха.  
Приведены значения орбитальных энергий валентной  
оболочки, вычисленные как в релятив., так и нерелятив.  
вариантах метода и дано их сравнение с эксперим. вели-  
чинами вертикальных энергий ионизации. Наилучшее  
согласие с эксперим. величинами достигнуто при введе-  
нии «переходных состояний», отличающихся от обычных  
состояний тем, что число заполнения орбитали, с кото-  
рой происходит ионизация, принимается равным 1/2.

Н. Ф. Степанов

моделир.  
вой. сущ

XI 43 02

Ф. 1975  
N 1

октябрь 2564

1974

XeF<sub>2</sub>

X-4302 Gunnison 2564

129091g Relativistic molecular wave functions. Xenon di-fluoride. Rosen, A.; Ellis, D. E. (Dep. Mater. Sci., Northwest. Univ., Evanston, Ill.). *Chem. Phys. Lett.* 1974, 27(4), 595-9 (Eng). A new method is presented to calc. binding energies and eigenfunctions for mols. by using the relativistic Dirac Hamiltonian. A numerical basis set of 4 component wave functions was obtained from atom-like Dirac-Slater wave functions. A discrete variational method was developed and applied to the linear XeF<sub>2</sub> mol.

*kb. next  
packet.*

C.A.1974 81.V20

$XeF_2$

XI - 4583

1974

$XeF_4$

$XeOF_4$

$XeO_3$

eq. mass.

hexagonal, crystal.

C. A. 1975, 22, n6

✓ 37004y Xenon-129 NMR spectra of xenon compounds. I.  
Simple xenon derivatives. Seppelt, K.; Rupp, H. H. (Anorg.-  
Chem. Inst., Univ. Heidelberg, Heidelberg, Ger.). *Z. Anorg. Allg.  
Chem.* 1974, 409(3), 331-7 (Ger). In the study of the  $^{129}Xe$ -NMR  
spectra of simple Xe compds., the spectra of Xe,  $XeF_2$ ,  $XeF_4$ ,  
 $XeOF_4$ , and  $XeO_3$  were found to agree with the known structures  
whereas  $XeF_6$  was found as  $Xe_4F_{24}$  in inert soln. at low temps.  
The coupling consts. vary between 330 Hz for  $Xe_2F_{24}$  and 5550 Hz  
for  $XeF_2$ .

*XeF<sub>2</sub>*

11 Б60. Электронная корреляция и устойчивость дифторида ксенона. Bagus Paul S., Liu Bowen, Liskow Dean H., Schaefer Непгу F., III. Electron correlation and the reality of xenon difluoride. «J. Amer. Chem. Soc.», 1975, 97, № 25, 7216—7219 (англ.)

1975

*Энергия  
диссоц.  
хем.  
расч.*

С целью выяснения возможностей определения энергии диссоциации молекул типа  $\text{XeF}_2$ , теор. методами, выполнен неэмпирич. расчет электронного строения этой молекулы. В кач-ве базиса использован набор функций слейтеровского типа, близкий к двухэкспонентному базисному набору с включением поляризац. функций 5 d и 4 f для Xe и 3 d и 4 f для F. Исследованы 4 типа волновых функций, отличающихся разным числом учитываемых конфигураций: 1) 2-конфигурац. функция, к-рая при  $R \rightarrow \infty$  переходит в три функции ССП атомов F, Xe, F; 2) 8-конфигурац. функция, к-рая включает возбужденные конфигурации, образующиеся при переносе электронных пар со всех заполненных МО валентной оболочки на единственную вакантную MO 7 σ; 3) волновая функция 1-го порядка (РЖХим, 1973, 5Б24), включающая кроме описанных выше все конфигурации, где только один электрон может занимать MO, расположенные за пределами валентной оболочки (всего 992 конфигурации); 4) наиболее пол-

3460

011.

Х 1976

№ 11

ная 1234-конфигурац. волновая функция, в к-рой по сравнению с функцией 3 добавлены конфигурации, возникающие от двойных возбуждений электронов с MO 10  $\sigma_g$  (одноконфигурац. волновая функция ССП вообще не рассматривалась). Для всех типов волновых функций построены потенциальные кривые, определены равновесные расстояния, энергии диссоциации, для 2-конфигурац. функции приведены энергии и состав MO (по данным анализа заселенностей) при  $R=3,8$  ат. ед.

Потенциальная кривая, полученная с 2-конфигурац. функцией имеет минимум и максимум, однако минимум расположен выше, чем суммарная энергия изолированных атомов; более полные многоконфигурац. функции 3 и 4 приводят к энергиям диссоциации 1,97 и 2,14 эв, соответственно, что составляет 71 и 77% от эксперим. значения (2,78 эв). Все четыре волновые функции хорошо воспроизводят равновесную длину связи Xe—F. Как и в случае KrF<sub>2</sub>, хим. связь в XeF<sub>2</sub> при расстояниях, близких к равновесным, лучше всего описывается моделью Коулсона ( $F\text{Xe}^+ \text{F}^- \rightleftharpoons \text{F}^- \text{Xe}^+ \text{F}$ ). Суммарная заселенность 5d-AO Xe составляет  $\sim 0,26$ , 4f-AO  $\sim 0,04$  и на этом основании сделан вывод, что d-AO в молекуле XeF<sub>2</sub> играют роль поляризаци. функций, а не реальных вакантных d-AO Xe.

ammick 3760

1975

# XeF<sub>2</sub>

4) 84: 9130j Electron correlation and the reality of xenon difluoride. Bagus, Paul S.; Liu, Bowen; Liskow, Dean H.; Schaefer, Henry F., III (Res. Lab., IBM, San Jose, Calif.). *J. Am. Chem. Soc.*, 1975, 97(25), 7216-19 (Eng). The electronic structure of XeF<sub>2</sub> was studied using ab initio theor. methods. The primary goal was to det. whether current theor. methods are capable of yielding a reasonable value of the dissoen. energy of XeF<sub>2</sub>. A Slater function basis set of slightly better than "double  $\zeta$  polarization" quality was employed. Four different types of wave functions were investigated: 2-configuration SCF, full valence CI, the 1st order wave function, and a larger 1234 configuration wave function including all double excitation from 10 $\sigma_g$  orbital. Although the TCSCF symmetric stretching potential curve has both a min. and max., the min. lies above the comparable energy of sepd. Xe + 2F. However, the 2 most complete wave functions predict dissoen. energies of 1.97 and 2.14 eV, in qual. agreement with expt., 2.78 eV. All 4 wave functions provide good predictions of the Xe-F equil. bond distance. As was the case for KrF<sub>2</sub>, the bonding in XeF<sub>2</sub> is found to conform quite closely to Coulson's model F-Xe<sup>+</sup>-F ⇌ F-Xe<sup>+</sup>-F near the equil. geometry. The role of the "outer orbitals" 5d and 4f appear to be a quant. rather than a qual. one.

do, min

C.R. 1976. 84  
n2

XeF<sub>2</sub> (param m.p.), D<sub>0</sub>) 1975

Bagus P. S., Liu B, Liscow D.H.,  
Schaefer H.F.; III,

J. Amer. Chem. Soc., 1975, 97, n25,  
7216-7219 (austr).

Electron correlation and the elec-  
tricity of xenon difluoride.

Rugby, 1976, 5D165

10

(P)

1975

*XeF<sub>2</sub>*

5 Д165. Элкетронная корреляция и реальность дифторида ксенона. Bagus Paul S., Liu Bowen, Liskow Dean H., Schaefer Henry F., III. Electron correlation and the reality of xenon difluoride. «J. Amer. Chem. Soc.», 1975, № 25, 7216—7219 (англ.)

*хб. нест.  
растен.*

Проведен неэмпирич. расчет электронной структуры и свойств молекулы XeF<sub>2</sub>. В расчете использовано 4 различных приближения: приближение ССП с двухконфигурац. ф-цией; конфигурац. взаимодействие (КВ) с включением всех валентных конфигураций, КВ с включением лишь одновозбужденных орбиталей и полное КВ, включавшее 1234 конфигурации. Базис

φ. 1976 № 5

состоял из 95 слэтеровских ф-ций  $s$ -,  $p$ -,  $d$ - и  $f$ -типов. Во всех приближениях построены потенц. кривые симметричной диссоциации  $\text{XeF}_2$  на  $\text{Xe} + 2\text{F}$ . В случае использования двухконфигурац. ф-ций и метода ССП полученная потенц. кривая не предсказывает существования термодинамического стабильного состояния молекулы дифторида ксенона. Более точный расчет в приближении КВ дает связное состояние с энергией диссоциации 2,14 эв, что хорошо согласуется с эксперим. значением 2,78 эв. Обсуждена также природа химич. связи в молекуле  $\text{XeF}_2$  на основе выполненного по Малликену анализа заселенностей.

Б. И. Жилинский

*XeF<sub>2</sub>*

1975

5 Г633. Синтез XeF<sub>2</sub> в импульсном разряде высокого давления. Legasov V. A., Orlinsky D. V.  
Synthesis of XeF<sub>2</sub> by a high pressure pulsed discharge.  
«Proc. 12th Int. Conf. Phenomena Ionized Gas., Eindhoven, 1975. Part 1. Contr. pap.» Amsterdam e. a., 1975, 205 (англ.)

*Синтез  
в разряде*

Газообразные Xe и F<sub>2</sub> синтезировались в цилиндрической разрядной камере (диаметр 15, высота 6 см), выполненной в виде трехэлектродного разрядника. Давление смеси F<sub>2</sub> и Xe не превышало 20 атм. Амплитуда разрядного тока 50 ка, частота изменения тока 70 кгц. При разряде в течение первой микросекунды скорость ударной волны  $7 \cdot 10^4$  см/сек, что соответствует т-ре газа непосредственно за ее фронтом 1000°К и приводит к протеканию реакции синтеза. Разряд инициирует реакцию при давлении смеси в камере более 6 атм. А. В. Т.

9.1977. №5

XeF<sub>2</sub>

ommick 4913

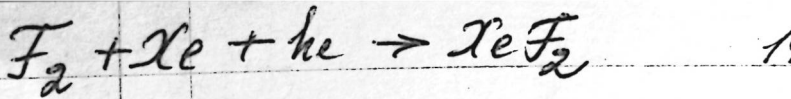
1976

Andrews Lester

(one step  
approx. mod.)

Appl. Spectrosc. Rev. 1976,  
11, N1, 125-61.

(all OT, III)



1976

85: 134149u Problem of the quantum yield of xenon difluoride Artyukhov, A. A.; Legasov, V. A.; Makeev, G. N.; Chaivanov, B. B. (USSR). *Khim. Vys. Energ.* 1976, 10(4), 380-1. (Russ). The dependence of the quantum yield of  $XeF_2$  on the pressure, in the 15-230 torr region, for equal Xe and F mol. concns., was investigated at  $-78^\circ$  in a stainless steel cuvette with fluorite windows. A Hg-arc lamp was the light source. (The  $XeF_2$ -formation quantum yield at low pressures (15-30 torr) is  $>1$ , with the  $F_2 + Xe + h\nu \rightarrow XeF_2$  reaction occurring by the chain mechanism.)

A. Fuchs

C.A. 1976 85 N18

XeF<sub>2</sub>

1976°

Burdett J.K.

Struct. and Bond. 31  
Berlin, L.O., 1976, 67-105.

(act. BeF<sub>2</sub>, III)

$\text{XeF}_2$

745-12851

1976

$\text{XeF}_4$

(?y)

85: 38872d The VUV spectra of the xenon fluorides. Nielsen,  
U.; Schwarz, W. H. E. (Inst. Experimentalphys., Univ. Kiel,  
Kiel, Ger.). *Chem. Phys.* 1976, 13(3), 195-202 (Eng).  
The absorption spectra (6-35 eV) of gaseous  $\text{XeF}_2$ ,  $\text{XeF}_4$ , and  
 $\text{XeF}_6$  were accurately measured with the use of synchrotron  
radiation. The vibrational structure of several Rydberg transitions  
could be resolved. The spectra are interpreted and most of the  
structures could be assigned. From these data, information  
about the ionized species is obtained. The assignment of the  
first two ionization potentials of  $\text{XeF}_4$  is corrected.

Bakggård,

y. gp. creusop.

(+1)



C.A. 1976 85 n 6

*XeF<sub>2</sub>*

\*У-12851

1976

*XeF<sub>4</sub>*

*XeF<sub>6</sub>*

*спектры поглощ.*

9 Д286. Спектры поглощения фторидов ксенона в вакуумной УФ-области. Nielsen U., Schwarz W. H. E. VUV spectra of the xenon fluorides. «Chem. Phys.», 1976, 13, № 3, 195—202 (англ.)

Спектры поглощения газообразных  $\text{XeF}_2$ ,  $\text{XeF}_4$  и  $\text{XeF}_6$  в области энергий 6—35 эв получены с помощью излучения синхротрона DESY при разрешении 1 Å. В спектрах разрешена колебательная структура ридберговских переходов, позволяющая сделать заключения о соответствующих состояниях ионов. Данная авторами интерпретация двух первых потенциалов ионизации молекулы  $\text{XeF}_4$  отличается от ранее предложенной. Библ. 20.

В. С. Иванов

9 1976 № 9

*XeF<sub>2</sub>*  
17 Б159. Спектры фторидов ксенона в вакуумной  
УФ-области. Nielsen U., Schwarz W. H. E. VUV  
spectra of the xenon fluorides. «Chem. Phys.», 1976, 13,  
№ 3, 195—202 (англ.)

1976

13-1285

*XeF<sub>4</sub>*  
*XeF<sub>6</sub>*  
*спектр*  
В области 6—35 эв с высоким разрешением (10 мэв при 10 эв) измерены спектры поглощения газ. ди-, тетра- и гексафторидов ксенона. В спектрах выделены несколько областей соотв-щих переходам различного типа: запрещенным валентным переходам (слабые полосы 5,4 эв — XeF<sub>2</sub>, 4,8, 5,4 эв — XeF<sub>4</sub>, 3,6 эв — XeF<sub>6</sub>), разрешенным валентным переходам (сильные полосы 7,85 эв — XeF<sub>2</sub>, 6,65, 9,32 эв — XeF<sub>4</sub> и 10,1 эв — XeF<sub>6</sub>), ридберговским переходам (12,4, 12,9, 13,6 эв — XeF<sub>2</sub>, 13,1, 13,4 эв — XeF<sub>4</sub>, 12,4 эв — XeF<sub>6</sub>), а также переходам, связанным с ионизацией и диссоциацией молекул. Проведен анализ колебательной структуры нек-рых ридберговских переходов. Для XeF<sub>2</sub> определены колебательные постоянные  $v_1'$  и  $v_2'$  (в мэв) и  $|\Delta R|$  (в мА): 66, 9, 50 ( $\pi_{3/2}$ —6s); 65, —, 50 ( $\pi_{3/2}$ —7s, 8s); 65, 25 60 ( $\pi_{3/2}$ —5d); 60, —, 55 ( $\pi_{3/2}$ —6d); 62, 13, 25 ( $\pi_{1/2}$ —6s); 60, 25, 35 ( $\pi_{1/2}$ —5d). Для основного состояния  $v_1''=63,8$ ,  $v_2''=26,4$  мэв. Получены данные по потенциалам ионизации рассматриваемых молекул.

В. М. Ковба

Х. 1976

NIF

$\text{R}_\text{e} F_2$

Pauling Linus.

1976.

max.

recip.

"Proc. Nat. Acad. Sci USA"

1976, 73, N<sup>o</sup> 5; 1403-1405 (ann)

(au  $\text{TF}_4$ ; III)

61206.4321

Ch, TC

40892

1976

XeF<sub>2</sub><sup>+</sup> (помещ.)

43-15625

Sidon G.D., Tiernan T.O. Dissociative electron attachment in xenon difluoride. "J.Chem.Phys.", 1976, 65, N 8  
3392-3393 (англ.)

0760 пнж

739.746

ВИНИТИ

61206.4321

Ch, TC

40892

XeF<sub>2</sub> (номенц.  
днешг.)

1976

ХГ-15624

Sidoo G.D., Tiernan T.O. Dissociative electron attachment in xenon difluoride. "J.Chem.Phys.", 1976, 65, N 8  
3392-3393 (англ.)

0760 пик

739 746

ВИНИТИ

$X \in F_2$

Семёнов А. Е.

1976

распр.  
технр.  
структур

(Редколлегия „М. физ. хими“  
АН СССР) сб., 1976, 91 с.  
Библиогр. 9 нацв. (Рукопись  
док. В Бакину 20 окт. 1976г.  
№ 3686-76 Ден)

● (all  $\lambda \in F$ ; II)

XeF<sub>2</sub>

Ault Bruce S. et al 1977

"J. Chem. Phys." 1977,  
66, N8, 2786-2788 (a.u.s)  
(au XeF; II)

symmetric 336.3 $\text{\AA}$   
to magnetic field

Si

1984

XeF<sub>2</sub>

Laser

88: 128790s Laser action due to  $B(1/2)-X^2\Sigma^+$  transition in the xenon monofluoride molecule under xenon difluoride photodissociation. Basov, N. G.; Zuev, V. S.; Mikheev, L. D.; Stavrovskii, D. B.; Yalovoi, V. I. (Fiz. Inst. im. Lebedeva, Moscow, USSR). *Kvantovaya Elektron. (Moscow)* 1977, 4(11), 2453 (Russ). Laser action was achieved due to the  $B(1/2)-X^2\Sigma^+$  transition in the XeF mol. under photodissocn. of XeF<sub>2</sub> by the vacuum UV radiation of an open high-current discharge in the mixt. of XeF<sub>2</sub>-N<sub>2</sub>-Ar. The duration of the laser action was  $\sim 2 \mu\text{s}$ , the energy was  $\sim 10^{-3} \text{ J}$ .

C.A. 1988, 88, N18

XeF<sub>2</sub>  
Xe F  
(possibly)

LOKUM 5285

1977

Brashears Jr. H.C.  
et al.

Chem. Phys. Lett., 1977,  
48, N1, 84-8

Kef<sub>2</sub>

X-4 -18922  
Falconer W.E. et al 1977

"J. Chem. Phys.",

1977, 66, N 12, 5335-5338.

акогуанс.

в синек.

пурпур



(ces. KRF<sub>2</sub>) III

*XeF<sub>2</sub>*

*Э. Скотт  
Симонс*

(44) □

*X<sub>2</sub>, CH<sub>4</sub>, H<sub>2</sub>O, CO<sub>2</sub>, C<sub>2</sub>H<sub>5</sub><sup>+</sup>*

17 A25. Новый наглядный подход к преподаванию концепции молекулярных орбиталей в полиатомных молекулах. Hoffman D. K., Ruedenberg K., Vergkade J. G. A Novel Pictorial Approach to Teaching MO Concepts in Polyatomic Molecules. «J. Chem. Educ.», 1977, 54, № 10, 590—595 (англ.)

1977

С целью устранения фрагментарности и недостаточной систематичности преподавания концепции связывающих MO многоатомных молекул, разработан полусистематический курс лекций по теории хим. связи, читающийся студентам-химикам во 2-м семестре 1-го года обучения. В 1-й ч. этого курса студенты на качественном уровне знакомятся с основными фундаментальными концепциями: волновой природой электронов, квантовыми числами, формой и элементами симметрии AO, образованием гибридных AO линейной комбинацией катионич. AO. Вторая часть курса полностью посвящена рассмотрению электронного строения ряда молекул ( $XeF_2$ ,  $CH_4$ ,  $H_2O$ ,  $CO_2$ ,  $C_2H_5^+$  и др.) и построению энергетич. диаграмм их AO и MO. При этом используются только св-ва симметрии орбиталей. Колич. расчеты не проводятся. Чтобы подчеркнуть эквивалентность описания связи в терминах локализованных и делокализованных MO, для каждой молекулы строится система из делокализованных и гибридизованных MO.

М. Я. Френчад

70412.6621

96201

1977

Ch, Ph, TC, MGU

 $XeF_2$ 

45-17784

Velazco J.E., Kolts J.H., Setser  
 D.W., Coxon J.A. Excitation of  $XeF^*$  by  
 reactions of  $XeF_2$  with  $Ar(^3P_{0,2})$ ,  
 $Kr(^3P_2)$  and  $Xe(^3P_2)$ .

"Chem. Phys. Lett.", 1977, 46, N 1,  
 99-106 (англ.)

8251 вик.

822 823842 (см.  $XeF_2$ ) викити

$\text{ReF}_2$

Lommel 8309 | 1978

Ensiykkäystä

Anderson S.

Moscou

Acta crystallogr.,  
1978, B35, 1321-29

1978

 $XeF_2$  $XeF_4$ 

Yuccafelis  
Cucurbit.  
virescens

(+)

Omniscor 6592

88: 200597d Gas-phase ESCA studies of valence and core levels in xenon difluoride and xenon tetrafluoride. Bancroft, G. M.; Malmquist, P. A.; Svensson, S.; Basilier, E.; Gelius, U.; Siegbahn, K. (Dep. Chem., Univ. Western Ontario, London, Ont.). *Inorg. Chem.* 1978, 17(6), 1595-9 (Eng). Using monochromatized  $Al\ K_{\alpha}$  radiation, a detailed gas-phase ESCA study was made of the valence levels and  $Xe\ 3d$  and  $4d$  core levels in  $XeF_2$  and  $XeF_4$ . The valence band peaks were assigned to the MO previously calcd. Several previous exptl. and theor. assignments are incorrect. Agreement is generally good between the obtd. positions and intensities and the calcd. values. The obtd. broadening of the compd.  $Xe\ 3d$  and  $4d$  peaks (relative to the corresponding  $Xe$  gas peaks) is due to the  $C_3v$  nsym. term in the ligand field expansion. The broadening of the  $4d$  levels of  $0.12 \pm 0.02$  eV ( $XeF_2$ ) and  $0.19 \pm 0.02$  eV ( $XeF_4$ ) leads to a  $4d_{3/2}$  splitting of  $0.33 \pm 0.04$  eV ( $XeF_2$ ) and  $0.40 \pm 0.04$  eV ( $XeF_4$ ).

C.A. 1978, 88, N26

These values are in excellent agreement with the  $d_{3/2}$  splittings derived in previous absorption studies. The derived  $C_2^0$  terms [ $+0.041 \pm 0.004$  eV ( $\text{XeF}_2$ ) and  $-0.045 \pm 0.004$  eV ( $\text{XeF}_4$ )] are also in excellent agreement with those previously detd. The av.  $3d_{3/2}$  splitting of  $0.18 \pm 0.06$  eV and a  $|C_2^0|$  value of  $0.021 \pm 0.006$  eV. These are in good agreement with the normalized theor. values. The anomalous electron spectrum in the  $4s-4p$  range changes upon fluoridization. Similar effects are seen when the nuclear charge is changed and can be qual. explained in terms of the energy difference between doubly ionized states and the unperturbed  $4p$  hole state.

1978

XeF<sub>2</sub>  
XeF<sub>4</sub>

24 Б151 Рентгеноэлектронное изучение валентных и  
внутренних уровней XeF<sub>2</sub> и XeF<sub>4</sub> в газовой фазе.

Bancroft G. M., Malmquist F.-A., Svensson S., Basilier E., Gelius U., Siegbahn K.  
Gas-phase ESCA studies of valence and core levels in  
XeF<sub>2</sub> and XeF<sub>4</sub>. «Inorg. Chem.», 1978, 17, № 6, 1595—  
1599 (англ.)

реактивы  
спектр.

(+)

(Па)  
1,74

х. 1978, N24

С использованием монокроматизированного  $\text{Al}K_{\alpha}$ -излучения исследованы рентгеноэлектронные спектры валентных и внутренних уровней  $\text{XeF}_2$  и  $\text{XeF}_4$  в газовой фазе. Проведена интерпретация спектра валентных уровней и исправлены ошибки в предшествующих интерпретациях спектров. Рассчитанные относительные интенсивности валентных уровней хорошо согласуются с экспериментальными. Расширение линий  $\text{Xe}4d$  на 0,12 эВ в  $\text{XeF}_2$  и 0,19 эВ в  $\text{XeF}_4$  по сравнению с Xe указывает на расщепление  $\text{Xe}4d_{3/2}$  уровня на 0,33 эВ в  $\text{XeF}_2$  и 0,40 эВ в  $\text{XeF}_4$ . Это расщепление объяснено наличием компоненты  $C_2^{\circ}$  в потенциале поля лигантов в этих молекулах. Оценки на основе наблюдаемых уширений линий для этой компоненты согласуются с предварительными определениями. Зависимость спектра в районе оболочек  $\text{Xe}4sp$  от числа атомов F в молекуле качественно объяснено в рамках изменения энергий дважды ионизированного состояния и невозмущенного  $\text{Xe}4p$ -состояния по мере увеличения числа атомов F в ряду  $\text{Xe} \rightarrow \text{XeF}_2 \rightarrow \text{XeF}_4$ .

В. И. Нефедов

XeF<sub>2</sub>

(M, n)

B99-X1-6111

omnibus 6640

1948

89: 206704d Pure rotational Raman spectrum of xenon difluoride. Brassington, Nigel J.; Edwards, Howell G. M.; Long, Derek A. (Sch. Chem., Univ. Bradford, Bradford, Engl.). *J. Chem. Soc., Faraday Trans. 2* 1978, 74(7), 1208-13 (Eng). The pure rotational Raman spectrum of XeF<sub>2</sub> was recorded photog. with a reciprocal linear dispersion of 1.4 cm<sup>-1</sup>mm<sup>-1</sup> and analyzed to give an Xe-F bond length 197.91 pm and rotational consts.  $B_0 = 0.11327 \text{ cm}^{-1}$  and  $10^8 D_0 = 2.1 \text{ cm}^{-1}$ . Reasons for the discrepancy between this and an IR-derived value for  $B_0$  were discussed..

C.A. 1948, 89, N24

*XeF<sub>2</sub>*

отмечена 6640

1978

1 Д373. Вращательный спектр комбинационного рассеяния XeF<sub>2</sub>. Brasington N. J., Edwards H. G. M., Long D. A. Pure rotational Raman spectrum of XeF<sub>2</sub>. «J. Chem. Soc. Faraday Trans.», 1978, Part 2, 74, № 7, 1208—1213 (англ.)

Получен вращательный спектр комб. рас. XeF<sub>2</sub>, приготовленного облучением газовой смеси Xe — F при 325° К. Спектр возбужден линией 488 нм лазера Ar<sup>+</sup> мощностью 1,5 вт. Использована фотографич. регистрация, разрешение составляло 0,15 см<sup>-1</sup>. Приведены частоты линий, определенные с точностью 0,005 см<sup>-1</sup>. По частотам 162 линий ветвей O и S определены вращательные постоянные  $B_0$  и  $D_0$  с точностью, превосходящей прежние результаты исследования ИК-спектра. Вычислена длина связи XeF.

М. Тонков

*М.Н.*

*РД-Х/-6111*

*Ф. 1949, № 1*

Эксперимент 6640

1978

XeF<sub>2</sub>

М.Н.

B-P - X1-6111

3 Б208. Чисто вращательный спектр комбинационного рассеяния XeF<sub>2</sub>. Brasington N. J., Edwards H. G. M., Long D. A. Pure rotational Raman spectrum of XeF<sub>2</sub>. «J. Chem. Soc. Faraday Trans.», 1978, Part 2, 74, № 7, 1208—1213 (англ.)

Получен чисто вращательный спектр КР XeF<sub>2</sub> при т-ре 325° К. Спектр возбуждали линией 488,0 нм Аг<sup>+</sup>-лазера мощностью 1,5 вт и регистрировали на спектрометре с линейной дисперсией 1,4 см<sup>-1</sup>/мм, точность определения положения линий ±0,005 см<sup>-1</sup>. Из анализа полученных данных рассчитаны значения вращательных постоянных  $B_0$ ,  $D_0$  и оценена длина связи  $r_0$ . Значения  $B_0$  и  $r_0$  определены с более высокой точностью, чем это было сделано ранее по ИК-спектрам, при этом расхождение значений  $B_0$  превосходит ошибки измерений. Расхождение обусловлено, по-видимому, тем что ИК-спектр в области «горячей» 01<sup>2</sup>1←01<sup>1</sup>0-полосы слаб и нахождение положения максимумов полос затруднено.

А. В. Бобров

2.1979, № 3

XeF<sub>2</sub>

1978

Brassington N.Y. et al

Proc. Int. Conf. Raman

uv-vis spaux.  
u колед. вспых.  
спектр  
спектр  
250 - 1

Call O<sub>2</sub> ; iii.

1978

XeF<sub>2</sub>

построен  
издание  
фотоиздания

2

11 Б29. Конструирование наилучших гибридных орбиталей XeF<sub>2</sub> и XeF<sub>4</sub> методом максимального перекрытия. Petíkáň P., Valko L. Konstrukcia najlepších hybridných orbitálov XeF<sub>2</sub> a XeF<sub>4</sub> metódou maximalného prekryvu. «Zb. pr. Chemickotechnol. fak CVST, 1975—1976». Bratislava, 1978, 15—20 (словац.; рез. рус., нем.)

Построены наилучшие гибридные орбитали атома Xe в молекулах XeF<sub>2</sub> и XeF<sub>4</sub>. При расчете применялось условие максим. перекрывания. Результаты расчета находятся в хорошем согласии с эксперим. значениями и позволяют интерпретировать нек-рые физ. и хим. св-ва приведенных молекул.

Автореферат

Х.1949, N11

$XeF_2$

1979

Black G.

специф  
испускаем

Gov. Rep. Announce. Index  
(U.S.), 1979, 79(26), 149.

(See  $XeF$ ; III)

Omnibus 9019

10/73

XeF<sub>2</sub>)

check  
- b. verified

92: 31900x Photodissociation of xenon difluoride in solid xenon and krypton. Monahan, K. M.; Jones, V. O.; Rehn, V. (Michelson Lab., Nav. Weapons Cent., China Lake, CA 93555 USA). *J. Chem. Phys.* 1979, 71(6), 2360-5 (Eng). Time-resolved photoluminescence excitation (TREX) spectra of XeF<sub>2</sub> (1%) in solid Kr and Xe were obtained by exciting with synchrotron radiation in the vacuum-UV region. The emission was due to XeF photofragments in the D and B excited states. The TREX data thus provide the 1st relative photodissocn. yield measurements on XeF<sub>2</sub> as a function of exciting photon energy. In addn., cage forces in solid Kr and Xe sufficiently modify 1 of the excited state potential surfaces to permit observation of a new band system in XeF<sub>2</sub> which is tentatively identified as an allowed  $^1\Pi_u \leftarrow ^1\Sigma_g$  transition. In solid Kr, the bands are located at 7.88, 8.07, 8.25, 8.44, 8.61, and 8.77 eV. Observation of these bands in TREX spectra provides substantial support for the linear triat. dissocn. models recently proposed by E. J. Heller (1978) and R. T. Pack (1976).

Digital!

C.A. 1980, 62, 114

$XeF_2$

Lommel 84801

1979

Szentpály L

(3)

Theor. chim. acta, 1979,  
52, 274 - 301.

Molecular Model Potential  
Combination of Atomic Boxes

1979

*XeF<sub>2</sub>*

2 Б155. Теоретическое и экспериментальное исследование сателлитов монопольного возбуждения в рентгеноэлектронных спектрах основных уровней Xe в XeF<sub>2</sub>.

Tse J. S., Bristow D. J., Bancroft G. M., Schrobilgen G. Theoretical and experimental shake-up studies on the Xe core level ESCA of XeF<sub>2</sub>. «Inorg. Chem.», 1979, 18, № 7, 1766—1771 (англ.)

Проведены измерения сателлитов монопольного возбуждения в рентгеноэлектронных 3d- и 4d-спектрах Xe в молекуле XeF<sub>2</sub>. Методом ССП-X<sub>α</sub> рассеянных волн в приближении перекрывающихся атомных сфер рассчитано электронное строение основного и дырочного (3d-ионизация Xe) состояний XeF<sub>2</sub>. С использованием данных по рентгеноэлектронным спектрам, оптич. спектрам поглощения, эмпирич. атомной модели и спектрам сателлитов монопольного возбуждения в атомном газе Xe построены диаграммы MO для основного и дыроч-

*Расселлиты  
Эксперимент.  
Схема*

*X.1980.№2*

ного состояний  $\text{XeF}_2$ , включая высоколежащие виртуальные ридберговы МО. Потенциалы ионизации валентных МО и интенсивности рентгеноэлектронных спектров, соответствующих их ионизации, вычисленные в рамках модели Гелиуса, хорошо согласуются с эксперим. данными. Расчеты энергий монопольных возбуждений валентных МО для дырочного состояния в приближении переходного состояния в совокупности с построенными диаграммами МО позволили надежно интерпретировать эксперим. спектр сателлитов рентгеноэлектронных  $3d$ - и  $4d$ -спектров Xe в  $\text{XeF}_2$ . В рамках модели квантового дефекта с использованием дацных по оптич. спектрам поглощения и рассчитанным энергиям монопольных возбуждений вычислены эффективные главные квантовые числа и квантовый дефект для ридберговых  $6p-9p$ -состояний Xe в  $\text{XeF}_2$ .

И. А. Тополь



отмечен 10319 1980

$XeF_2$

$XeF_4$

кв. нех.  
растет

(+) □

4 Б41. Исследования методом ССП—МО в приближении псевдопотенциала гипервалентных соединений. I.  $XeF_2$  и  $XeF_4$ . Bartell Lawrence S., Rothman Michael J., Ewig Carl S., Van Wazer John R. Pseudopotential SCF—MO studies of hypervalent compounds. I.  $XeF_2$  and  $XeF_4$ . «J. Chem. Phys.», 1980, 73, № 1, 367—374 (англ.)

В рамках неэмпирич. метода псевдопотенциала рассчитаны электронное строение и силовое поле молекул  $XeF_2$  и  $XeF_4$ . Псевдопотенциал, построенный неэмпирически с использованием оператора Филлипса—Клеймана, представлялся комбинацией 7 гауссовых ф-ций ( $\Gamma\Phi$ ) и отличался для  $s$ - и  $p$ -орбиталей. В расчетах использовались два базиса: в 1-м, миним. базисе, каждая из слайтеровских орбиталей оптимизированного атомного базиса аппроксимировалась  $4\Gamma\Phi$ ; во 2-м базисе, также миним., параметры показателей экспонент находились аппроксимацией атомных двухэкспонентных базисов.

Х 1981. N 4

Рассчитанные орбитальные энергии  $\text{XeF}_2$  и  $\text{XeF}_4$  хорошо согласуются с данными прямых неэмпирич. расчетов этих молекул методом ССП МО ЛКАО. Рассчитанные равновесные длины связей 2,068 Å для  $\text{XeF}_2$  и 2,037 Å для  $\text{XeF}_4$  на 5% превышают соотв-щие эксперим. значения, однако сжатие длин связей на 0,03 Å при переходе от  $\text{XeF}_2$  к  $\text{XeF}_4$ , наблюдаемое экспериментально, в расчетах передано правильно. Рассчитанные силовые постоянные вал. и деф. кол. в обеих молекулах хорошо согла-суются с экспериментом. Частоты вал. кол., вычисленные при эксперим. значениях равновесных длин связей, на ~25% превышают эксперим. значения. Роль несвя-зывающих взаимодействий фтор—фтор оценена путем вычисления разности энергий системы  $\text{F}_2 \dots \text{F}_2$  с симмет-рией группировки  $D_{2d}$  и двух изолированных молекул  $\text{F}_2$ .

И. А. Тополь

$XeF_2$

$XeF_4$

отмиска 10319

1987

1 Д106. Исследование гипервалентных соединений методом ССП МО с использованием псевдопотенциала. I.  $XeF_2$  и  $XeF_4$ . Pseudopotential SCF—MO studies of hypervalent compounds. I.  $XeF_2$  and  $XeF_4$ . Bartell Lawrence S., Rothman Michael J., Ewig Carl S., Van Wazer John R. «J. Chem. Phys.», 1980, 73, № 1, 367—374 (англ.)

Неэмпирическим методом ССП МО ЛКАО в базисах OCT-4ГФ и близком к двухэкспонентному с использованием псевдопотенциала Эвига (Ewig C. S. et al. «J. Chem. Phys.», 1977, 66, 3557) исследовано электронное строение гипервалентных соединений  $XeF_2$  (I) и  $XeF_4$  (II). Рассчитаны поверхности потенц. энергии, потенциалы ионизации, частоты и силовые постоянные норм. колебаний. Равновесные структуры I и II обладают правильной симметрией. Расчет правильно передает экспериментально наблюдаемое уменьшение длии связей при переходе от I к II, хотя сами длины за-

раб. меж.  
расчет

(+1)

Ф.1981/21

вышены на 0,09 Å. Хорошо согласуются с эксперим. данными рассчитанные частоты валентных и деформационных колебаний и ангармоничность валентных колебаний, однако, при использовании эксперим. длин связей частоты валентных колебаний завышаются на 25%.

Хорошие данные по строению и силовым полям I и II приводят авторов к выводу о применимости использо-ванного подхода к высшим фторидам ксенона. В. Л. Л.

1980

XeF<sub>2</sub>

XeF<sub>4</sub>

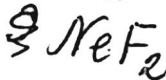
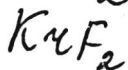
rb. elect.  
racter

(+1) (Q)

93: 120735k Pseudopotential SCF-MO studies of hypervalent compounds. I. Xenon fluorides (XeF<sub>2</sub> and XeF<sub>4</sub>). Bartell, Lawrence S.; Rothman, Michael J.; Ewig, Carl S.; Van Wazer, John R. (Dep. Chem., Univ. Michigan, Ann Arbor, MI 48109 USA). *J. Chem. Phys.* 1980, 73(1), 367-74 (Eng). The effective potential theory developed by C. R. Ewing et al. (1977) was applied to a series of hypervalent compds. with a view to elucidating the anomalous properties of several of the higher fluorides of Xe and I. Calcns. carried out on XeF<sub>2</sub> and XeF<sub>4</sub> give valence orbital energies in fair agreement with those obtained with the more flexible, all-electron SCF-MO calcns. by H. Basch et al. (1971). Equil. structures of XeF<sub>2</sub> and XeF<sub>4</sub> provided by the effective potential calcns. possess the correct symmetries. Bond lengths, although too long by 0.09 Å, correctly reproduce the contraction obsd. exptl. upon fluorination of XeF<sub>2</sub>. Calcd. bending and stretch-stretch interaction force consts. are in agreement with expt., as is the stretching anharmonicity. Stretching frequencies evaluated at the exptl. bond length, however, are 25% high. Overall, the ability of the present treatment to give a reasonable account of the structures and force fields of XeF<sub>2</sub> and XeF<sub>4</sub> justifies its application to the higher fluorides where interpretations of observations are more speculative.

Drexel 10/3/9

1980



расчет  
потенциал  
кривых

(+3) \*

х. 1981. N5

5 Б61. Попытка расчета релятивистских кривых потенциальной энергии: дифториды благородных газов.

Euler R., Fricke B., Mogočić T., Sepp W.-D., Rosén A. An attempt on the calculation of relativistic potential energy curves: noble gas difluorides. «Z. Phys.», 1980, A297, № 2, 101—104 (англ.)

Релятивистским методом Дирака — Слейтера  $X_\alpha$  варьирования (ДВ) рассчитаны потенциальные кривые (ПК)  $\text{XeF}_2$ ,  $\text{ArF}_2$ ,  $\text{KrF}_2$  и  $\text{XeF}_2$ . Для сравнения в нерелятивистском варианте метода  $X_\alpha$ -ДВ вычислены ПК молекул  $\text{KrF}_2$  и  $\text{XeF}_2$ . Для этих же молекул в релятивистском и нерелятивистском приближении рассчитаны потенциалы ионизации. В расчетах использовался базис численных АО. Для всех исследованных молекул получены гладкие ПК с помощью спец. процедуры, в к-рой из полной энергии вычитали вклады от отдельных атомов, полученные суммированием по тем же точкам. Теор. равновесные длины связей  $R - F$ , где  $R$  — атомы  $\text{Ne}$ ,  $\text{Ar}$ ,  $\text{Kr}$  и  $\text{Xe}$ , составили 3, 3,5; 3,45 и 3,61 ат. ед.

для  $\text{NeF}_2$ ,  $\text{ArF}_2$ ,  $\text{KrF}_2$  и  $\text{XeF}_2$ , соотв. Вычисленные энергии диссоциации ( $E_D$ ) сильно превышают (до 5 раз) эксперим. значения, однако на основе известных эксперим. значений для  $\text{KrF}_2$  и  $\text{XeF}_2$  получена оценка  $E_D$  для  $\text{ArF}_2$  (-0,5 эВ) и сделан вывод, что  $\text{NeF}_2$  вряд ли может существовать как стабильная система. Для  $\text{KrF}_2$  при включении в базис атомных  $4d$ ,  $5s$ - и  $5p$ -функций  $\text{Kr}$  получено правильное поведение ПК при больших расстояниях (устранен нефиз. максимум ПК, связанный с неадекватным базисом). Рассчитанные потенциалы ионизации в  $\text{KrF}_2$  и  $\text{XeF}_2$  отличаются от эксперим. значений в пределах 2 эВ, однако в расчетах правильно переданы порядок следования потенциалов ионизации и относительные энергетич. расстояния между ними. Сделан вывод о том, что возможности метода  $X_\alpha$ -ДВ в настоящее время явно недостаточны для расчетов ПК с целью их дальнейшего использования для хим. интерпретации.

И. А. Тополь

XeF<sub>2</sub>

Lommel 10834

1980

XeF<sub>4</sub>

Lutar R., Sliwinski J.;  
Smalec A.

XeF<sub>6</sub>

ромозум.  
реакции  
F+Xe

J. Fluor. Chem., 1980,  
16 (6), p. 638

$XeF_2$

$XeF_4$

$XeF_6$

Электро-  
статика

(+2)

РАЗР № 20

ВР-Х1-6376

1980

20 Б32. О электронном строении фторидов ксенона.  
Scheire L., Phariseau P., Nuyts R., Foti A. E., Smith V. H., Jr. On the electronic structure of the xenon fluorides. «Physica», 1980, A101, № 1, 22—48 (англ.)

Методом ССП- $X_\alpha$  рассеянных волн рассчитано электронное строение молекул  $XeF_2$ ,  $XeF_4$ ,  $XeF_6$ , а также  $XeCl_2$ . Расчеты каждой из молекул проводились с использованием моделей касающихся и перекрывающихся атомных сфер с варьированием как отношения радиусов, так и степени перекрывания сфер. В приближении переходного состояния для всех молекул вычислены потенциалы ионизации валентных МО, к-рые сопоставлены с эксперим. данными и данными расчетов методом ССП МО ЛКАО. Распределение заряда во фторидах ксенона проанализировано по заселенностям МО и эффективным зарядам атомов. В приближении пере-

крывающихся сфер при переходе от  $\text{XeF}_2$  к  $\text{XeF}_6$  заряд Xe увеличивается от +0,95 до +1,87, а заряд F уменьшается от -0,47 до -0,31. Исследовано влияние учета 5d-орбиталей Xe на описание хим. связи во фторидах ксенона. При включении в базис 5d-орбиталей происходит стабилизация некоторых MO на несколько десятых долей эв. При этом в  $\text{XeF}_6$  высшей занятой MO становится  $5\pi_u$  вместо  $10\sigma_g$ , что согласуется с эксперим. и расчетными данными. Установлено, что роль 5d-орбиталей возрастает с ростом числа атомов F. Вычисленные в спин-ограниченном варианте энергии оптич. переходов имеют во всех молекулах систематически заниженные по сравнению с экспериментом значения.

И. А. Тополь

*XeF<sub>2</sub>*

10 Д126. Электронное строение фторидов ксенона.  
 On the electronic structure of the xenon fluorides.  
 Scheire L., Phariséau P., Nuyts R., Foti A. E.,  
 Smith V. H., Jг. «Physica», 1980, A101, № 1, 22—48  
 (англ.)

1980

*расчет  
электр.  
строения*

(+3)

Методом ССП Xα рассеянных волн исследовано электронное строение XeF<sub>2</sub> (I), XeF<sub>4</sub> (II), XeF<sub>6</sub> (III) и XeCl<sub>2</sub> (IV). Использованы приближения, касающихся (2 набора параметров) и перекрывающихся сфер. Расчитанные потенциалы ионизации сопоставлены с данными фото- и рентгеноэлектронных спектров. В частности отмечено, что в валентной оболочке наиболее стабильными являются MO 9σ<sub>g</sub>, 9a<sub>1g</sub> и 7a<sub>1g</sub> для I—III соответственно, основной вклад в которые вносят 5s-AO Xe. Остовые электроны Xe при переходе от I к III связываются все болееочно. Потенциалы ионизации, рассчитанные в модели переходного состояния, согласуются с эксперим. данными лучше, чем полученные по теореме Кулманса, но все же остаются завышенными. В IV остовые электроны связаны прочнее, чем в I. Показано, что 5d-AO Xe вносят существенный вклад в связь в I—IV, причем этот вклад увеличивается при переходе от I к III, что свидетельствует также о росте ковалентности связи Xe—F в этом ряду.

В. Л. Лебедев

Б99 - К1 - 63746

1980N10

XeF<sub>2</sub>} BP-XI-6346 1980  
XeF<sub>4</sub>  
XeF<sub>6</sub>  
XeCl<sub>2</sub>

V93: 138303c On the electronic structure of the xenon fluorides. Scheire, L.; Phariseau, P.; Nuyts, R.; Foti, A. E.; Smith, V. H., Jr. (Semin. Theor. Vaste Stof- Lage Energ. Kernfys., B9000 Ghent, Belg.). *Physica A (Amsterdam)* 1980, 101A(1), 22-48 (Eng). The multiple-scattered-wave-SCF-X $\alpha$  method was used to calc. ionization potentials and charge distribution for the series XeF<sub>2</sub>, XeF<sub>4</sub> and XeF<sub>6</sub> as well as XeCl<sub>2</sub>. The role of the 5d-orbitals on Xe was considered and its increasing significance for XeF<sub>4</sub> and XeF<sub>6</sub> was examd.

Y; kb. elect.  
paarct  $(+1)$   $\square$



C.A. 1980, 93, N14

XeF<sub>2</sub>

1981

1 Д658. Определение спектральных зависимостей абсолютных квантовых выходов образования эксимеров XeF (*B*, *C*, *D*) при фотолизе XeF<sub>2</sub>. Бибинов Н. К., Виноградов И. П., Михеев Л. Д., Ставровский Д. Б. «Квант. электрон.», 1981, 8, № 9, 1945—1952 (рез. англ.)

Интерес к фотолизу XeF<sub>2</sub>, сопровождающемуся образованием возбужденных молекул XeF (*B*, *C*, *D*), обусловлен использованием этой реакции в эксимерных лазерах с оптич. накачкой. Исследован фотолиз газообразного XeF<sub>2</sub> в спектральном диапазоне 220—108 нм. Установлено, что максим. значения квантовых выходов образования XeF (*B*) и XeF (*C*) составляют в области 140—180 нм  $30 \pm 9$  и  $3,5 \pm 1\%$  соответственно ( $\lambda_{\text{макс}} \approx 165$  нм). Квантовый выход образования XeF (*D*) в этой области не превышает 1,5%. Обсуждается механизм распада возбужденных молекул XeF<sub>2</sub>. Показано, что вклад в полосу поглощения XeF<sub>2</sub>, имеющую макси-

фотолиз

90. 1982, 18, N 1

мум на 158 нм, вносят несколько электронных переходов. Предполагается, что переход в этой полосе в состояния  $^1\Pi_g$  или  $^3\Pi_u$  приводит к образованию XeF (*D*), переход в  $^1\Pi_u$  — к образованию XeF (*X* или *A*), переходы в  $^1\Sigma_u^+$  и  $^3\Sigma_u^+$  — к образованию XeF (*B*) и XeF (*C*) соответственно.

Резюме

*XeF<sub>2</sub>*

1981

9 Б1263. Изучение фотодиссоциации  $\text{XeF}_2$ . I. Квантовые выходы и кинетика превращений  $\text{XeF}(B)$  и  $\text{XeF}(C)$ . Black G., Sharpless R. L., Lorgents D. C., Huestis D. L., Gutcheck R. A., Bonifield T. D., Helms D. A., Walters G. K.  $\text{XeF}_2$  photodissociation studies. I. Quantum yields and kinetics of  $\text{XeF}(B)$  and  $\text{XeF}(C)$ . «J. Chem. Phys.», 1981, 75, № 10, 4840—4846 (англ.)

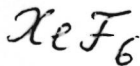
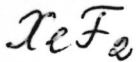
Методом флуоресцентного анализа изучено образование  $\text{XeF}$  из  $\text{XeF}_2$  под действием импульсов синхротронного излучения длительностью 0,3 нс. Измерены сечения поглощения  $\text{XeF}_2$  в диапазоне 142—210 нм, достигающие максимума  $(5,9 \pm 0,5) \cdot 10^{-17} \text{ см}^2$  при 158 нм. Квантовые выходы, полученные из сопоставления с известным выходом  $\text{O}(^1\text{S})$  при фотодиссоциации  $\text{N}_2\text{O}$ , составили  $0,9_{-0,2}^{+0,1}$  ( $\lambda = 165$  нм) для  $\text{Xe}(B)$ ;  $0,08 \pm 0,02$  ( $\lambda = 157,5$  нм) для  $\text{XeF}(C)$  и  $0,028 \pm 0,005$  ( $\lambda = 155$  нм) для  $\text{XeF}(D)$ .

В. Н. Василец

*фотодиссо-  
чия ид*

*X. 1982, 19, N 9.*

1981



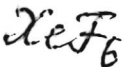
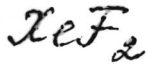
kb. ~~cccxx~~  
~~face set~~,

(7)

C. A. 1981, 95 N 4

95: 30690d Electron structure of xenon fluorides. Gutsev, G. L.; Smolyar, A. E. (Inst. Khim. Fiz., Chernogolovka, USSR). *Izv. Akad. Nauk SSSR, Ser. Khim.* 1981, (5), 939-42 (Russ). The ionization potentials of XeF<sub>2</sub>, XeF<sub>4</sub>, and XeF<sub>6</sub> were calcd. by the X $\alpha$  method. By using exptl. and the calcd. data, the photoelectron-spectra bands were assigned, in contrast to the previous assignment which was made on the basis of a nonempirical-calcn. method. The calcd. energies of the 1st resolved electronic transitions of XeF<sub>2</sub> and XeF<sub>6</sub> within 0.2-0.4 eV coincide with the exptl. values. The population of the AO of Xe atom in the fluorides is tabulated.

1981



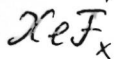
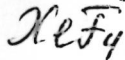
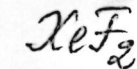
kb. uex.  
pacrs

(7)

94: 183032v DVM-X $\alpha$  calculations on the electronic structure of the xenon fluorides  $\text{XeF}_n$ : n = 2,4,6. Gutsev, G. L.; Smolyar, A. E. (Inst. Chem. Phys., 142432 Chernogolovska, USSR). *Chem. Phys.* 1981, 56(2), 189-94. (Eng). The ionization potentials of the  $\text{XeF}_2$ ,  $\text{XeF}_4$  and  $\text{XeF}_6$  mols. were calcd. by the discrete variational X $\alpha$ -method. The results of the calcns. are used for an interpretation of the exptl. photoelectron and x-ray spectra of these compds. Reasonable agreement is found between the theor. ests. and data obtained from absorption spectroscopy.

C.A. 1981, 94, N22

1981



16 642. Электронное строение фторидов ксенона  
Гуцев Г. Л., Смоляр А. Е. «Изв. АН СССР. Се-  
хим.», 1981, № 5, 939—942

Дискретно-вариационным  $X_{\alpha}$ -методом в базисе ци-  
лленных хартри-фоковских ф-ций рассчитана элек-  
тная структура фторидов ксенона  $XeF_2$ ,  $XeF_4$  и  $XeF_x$ .  
На основании результатов расчета проведено отнесе-  
данных фото- и рентгеноэлектронных спектров э-  
соединений.

Авторефе-

Электронн.  
строение

2.1981.№6

*XeF<sub>2</sub>*

1981

4 Д836. Поляризованная эмиссия фотофрагментов в результате двухфотонной фотодиссоциации XeF<sub>2</sub> при 266 нм. Polarized photofragment emission following two-photon dissociation of XeF<sub>2</sub> at 266 nm. Loge Gary W., Wiesenfeld John R. «J. Chem. Phys.», 1981, 75, № 6, 2795—2799 (англ.)

*Спектр*

С целью получения информации о диссоциативном состоянии трехатомной молекулы проведены теоретические и эксперим. исследования поляризации флуоресценции (352 нм) фотофрагментов при двухфотонной диссоциации XeF<sub>2</sub> под действием излучения 266 нм. Степень поляризации излучения достигает  $3,5 \pm 1,5\%$ . Построена теория этого процесса в пределе больших вращательных квантовых чисел. Сравнение степени поляризации в случаях круговой и линейной поляризаций света показывает, что исходное диссоциативное состояние XeF<sub>2</sub> (дающее XeF в состоянии  $(B, \Omega = 1/2)$ ) не может быть полносимметричным ни в случае общей симметрии молекулы  $D_{\infty h}$ , ни  $C_{2v}$ . Сделан вывод, что исходное диссоциативное состояние есть ридберговское состояние XeF<sub>2</sub>( $1_u(\Pi_u)$ ). Е. П. Смирнов

φ, 1982, 18, № 4.

XeF<sub>2</sub>

1981

Сероцелп А. Г. и гр.

" 124 Улуге-реек. с'езг  
и; то ойле. и нынеш. зерарас.  
Резо. жоку. и саады. № 3"  
ол.; 1981, 126.

(с.е. СЛ F<sub>3</sub>; III)

*XeF<sub>2</sub>*

1982

*хомогрий,  
структур*

(+6)



*x. 1983, 19, N14.*

14 Б26. Молекулярная структура соединений благородных газов. Structura moleculara a combinațiilor gazelor aerogene. Maria Zorlescu Tg. Jiu. «Rev. fiz. și chem.», 1982, 19, № 7, 235—237 (рум.)

Кратко обсуждено электронное и геометрическое строение XeF<sub>2</sub>, XeF<sub>4</sub>, XeF<sub>6</sub>, XeOF<sub>4</sub>, XeO<sub>3</sub>, XeO<sub>6</sub> и XeO<sub>6</sub><sup>4-</sup>. Е. Л. Р.

Document 14273

1982

XeF<sub>2</sub>

YOMOKURE-  
KURENO,  
TAKAHASHI  
PREPARED  
CHLORIDE

Messing L., Smith A. L.,  
J. Phys. Chem., 1982,  
86, N6, 927-932

Xe + F<sub>2</sub>

1983

100

100: 218395n Kinetics of the formation of xenon fluoride (XeF) (B) excimer during photoexcitation of a xenon-fluorine mixture. Bibinov, N. K.; Vinogradov, I. P. (Leningr. Gos. Univ., Leningrad, USSR). *Kvantovaya Elektron. (Moscow)* 1983, 10(9), 1931-4 (Russ). Processes were studied of degrdn. of the excitation energy in the Xe - F<sub>2</sub> mixt. under monochromatic ( $\Delta\lambda \sim 0.3$  nm) excitation as a result of which XeF (D and B) excimers are formed. Excited Xe<sub>2</sub> mols. take part in the formation of the XeF excimers under the excitation of the Xe - F<sub>2</sub> mixt. in the region of at. Xe absorption.

REF 4/11

XeF (D, B)

C.A. 1984, 100, N 246

Xef

1983

14 Б4187. Исследования лазерно-индукционной  
флуоресценции XeF ( $B - X$ ) и XeF ( $C - X$ ). Laser-in-  
duced fluorescence studies of XeF( $B - X$ ) and XeF-  
( $C - X$ ). Helm H., Huestis D. L., Lorents D. C.  
«Excimer Lasers. Meet. OSA, Lake Tahoe, Nev., 1983».  
New York, 1983, 216—221 (англ.)

Методом оптич. эмиссионной спектроскопии изучена  
кинетика Фл XeF (переходы  $B - X$  и  $C - X$ ), воз-  
буждаемой светом перестраиваемого лазера на кра-  
сителе в интервале длин волн 345—360 нм. XeF ( $X$ )  
получали при облучении XeF<sub>2</sub> (давл.  $P=0,04—1$  Торр)  
светом 248 нм эксимерного лазера на KrF. Основным  
излучат. каналом для XeF ( $C$ ) является свободный  
переход в  $A$ -состояние с диссоц. XeF.  $B - X$  переход,  
гл. обр., связанно-связанный. В отсутствии столкнове-  
ний возбуждение перехода  $X \rightarrow C$  приводит к слабой  
Фл в основном при 450 нм, а возбуждение перехода  
 $X \rightarrow B$  — к сильной Фл и только часть Фл излучается  
при 450 нм. В отсутствие столкновений времена спада  
«синей» Фл (при 450 нм) для  $B$ - и  $C$ -состояний  
равны 14 и 98 нс соотв. При  $P < 0,2$  Торр через

лазерно-щедр  
Кирюхин. флуо-  
ресценции

Х. 1984, 19, № 14

$\geq 30$  нс после импульса лазера в основном возбуждается переход  $X \rightarrow C$  за счет столкновит. смешения состояний  $B$  и  $C$ .

Ю. И. Дорофеев

(что  
чны)

Verz

[Om. 20017]

1984

Bowmaker G. A., Boyd R. W.,  
et al.,

ягено-

кагунау-

нол бзарчыног.,

нуреем.

пакрена.

J. Chem. Soc. Faraday  
Trans. 2, 1984, 80,  
1125—1143.

XeF<sub>2</sub>

1984

Desbat B., Yeh S.

Сейреjk-  
mupa,  
CKP

Ann. Chim. (Paris)  
1984, 9 (6), 655-8.

(cис. KrF<sub>2</sub>; T)

Ket<sub>2</sub>  
Ket<sub>4</sub>

(OM. d0658)

1984

Muzinaga S., Klobukowski et al.,  
Phys. Chem., 1984, 88,  
N<sup>o</sup>21, 4880-4886.

XeF<sub>2</sub> aq

1984

102: 175507x Chemiluminescence in hydrolytic xenon difluoride reduction. Kazakov, V. P.; Tolstikov, G. A.; Lotnik, S. V.; Mamykin, A. V.; Khamidullina, L. A. (Inst. Khim., Ufa, USSR). Izv. Akad. Nauk SSSR, Ser. Khim. 1984, (12), 2829 (Russ.). Aq. solns. of XeF<sub>2</sub> emit luminescence with a max. in the yellow range. The intensity of the light beam was  $5 \times 10^4$  photons/(s × cm<sup>3</sup>) at an XeF<sub>2</sub> concn. of  $1 \times 10^{-3}$ M. The rate const. of the chemiluminescent reaction stage ( $k = 4 \times 10^{-4}$  s<sup>-1</sup>) is near to the value of the rate const. of consumption of XeF<sub>2</sub> obtained in identical conditions of spectrophotometric or iodometric titrn. The introduction of UO<sub>2</sub>SO<sub>4</sub> in the system increases the brilliance of the luminescence.

XENON DIFLUORIDE  
HELY. & ZEHN  
MOU OSA.

C. A. 1985, 102, n20

Xe + F<sub>2</sub>

1985

103: 131646h Luminescence spectra upon excitation of xenon difluoride by the radiation from molecular xenon and krypton excimers. Basov, N. G.; Danilychev, V. A.; Dolgikh, V. A.; Kerimov, O. M.; Samarin, A. Yu.; Tamanyan, G. Yu. (Fiz. Inst. im. Lebedeva, Moscow, USSR). *Kvantovaya Elektron. (Moscow)* 1985, 12(7), 1425-30 (Russ). The dependence was studied of the intensity of the radiation from XeF\* mols. due to electronic vibrational transitions in the UV spectral region on the pressure of various buffer gases. Under photolysis of XeF<sub>2</sub> by the excimer radiation in the presence of Xe, the luminescence was found for Xe<sub>2</sub>F\*. The dependence was studied of its power on the N<sub>2</sub>, Kr, Xe, and Ar pressure.

C.A. 1985, 103, n 16.

$\text{XeF}_2$

[Om. 23027]

1986

Larsson S., Rygkkö P.,

meopem-  
racem

Chem. Phys., 1986, 101, N3,  
355-369

XeF<sub>2</sub>

[Om. 23744]

1986

Yates B.W., Tan L.H., et al.,

Использование  
спектров COOMT.

J. Chem. Phys., 1986, 84,  
N7, 3603-3609.

XeF<sub>2</sub>

1986

У 17 Б1094. О релятивистской теории констант ядерного спин-спинового взаимодействия. Аспекты симметрии обратимости времени и применения к некоторым фторидам тяжелых элементов. On the relativistic theory of nuclear spin-spin coupling constants. Time-reversal symmetry aspects and applications to some heavy-element fluorides. Rösch N., Puukkō P. «Mol. Phys.», 1986, 57, № 1, 193—200 (англ.)

Показано, что в рамках релятивистского аналога теории Рэмзи учет симметрии обратимости времени может вдвое сократить вычислите затраты при расчетах констант ядерного спин-спинового взаимодействия (КССВ). Выражения для КССВ получены для кватернионных волновых ф-ций релятивистски параметризованного РМХ, однако вывод справедлив и для любого квантовохим. метода, способного генерировать крамерсовские пары волновых ф-ций. Самосогласованным по заряду релятивистским РМХ для фторидов тяжелых металлов XeF<sub>2</sub>, XeF<sub>4</sub>, XeF<sub>6</sub>, XeF<sub>6</sub><sup>2+</sup>, SF<sub>6</sub>, SeF<sub>6</sub>, TeF<sub>6</sub> и UF<sub>6</sub> проведены вычисления КССВ.

И. А. Тополь

X. 1986, 19, N 17

XeF<sub>2</sub>

1986

№ 19 Б1185. Исследование сечений фотоионизации валентных уровней XeF<sub>2</sub> методом фотоэлектронной спектроскопии в диапазоне энергий фотонов от 21 до 50 эВ. Photoelectron study of the valence level cross sections of XeF<sub>2</sub> from 21 to 50 eV photon energy. Yates B. W., Tan K. H., Bancroft G. M., Coatsworth L. L., Tse J. S., Schrobilgen G. J. «J. Chem. Phys.», 1986, 84, № 7, 3603—3609 (англ.). Место хранения ГПНТБ СССР

С использованием синхротронного излучения в качестве возбуждения измерены фотоэлектронные спектры 5 верхних валентных уровней молекулы XeF<sub>2</sub> в газовой фазе в диапазоне энергий ( $E$ ) 21—50 эВ. Из полученных спектров определены коэф. ветвления ( $K$ ) и абсолютные значения парц. сечений фотоионизации ( $\sigma$ ). Проведены расчеты  $K$  и  $\sigma$  Ха методом многократного рассеяния. На основе сопоставления теорет. и эксперим. результа-

X.1986, 19, N 19

тов подтверждена последовательность уровней в  $\text{XeF}_2$ :  
 $5\pi_u$ ,  $10\sigma_g$ ,  $3\pi_g$ ,  $4\pi_u$ ,  $6\sigma_u$  (в сторону увеличения энергии связи). Положения резонансов в эксперим.  $\sigma(E)$  хорошо воспроизводятся теоретически и соответствуют значениям кинетич. энергий фотоэлектронов 4,8; 11,6 и 14,3 эВ для состояний в непрерывном спектре  $\pi_g$ ,  $(\pi_u, \delta_u)$  и  $\sigma_u$  соответственно.

О. А. Басченко

Xefz

[om. 28370]

1987

Албетиан А.Б., Великоделевова Г.Л. и др.

Структура  
Кодекса.  
Частоты.

Приложение рекомендуемых  
строительных норм.

Репликовано в ВНИИКИ  
Госстандарта СССР 17.02.87г.

N 295.

XeF<sub>2</sub>

(Om. 28193)

1987

108: 28753v Vibrational spectrum and force constants of xenon(II) fluoride. Brassington, N. J.; Edwards, H. G. M. (Sch. Chem. Chem. Technol., Univ. Bradford, UK BD7 1DP). *J. Mol. Struct.* 1987, 162(1-2), 69-74 (Eng). The vibrational Raman spectra of XeF<sub>2</sub> in the solid state and in the vapor at 325 K are reported. From the most precise wavenumbers of  $\nu_2$  and  $\nu_3$  from the IR spectrum, the  $\nu_1$  from the Raman spectrum, the force consts. of bond stretching, bond deformation and stretch-stretch interaction are evaluated using a SVFF approxn. From the solid state Raman spectrum the  $E_g$  lattice vibration is assigned to the band at 111 cm<sup>-1</sup>.

(UK, CKP)

CNEKMP,  
CUD-NOCN.

c.A.1988, 108, NY

*XeF<sub>2</sub>*

*dm. 28193*

*1987*

- 7 Б1281. Колебательный спектр и силовые постоянные фторида ксенона(2+). Vibrational spectrum and force constants of xenon (II) fluoride. Brassington N. J., Edwards H. G. M. «J. Mol. Struct.», 1987, 162, № 1—2, 69—74 (англ.)

Исследована обл. 25—620 см<sup>-1</sup> спектра КР XeF<sub>2</sub> (I) в тв. фазе при 290 К и в парообразном состоянии при 325 К. Определены значения волновых чисел  $\nu_2$  ( $213,2 \pm 0,5$  см<sup>-1</sup>),  $\nu_3$  ( $560,1 \pm 0,1$  см<sup>-1</sup>) и  $\nu_1$  ( $516,5 \pm 0,5$  см<sup>-1</sup>). Рассчитаны силовые постоянные [мдин·А] связей Xe—F (2,914), угла F—Xe—F (0,397) и взаимодействий связей XeF—XeF (0,598). Величины рассчитанных частот колебаний I полностью совпали с наблюдаемыми. Рассчитано распределение потенциальной энергии по колебат. координатам I. Частота 111 см<sup>-1</sup> в спектре КР отнесена к колебанию крист. решетки XeF<sub>2</sub>.

*H. A. Попов*

*X. 1988, 19, N 7*

XeF<sub>2</sub>

1987

Mardl S., Lewis P.F.

доплер-  
микровів  
поляричес.

Proc. Int. Conf. La-  
sers 1986 (Pub. 1987),  
579-85.

(c.c. XeF; iii)

XeF<sub>2</sub>

1988

№ 2 Д119. Использование структурно-резонансной парадигмы для анализа зарядов и порядков связей в ковалентных соединениях ксенона. Charges and bond orders in covalent xenon compounds using the structure-resonance paradigm / Herndon William C. // J. Mol. Struct. Theochem.— 1988.— 169.— С. 389—401.— Англ.

Эмпирическая структурно-резонансная теория использована для анализа зарядов и порядков связей в гипервалентных соединениях фтора вида: XeF<sub>2</sub>, XeF<sub>4</sub>, XeOF<sub>4</sub> и XeF<sub>6</sub>. Представление матрицы эффективного гамильтониана с помощью теории графов позволило значительно упростить нахождение собств. значений и собств. ф-ций эффективного гамильтониана благодаря использованию топологических и симметрийных ограничений теории графов. Вычисленные в данной работе заряды атомов и порядки связей коррелируют с аналогичными величинами, полученными другими теоретич. методами и соответствующими эксперим. данными. Найдено, что заряды на атомах F пропорциональны

(73)  
X

φ. 1989, № 2

степеням окисления, но существенно меньшие по величине. Отмечено, что для реалистичного моделирования молекул, содержащих ксенон с высокой степенью окисления в рамках структурно-резонансной теории, необходим учет большого числа октетных и ионных резонансных форм, а также структур с расширенными валентными оболочками, вносящих вклад в конечный резонансный гибрид. Библ. 97. В. А. Корсунов



*XeF<sub>2</sub>*

1988

6 Б1120. Динамика диссоциативного возбуждения XeF<sub>2</sub> электронным ударом: образование XeF (*B*, *V'*, *N'*). Dynamics of electron impact dissociative excitation of XeF<sub>2</sub>: production of XeF (*B*, *v'*, *N'*) / Spence D., Dillon M. A. // J. Chem. Phys.— 1988.— 89, № 6, С. 3596—3601.— Англ.

*М.Н.*

Исследованы спектры Фл (СФ) в обл. 325—360 нм (полоса  $B \rightarrow X$  молекулы XeF) при действии на молекулы XeF<sub>2</sub> электронного удара с энергией *E* от 4 до 60 эВ. Порог появления наиболее интенсивной линии при 351 нм найден при *E*=7 эВ, что совпадает с положением пиков в оптич. спектрах поглощения и спектрах потерь энергии электронов, отвечающих возбуждению диссоциативного  $^1\Sigma_u^+$  состояния XeF<sub>2</sub>. Из анализа относит. интенсивностей компонент вращательно-колебат. структуры измеренного СФ при *E*=60 эВ с помощью лит. теорет. факторов Франка — Кондона определены распределения заселенностей вращат. (*N'*)

*X. 1989, N 6*

и колебат. ( $V'$ ) уровней в состоянии  $B$  XeF. Установлено, что вращат. т-ра образующихся фрагментов XeF мала ( $N' = 0$ ), тогда как колебат. т-ра велика: заселенность уровней с  $V' = 1 - 4$  в 2,5—3,5 раза превышает заселенность уровней с  $V' = 0$ . Результаты объясняны тем, что при возбуждении из основного состояния XeF<sub>2</sub>  ${}^1\Sigma_u^+$  в диссоциативное состояние  ${}^1\Sigma_g^+$  симметрия молекулы остается линейной, а длина связи при переходе от XeF<sub>2</sub> к XeF (B) значительно увеличивается — от 1,9773 до 2,631 Å.

О. А. Басченко



XeF<sub>2</sub>

1989

MacDougall P.J.,  
Schrobilgen G.J. et al.

Inorg. Chem. 1989. 28,  
N.Y.C. 763-769.

M.N.

(eeer.  $\bullet$  FXe-NH<sup>+</sup>;  $\text{II}$ )

1990

9 Б1027. Исследование релятивистского эффекта в соединения инертных газов. I. Расчет релятивистского эффекта / Lu Qi-Shi, Liu Chao-Meng // Хуасюэ сюэбао =Acta Chim. Sin.— 1990.— 48, № 9.— С. 841—845.— Кит.; рез. англ.

Релятивистским методом РМХ проведены расчеты электронного строения серии молекул инертных газов:  $\text{XeF}_2$  (I),  $\text{XeF}_4$  (II),  $\text{XeF}_6$  (III),  $\text{KrF}_2$  (IV) и  $\text{RnF}_2$  (V). Релятивистская поправка рассчитывалась по формуле  $\Delta E_R = E_R^M - E_R^N - \sum_A (E_R^A - E_N^A)$ , где  $E_R^M$  —

энергия молекулы в релятивистском расчете,  $E_N^M$  — энергия молекулы в нерелятивистском расчете,  $E_R^A$  и  $E_N^A$  — энергии атомов соотв. в релятивистском и нерелятивистском расчетах. Показано, что релятивистский эффект равен  $-72,91$ ,  $-160,34$ ,  $-281,82$ ,  $-25,44$  и  $-220,7$  кДж/моль для соед. I—V соотв. (знак минус указывает на повышение стабильности молекулы).

В то же время релятивистская поправка для молекул IF и CsF найдена равной 10,68 и 5,42 кДж/моль. Сделан вывод о возможности учета релятивистских поправок при исследовании природы связи в соед. инертных газов.

И. Н. Сенченя

(74)

X. 1991, N 9

*XeF<sub>2</sub>*

*1991*

18 Б1178. Инфракрасная спектроскопия молекул  $\text{XeF}_2$ ,  $\text{XeF}_4$  и  $\text{XeF}_6$  в растворе жидкого ксенона. Infrared spectroscopy of  $\text{XeF}_2$ ,  $\text{XeF}_4$  and  $\text{XeF}_6$  molecules in liquid — xenon solution: Contain. Abstr. Pap. 13th Int. Symp. Fluorine Chem., Bochum, Sept. 2—6, 1991 / Nabiev Sh. Sh., Klimov V. D., Khodjiev B. S. // J. Fluor. Chem. — 1991. — 54, № 1—3. — С. 344. — Англ.

Измерены ИК-спектры поглощения р-ров фторидов ксенона,  $\text{XeF}_2$ ,  $\text{XeF}_4$  и  $\text{XeF}_6$ , в жидк. Хе ( $T = 180$  К). Найдено, что молек. структура  $\text{XeF}_2$  и  $\text{XeF}_4$  в р-ре претерпевает небольшие искажения обусловленные вз-вием растворитель — растворенное в-во. Вычислены константы ангармоничности,  $X_{13}$  для  $\text{XeF}_2$  и  $X_{46}$  для  $\text{XeF}_4$ . Для р-ра  $\text{XeF}_6$  найдено, что с увеличением конц-ии уменьшается доля мономерных молекул (интенсивная полоса  $596 \text{ см}^{-1}$ ) и образуются полимеры  $(\text{XeF}_6)_n$  характе-

*ll-11*



*(+2)*



*X. 1992, N 18.*

ризующиеся группой интенсивных полос в интервале  $620-640 \text{ см}^{-1}$ . Рассчитаны константы равновесия для р-ций  $n\text{XeF}_6 \rightleftharpoons (\text{XeF}_6)_n$  ( $n=2$  и  $4$ ). На основании исследования ИК-спектра  $\text{XeF}_6$  в широком диапазоне ( $400-2000 \text{ см}^{-1}$ ) сделан вывод, что в отличии от таких классически октаэдрич. молекул, как гексафториды серы и урана, для гексафторида ксенона в жидк. ксеноне реализуется более низкая симметрия  $C_{3v}$ . В. М. Ковба

ХеF<sub>2</sub>

[Он. 35687]

1991

ХеF<sub>4</sub>

Хадиев М.М., Кимов В.Д.,

ХеF<sub>6</sub>

Ходжев Б.Р.,

Ж. физ. химии, 1991,  
65, № 8, 2125-2134

Инфракрасные спектры растворов  
РИВ некоторых ксантона

3zeugkorn Kieswille.

Xe + F<sub>2</sub>

1992

117: 241933w Absorption spectrum of the complex xenon + fluorine. Babaev, A. K.; Dubov, V. S. (Chem. Thermodyn. Dep., Inst. High Temp., Moscow, Russia 127412). *Chem. Phys. Lett.* 1992, 199(1-2), 93-101 (Eng). The absorption spectrum of the complex Xe+F<sub>2</sub> in the spectral ranges: (1) 165.0-155.4 nm, (2) 145.3-130.6 nm, (3) 128.8-122.0 nm was studied. In the first range the structureless spectrum obtained is in good agreement with the result of earlier papers. The spectrum shows an intensive structure in the second and the third ranges. The nature of the structure obtained is discussed qual.

(Y.P. Greenup)

C.A. 1992, 117, N24

XeF<sub>2</sub>

1993

8 Б3124. Динамика молекул XeF<sub>2</sub> в неводных растворителях /Набиев Ш. Ш., Остроухова И. И. //Высокочист. вещества .—1993 .—№ 5 .—С. 121—137 .—Рус. ;рез. англ.

Изучены спектры КР в области полносимметричного колебания  $\nu_1(\Sigma^+)$  дифторида ксенона в неводн. р-рителях, таких как CH<sub>3</sub>CN, CCl<sub>4</sub>, (CH<sub>3</sub>)<sub>2</sub>SO, HF и BrF<sub>5</sub>. Вычислены временные корреляц. функции колебат. и вращат. релаксации, а также характеристич. параметры этих процессов. Показано, что основной вклад в формирование контура полосы  $\nu_1$  молекул XeF<sub>2</sub> вносит процесс колебат. дефазировки.

III -

Х. 1994, № 8

XeF<sub>2</sub>

1993

(D<sub>1</sub>(2g<sup>+</sup>))  
CKP

119: 236821v Raman study of molecular dynamics of inorganic fluoroxidizers in nonaqueous solutions. Part 1. Xenon difluoride in acetonitrile. Nabiev, Sh. Sh.; Ostroukhova, I. I. (I. V. Kurchatov Inst. At. Energy, Moscow, Russia 123182). *Spectrochim. Acta, Part A* 1993, 49A(10), 1527-35 (Eng). The Raman spectra of the totally sym.  $\nu_1(\Sigma_g^+)$  mode of XeF<sub>2</sub> mols. have been measured in CH<sub>3</sub>CN solns. at various temps. and concns. The vibrational and rotational correlation functions as well as the characteristic times have been calcd. The vibrational band width in these solns. is to be attributed to the vibrational dephasing, whereas the contribution from the rotational relaxation is less important.

C.A. 1993, 119, N 22

XeF<sub>2</sub>

1993

119: 236822w Raman study of molecular dynamics of inorganic fluoroxidizers in nonaqueous solvents. Part 2. Xenon difluoride in hydrogen fluoride and bromine pentafluoride. Nabiev, Sh. Sh.; Ostroukhova, I. I. (I. V. Kurchatov Inst. At. Energy, Moscow, Russia 123182). *Spectrochim. Acta; Part A* 1993, 49A(10), 1537-46 (Eng). The Raman spectra of the totally sym.  $\nu_1(\Sigma_g^+)$  mode of xenon difluoride mols. have been measured in HF and BrF<sub>5</sub> solns. at various concns. The XeF<sub>2</sub> spectrum in HF has a complicated structure with three visible peaks. The complicated contour was resolved on elementary components which were identified. The vibrational and rotational correlation functions as well as the characteristic times have been calcd. The  $\nu_1$  vibrational bandwidth of XeF<sub>2</sub> mols. in HF and BrF<sub>5</sub> solns. is attributed to the vibrational dephasing, whereas the contribution from the rotational relaxation was less important.

(D<sub>1</sub>(E<sub>g</sub><sup>+</sup>))

CKP

C. A. 1993, 119, N22

XeF<sub>2</sub>

[OM. 37669 ]

1994

Konečná - Bürgel H., Keena R., Ma S.,

Czechoslovakia

UK preprint. J. Chem. Phys., 1994,  
published, 101, Nl, 1. . . .

Abstract The vibrational spectra  
of krypton and xenon difluo-  
ride: high-resolution infrared

studies and ab initio calculations.

*XeF<sub>2</sub>*

1994

121: 166094a Vibrational spectroscopy of xenon and krypton fluorides in non-aqueous solvents and liquid noble gas solutions. Nabiev, Sh. Sh.; Ostroukhova, I. I.; Palkina, L. A.; Khodjiev, B. S. (Russ. Res. Cent., Kurchatov Inst., Moscow, Russia). Proc. SPIE-Int. Soc. Opt. Eng. 1994, 2205(11TH SYMPOSIUM AND SCHOOL ON HIGH-RESOLUTION MOLECULAR SPECTROSCOPY, 1993), 261-3 (Eng). The present work is devoted to studies on vibrational spectra and vibrational band contours of the fundamental modes of Kr and Xe fluorides in liq. Kr and Xe (T = 130 and 180 K, resp.), MeCN, CCl<sub>4</sub>, Me<sub>2</sub>SO, nonaq. HF and BrF<sub>5</sub> solns. The exptl. absorption band frequencies and relative intensities for XeF<sub>2</sub> and XeF<sub>4</sub> in vapor phase and liq. Xe and Kr solns. are presented.

(Di)

~~121~~ (1) XeF<sub>4</sub>

C.A. 1994, 121, N14

*XeF<sub>2</sub>*

*1995*

123: 66124h Ab initio calculations of relativistic and electron correlation effects in polyatomics using the universal Gaussian basis set: XeF<sub>2</sub>. Malli, Gulzari L.; Styszynski, Jacek; Da Silva, Alberico B. F. (Dep. Chemistry, Simon Fraser Univ., Burnaby, BC Can. V5A 1S6). *Int. J. Quantum Chem.* 1995, 55(3), 213-25 (Eng). Ab initio accurate all-electron relativistic MO Dirac-Fock SCF calcns. are reported for the linear sym. XeF<sub>2</sub> mol. at various internuclear distances with our recently developed relativistic universal Gaussian basis set. The nonrelativistic limit Hartree-Fock calcns. were also performed for XeF<sub>2</sub> at various internuclear distances. The relativistic correction to the electronic energy of XeF<sub>2</sub> was calcd. as ~ -215 hartrees (-5850 eV) by using the Dirac-Fock method. The dominant magnetic part of the Breit interaction correction to the nonrelativistic interelectron Coulomb repulsion was included in our calcns. by both the Dirac-Fock-Breit SCF and perturbation methods. The calcd. Breit correction is ~6.5 hartrees (177 eV) for XeF<sub>2</sub>. The relativistic Dirac-Fock as well as the nonrelativistic HF wave functions predict XeF<sub>2</sub> to be unbound, due to neglect of electron correlation effects. These effects were incorporated for XeF<sub>2</sub> by using various ab initio post-Hartree-Fock methods. The calcd. dissociation energy obtained using the MP2(full) method with our

*ab initio  
pacem,  
Do, CMyki.  
Di*

*C.A. 1995, 123, N6*

extensive basis set of 313 primitive Gaussians that included d and f polarization functions on Xe and F is 2.77 eV, whereas the exptl. dissocn. energy is 2.78 eV. The calcd. correlation energy is  $\sim -2$  hartrees (-54 eV) at the predicted internuclear distance of 1.986 Å, which is in excellent agreement with the exptl. Xe-F distance of 1.979 Å in  $\text{XeF}_2$ . In summary, electron correlation effects must be included in accurate ab initio calcns. since it has been shown here that their inclusion is crucial for obtaining theor. dissocn. energy ( $D_0$ ) close to exptl. value for  $\text{XeF}_2$ . Furthermore, relativistic effects have been shown to make an extremely significant contribution to the total energy and orbital binding energies of  $\text{XeF}_2$ .

XeF<sub>2</sub>

1996

124: 299360t Ab initio calculation of the potential energy surface for the large-amplitude bending and symmetric stretching vibration in the electronic ground state of XeF<sub>2</sub>. Marian, C. M.; Peric, M. (Inst. Physical Theoretical Chem., Univ. Bonn, D-53115 Bonn, Germany). *Z. Phys. D: At., Mol. Clusters* 1996, 36(3/4), 285-91 (Eng). A two-dimensional sym. stretching-bending potential surface for the electronic ground state of XeF<sub>2</sub> was computed by SCF and multi-ref. CI methods. At the correlated level of treatment it is found that the linear nuclear arrangement of XeF<sub>2</sub> with XeF bond distances close to 200 pm corresponds only to a local min. on the potential energy surface sep'd. from the dissociation products Xe + 2F by a high energy barrier. The results of a vibrational anal. study enable a reliable reprodn. and interpretation of available exptl. data concerning the IR spectrum of the mol.

Спиркнапа,  
Д. Марин -  
Карен

C. A. 1996, 124, N 22

XeF<sub>2</sub>

(OM. 40370)

1998

Mekmp.  
CMF-PA,  
racet

Karl O. Christe et al.,  
J. Fluor. Chem. 1998,  
88, 185-189.

1999

F: XeF<sub>2</sub>

P: 3

131:329283 Comparative analysis of the mass-spectra and thermochemical characteristics of XeF<sub>2</sub>, XeF<sub>4</sub>, and XeOF<sub>4</sub>. Zelenov, V. V.; Aparina, E. V.; Kashtanov, S. A.; Dodonov, A. F.; Aleinikov, N. N. Pil. Inst. Energet. Pr Khim. Fiz., Ross. Akad. Nauk Chernogolovka, Russia Khim. Fiz., 18(4), 83-

(Russian) 1999 Using low-voltage electron ionization the wide energy distribution of 0. eV the authors obtained the mass spectra of the individual

substances XeF, XeF<sub>4</sub>, and XeOF<sub>4</sub> in the energy range 10-30 eV. Inverse spectra regularization allows the elimination of electron energy spreading, detd. by the substance ionization energies (IEs) and fragment ion appearance energies (AEs). On basis of the exptl. IE and AE values the authors calcd. the XeF ionization energy, the bond breaking energies for F-XeF<sub>3</sub>, O-XeF<sub>4</sub>, F-Xe+, F-XeF+, F-XeF<sub>3</sub>+, and O-XeF<sub>4</sub>+. On the basis of the temp. dependence of the satn. pressure the authors detd. the enthalpies of sublimation and evapn. for X